VOYAGE

DE M. LE BARON

MAURICE DE ROTHSCHILD

EN ÉTHIOPIE

ET EN AFRIQUE ORIENTALE ANGLAISE

(1904-1905)

RÉSULTATS SCIENTIFIQUES

ANIMAUX ARTICULÉS

OUVRAGE PUBLIÉ PAR LES SOINS DU LABORATOIRE D'ENTOMOLOGIE

DU MUSÉUM NATIONAL D'HISTOIRE NATURELLE

INVERTEBRAT
ZOOLOGY
Crustacea
LIBRA

PARIS

IMPRIMERIE NATIONALE

MDCCCCXXII

LIBRA
DIVISION OF

VOYAGE

DE M. LE BARON MAURICE DE ROTHSCHILD

EN ÉTHIOPIE ET EN AFRIQUE ORIENTALE ANGLAISE

(1904-1905)

RÉSULTATS SCIENTIFIQUES

ANIMAUX ARTICULÉS

ATLAS

fQL
434.57
E18R84
1922
Pt. E3J
Invert. Zool.
Rothschild, Maurice, baron de

VOYAGE

DE M. LE BARON

MAURICE DE ROTHSCHILD

EN ÉTHIOPIE

ET EN AFRIQUE ORIENTALE ANGLAISE

(1904-1905)

RÉSULTATS SCIENTIFIQUES

ANIMAUX ARTICULÉS

OUVRAGE PUBLIÉ PAR LES SOINS DU LABORATOIRE D'ENTOMOLOGIE
DU MUSÉUM NATIONAL D'HISTOIRE NATURELLE

PARIS
IMPRIMERIE NATIONALE

MDCCCCXXII

SMITHSONIAN
NOV 25 1923
LIBRARIES

LIBRARY
DIVISION OF CRUSTACEA

INDEX DES PLANCHES.

Les planches composant cet Atlas sont disposées suivant l'ordre systématique. Elles sont désignées par une lettre qui est l'initiale du groupe représenté. Pour faciliter les recherches, la légende de chaque planche porte, en outre, un numéro en chiffres romains, et le tableau ci-après indique la concordance entre ces chiffres et les lettres désignant les planches.

TABLEAU DE CONCORDANCE.

LETTRES.	N^os D'ORDRE.
CRUSTACÉS.	
C^1	I
C^2	II
C^3	III
ARACHNIDES.	
ARAIGNÉES.	
A^1	IV
A^2	V
A^3	VI
A^4	VII
A^5	VIII
ACARIENS.	
A^6	IX
A^7	X
MYRIAPODES.	
M_Y^1	XI
M_Y^2	XII
M_Y^3	XIII
M_Y^4	XIV
M_Y^5	XV
M_Y^6	XVI
INSECTES.	
ORTHOPTÈRES.	
I_O^1	XVII
I_O^2	XVIII
I_O^3	XIX
I_O^4	XX
TERMITES.	
I_T^1	XXI
I_T^2	XXII
I_T^3	XXIII
I_T^4	XXIV
I_T^5	XXV
PSEUDONÉVROPTÈRES.	
I_P^1	XXVI
RHYNCHOTES.	
I_R^1	XXVII
I_R^2	XXVIII
I_R^3	XXIX
I_R^4	XXX
I_R^5	XXXI
I_R^6	XXXII
I_R^7	XXXIII
I_R^8	XXXIV
NÉVROPTÈRES.	
I_N^1	XXXV
I_N^2	XXXVI
LÉPIDOPTÈRES.	
I_L^1	XXXVII
I_L^2	XXXVIII
I_L^3	XXXIX
I_L^4	XL
I_L^5	XLI
I_L^6	XLII
I_L^7	XLIII
COLÉOPTÈRES.	
I_C^1	XLIV
I_C^2	XLV
I_C^3	XLVI
I_C^4	XLVII
I_C^5	XLVIII
I_C^6	XLIX
I_C^7	L
I_C^8	LI
I_C^9	LII
I_C^{10}	LIII
I_C^{11}	LIV
I_C^{12}	LV
I_C^{13}	LVI
I_C^{14}	LVII
I_C^{15}	LVIII
I_C^{16}	LIX
I_C^{17}	LX
I_C^{18}	LXI
I_C^{19}	LXII
I_C^{20}	LXIII
I_C^{21}	LXIV
I_C^{22}	LXV
I_C^{23}	LXVI
I_C^{24}	LXVII
I_C^{25}	LXVIII
I_C^{26}	LXIX
I_C^{27}	LXX
I_C^{28}	LXXI
I_C^{29}	LXXII
I_C^{30}	LXXIII
I_C^{31}	LXXIV
I_C^{32}	LXXV
I_C^{33}	LXXVI
I_C^{34}	LXXVII
I_C^{35}	LXXVIII
I_C^{36}	LXXIX
I_C^{37}	LXXX
I_C^{38}	LXXXI
I_C^{39}	LXXXII
I_C^{40}	LXXXIII
DIPTÈRES.	
I_D^1	LXXXIV
I_D^2	LXXXV
I_D^3	LXXXVI
I_D^4	LXXXVII
I_D^5	LXXXVIII
I_D^6	LXXXIX
I_D^7	XC
I_D^8	XCI
HYMÉNOPTÈRES.	
I_H^1	XCII
I_H^2	XCIII
I_H^3	XCIV
I_H^4	XCV
I_H^5	XCVI
I_H^6	XCVII
I_H^7	XCVIII
I_H^8	XCIX
I_H^9	C

PLANCHE C[1]

PLANCHE C[1].

Fig. 1. *Streptocephalus Rothschildi* Daday ♂, tête avec antenne inférieure gauche, vues d'en haut. — Reich. Oc. I. Obj. O.

Fig. 2. *Streptocephalus Rothschildi* Daday ♂, vu de côté; × 7.

Fig. 3. *Streptocephalus Rothschildi* Daday ♂, antenne inférieure, face interne. — Reich. Oc. I. Obj. O.

Fig. 4. *Streptocephalus Rothschildi* Daday ♂, pénis. — Reich. Oc. I. Obj. O.

Fig. 5. *Streptocephalus Rothschildi* Daday ♂, abdomen, vu d'en haut, × 7.

Fig. 6. *Streptocephalus Rothschildi* Daday ♂, septième patte. — Reich. Oc. I. Obj. O.

Fig. 7. *Streptocephalus Rothschildi* Daday ♂, première patte. — Reich. Oc. I. Obj. O.

Fig. 8. *Streptocephalus Rothschildi* Daday ♂, onzième patte. — Reich. Oc. I. Obj. O.

Fig. 9. *Streptocephalus Rothschildi* Daday ♂, tête, vue d'en haut. — Reich. Oc. I. Obj. O.

Fig. 10. *Streptocephalus Rothschildi* Daday ♂, abdomen; × 7.

Fig. 11. *Streptocephalus Rothschildi* Daday ♂, cercopodes. — Reich. Oc. I. Obj. O.

Fig. 12. *Streptocephalus Rothschildi* Daday ♀, segments 3 à 5 de l'abdomen, vus d'en haut. — Reich. Oc. I. Obj. O.

Fig. 13. *Streptocephalus Rothschildi* Daday ♀, labre, face supérieure. — Reich. Oc. I. Obj. O.

Fig. 14. *Stenocypris decorata* Daday ♀, valve gauche vue de côté. — Reich. Oc. 6. Obj. O.

Fig. 15. *Stenocypris decorata* Daday ♀, partie du bord antérieur de la valve droite. — Reich. Oc. 6. Obj. 4.

Fig. 16. *Stenocypris decorata* Daday ♀, partie du bord antérieur de la valve gauche. — Reich. Oc. 6. Obj. 4.

Fig. 17. *Stenocypris decorata* Daday ♀, valves, vues d'en haut. — Reich. Oc. 6. Obj. O.

Fig. 18. *Stenocypris decorata* Daday ♀, bout distal de la deuxième antenne. — Reich. Oc. 6. Obj. 4.

LIBRARY
UNIVERSITY OF CALIFORNIA

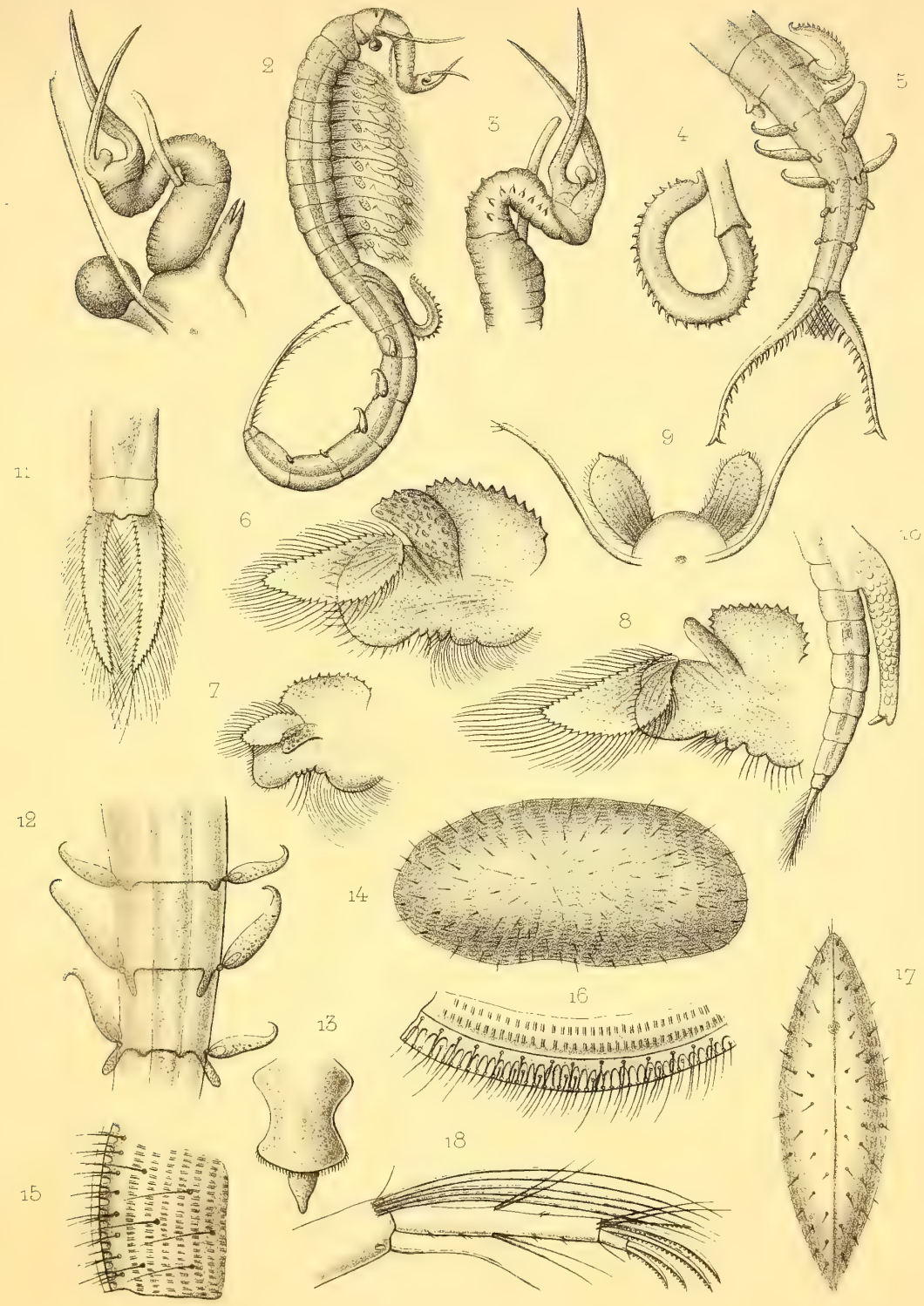

E. de Daday del. *A. Bénard lith.*

Entomostracés

Imp. L. Lafontaine, Paris

PLANCHE C^2

PLANCHE C².

Fig. 1. *Eucypris Rothschildi* Daday ♂, valve gauche, vue en dedans. — Reich. Oc. I. Obj. O.

Fig. 2. *Eucypris Rothschildi* Daday ♂, valve droite, vue en dedans. — Reich. Oc. I. Obj. O.

Fig. 3. *Eucypris Rothschildi* Daday ♂, valves, vues d'en haut. — Reich. Oc. I. Obj. O.

Fig. 4. *Eucypris Rothschildi* Daday ♀, valve droite, vue en dedans. — Reich. Oc. I. Obj. O.

Fig. 5. *Eucypris Rothschildi* Daday ♂, bord antérieur de la valve gauche, vu en dedans. — Reich. Oc. 6. Obj. 4.

Fig. 6. *Eucypris Rothschildi* Daday ♂, impressions musculaires. — Reich. Oc. 6. Obj. 2.

Fig. 7. *Eucypris Rothschildi* Daday ♂, bout distal de la deuxième antenne. — Reich. Oc. 6. Obj. 4.

Fig. 8. *Eucypris Rothschildi* Daday ♂, soie olfactive de la deuxième antenne. — Reich. Oc. 6. Obj. 5.

Fig. 9. *Eucypris Rothschildi* Daday ♂, palpe mandibulaire. — Reich. Oc. 6. Obj. 2.

Fig. 10. *Eucypris Rothschildi* Daday ♂, maxille. — Reich. Oc. 6. Obj. 2.

Fig. 11. *Eucypris Rothschildi* Daday ♂, jeune furca. — Reich. Oc. 6. Obj. 2.

Fig. 12. *Eucypris Rothschildi* Daday ♂, rameau interne du palpe maxillaire droit. — Reich. Oc. 6. Obj. 2.

Fig. 13. *Eucypris Rothschildi* Daday ♂, rameau interne du palpe maxillaire gauche. — Reich. Oc. 6. Obj. 2.

Fig. 14. *Eucypris Rothschildi* Daday ♂, extrémité de la deuxième patte. — Reich. Oc. 6. Obj. 2.

Fig. 15. *Eucypris Rothschildi* Daday ♂, extrémité de la première patte. — Reich. Oc. 6. Obj. 2.

Fig. 16. *Eucypris Rothschildi* Daday ♂, furca. — Reich. Oc. 6. Obj, 2.

Fig. 17. *Eucypris Rothschildi* Daday ♂, organe de copulation. — Reich. Oc. 6. Obj. 2.

Fig. 18. *Eucypris Rothschildi* Daday ♂, ductus ejaculatorius. — Reich. Oc. 6. Obj. 2.

Fig. 19. *Eucypris Rothschildi* Daday ♀, furca. — Reich. Oc. 6. Obj. 2.

Fig. 20. *Eucypris Rothschildi* Daday ♀, maxille. — Reich. Oc. 6. Obj. 2.

Fig. 21. *Eucypris Rothschildi* Daday ♂, jeune, valve droite, vue de côté. — Reich. Oc. I. Obj. O.

Fig. 22. *Eucypris Rothschildi* Daday ♂, jeune, valve gauche, vue de côté. — Reich. Oc. I. Obj. O.

Fig. 23. *Eucypris Rothschildi* Daday ♂, jeune, palpe maxillaire. — Reich. Oc. 6. Ob. 2.

Fig. 24. *Eucypris Rothschildi* Daday ♂, jeune, valves vues d'en haut. — Reich. Oc. I. Obj. O.

E. de Daday del. A. Bénard lith.

Entomostracés

Imp. I. Lafontaine, Paris

PLANCHE C³

PLANCHE C³.

Fig. 1. *Potamon rodolphianus* Rathbun.

Fig. 2. *Potamon rodolphianus* Rathbun; partie antérieure de la carapace.

Fig. 3. *Potamon rodolphianus* Rathbun; front, vu par devant.

Fig. 4. *Potamon Rothschildi* Rathbun.

Fig. 5. *Potamon Rothschildi* Rathbun; partie antérieure de la carapace.

Fig. 6. *Potamon Rothschildi* Rathbun; front, vu par devant.

Fig. 7. *Potamon Rothschildi* Rathbun; pince droite.

Fig. 8. *Potamon Rothschildi* Rathbun; pince gauche.

Fig. 9. *Potamon Rothschildi* Rathbun; abdomen.

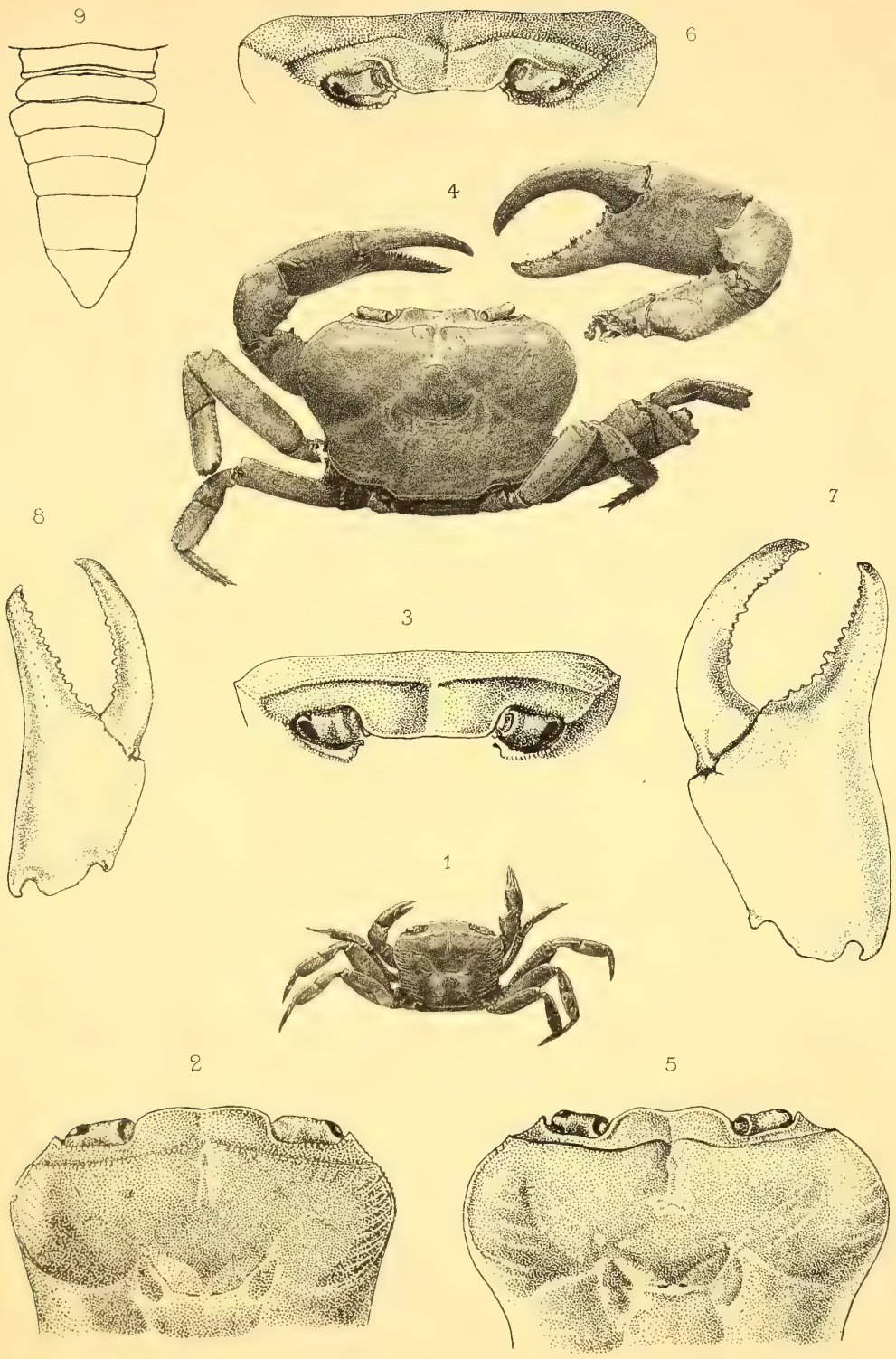

M. Rathbun dir. E. Duchâtel imp. Paris

Crabes d'eau douce

PLANCHE A[1]

PLANCHE A[1].

Fig. 1. *Loxosceles Neuvillei* E. Simon.

Fig. 1 *a*. *Loxosceles Neuvillei* E. Simon, groupe oculaire.

Fig. 2. *Hæmilla mirabilis* (L. Koch).

Fig. 3. *Pterotricha satulla* E. Simon.

Fig. 4. *Filistata nigra* E. Simon.

Fig. 4 *a*. *Filistata nigra* E. Simon, groupe oculaire.

Fig. 5. *Dresserus æthiopicus* E. Simon.

Fig. 5 *a*. *Dresserus æthiopicus* E. Simon, groupe oculaire.

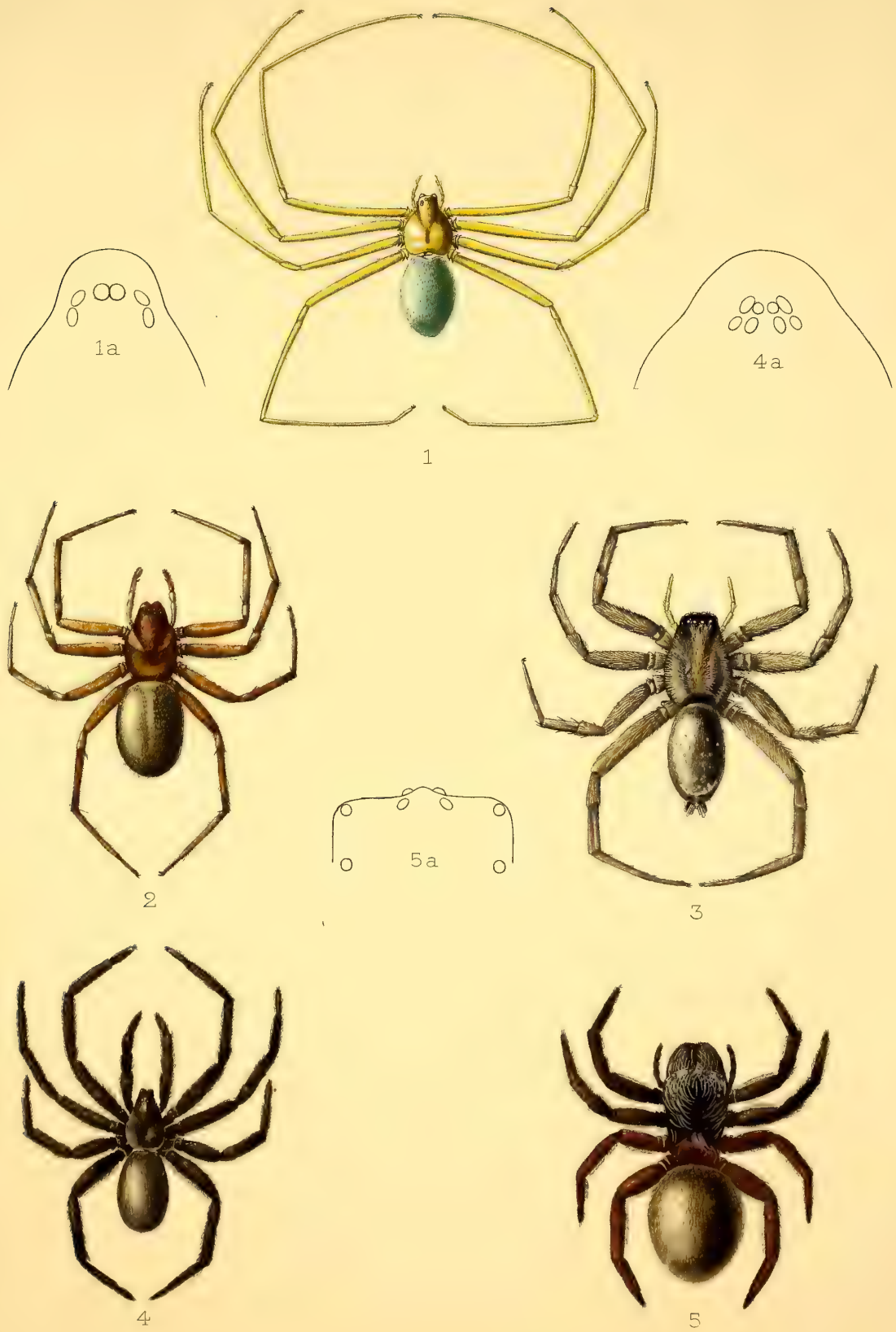

L. Guyon del. Ch. Rabouille sc

Araignées

PLANCHE A²

PLANCHE A².

Fig. 1. *Castaneira albomaculata* Berland.

Fig. 2. *Xysticus nigriceps* Berland.

Fig. 3. *Nisueta affinis* Berland.

Fig. 3 *a*. *Nisueta affinis* Berland, patte-mâchoire du mâle.

Fig. 4. *Clubiona Rothschildi* Berland.

Fig. 5. *Tibellus Vossioni* E. Simon.

Fig. 6. *Oxyopes Bouvieri* Berland.

Fig. 6 *a*. *Oxyopes Bouvieri* Berland, face.

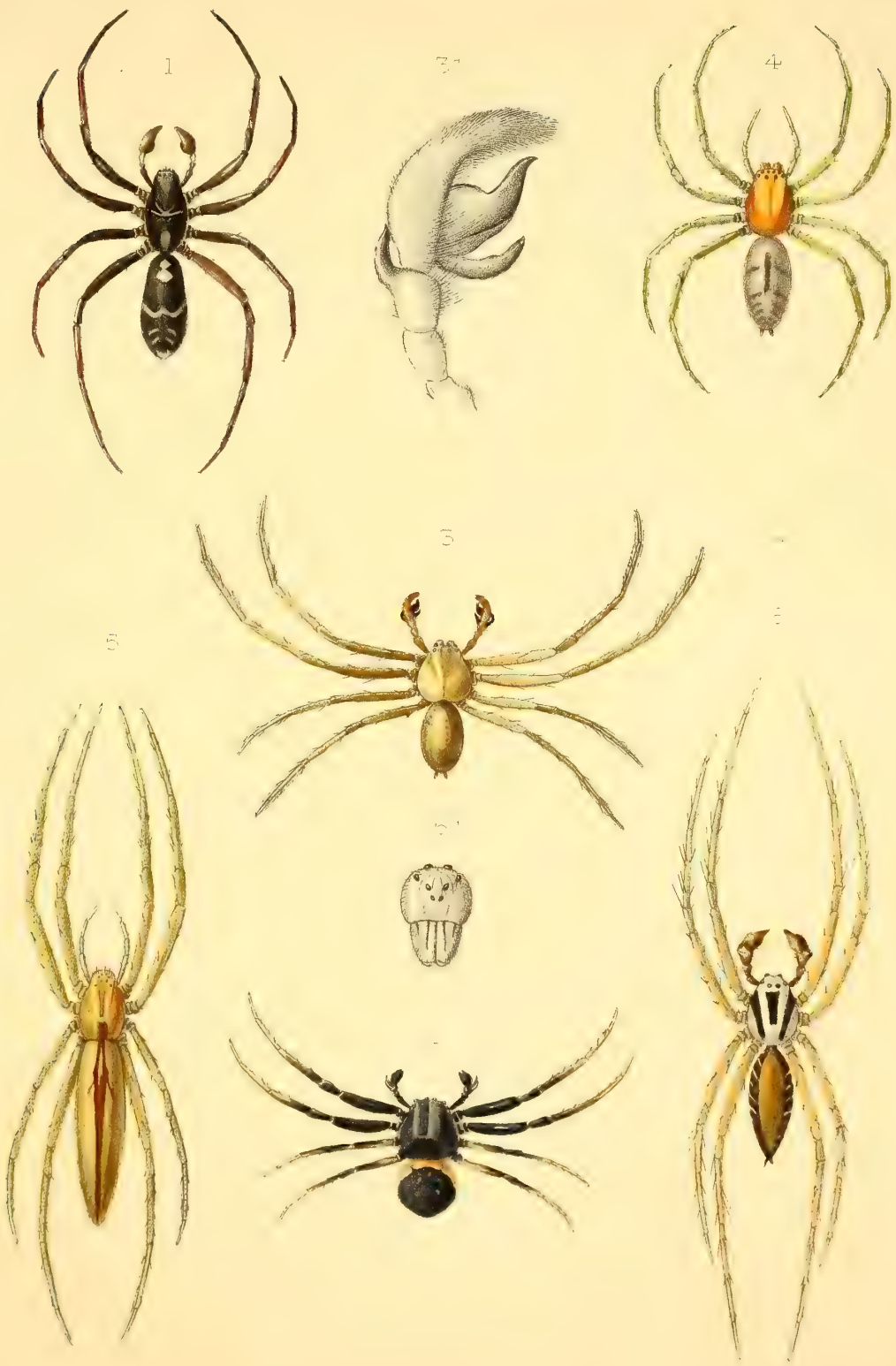

Herault del A Millot lith.

Imp E Duchatel Paris

PLANCHE A^3

3.

PLANCHE A³.

Fig. 1. *Argiope sector* (Forskål).

Fig. 2. *Argiope sector* (Forskål).

Fig. 3. *Gasteracantha scapha* (Gerst.).

Fig. 4. *Gasteracantha scapha* (Gerst.).

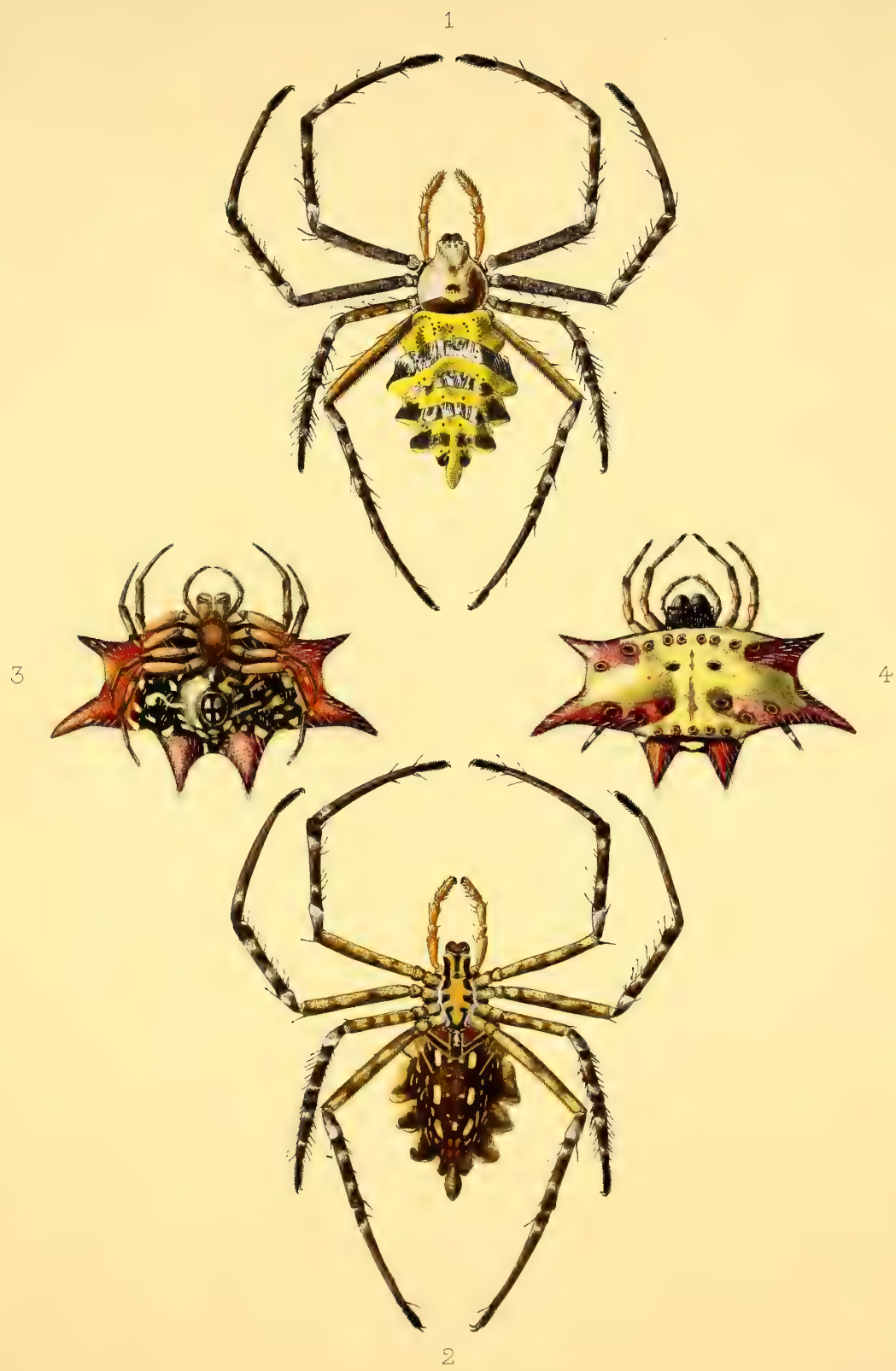

L. Pagnon del. Ch. Raboullié sc.

Araignées

Imp. J. Taneur

PLANCHE A[4]

M. DE ROTHSCHILD.

PLANCHE A[4].

Fig. 1. *Selenops Werneri* E. Simon.

Fig. 2. *Agelena leucopyga* Pavesi.

Fig. 3. *Medmassa hiekæ* Berland.

Fig. 4. *Brachyphæa Simoni* Bös. et Lenz, femelle.

Fig. 4 *a*. *Brachyphæa Simoni* Bös. et Lenz, mâle.

Fig. 4 *b*. *Brachyphæa Simoni* Bös. et Lenz. épigyne.

1

2

3

4

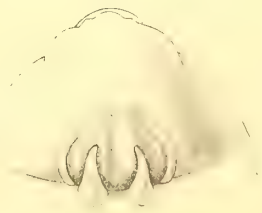

4b

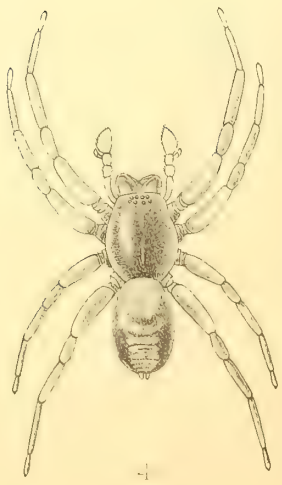

4

J. Bordroit del.

G. H. Fritz Lith.

Araignées

Imp. E. Duchatel. Paris

PLANCHE A^5

PLANCHE A[5].

Fig. 1. *Stasmoides æthiopica* Berland.

Fig. 2. *Hippasa partita* Cambridge.

Fig. 2 *a*. *Hippasa partita* Cambridge, sternum.

Fig. 3. *Lithyphantes longurio* E. Simon.

Fig. 4. *Graptartia granulosa* E. Simon.

Fig. 4 *a*. *Graptartia granulosa* E. Simon, scutum épigastrique.

Fig. 5. *Typhistes elephas* Berland.

Fig. 5 *a*. *Typhistes elephas* Berland, céphalothorax, vu de profil.

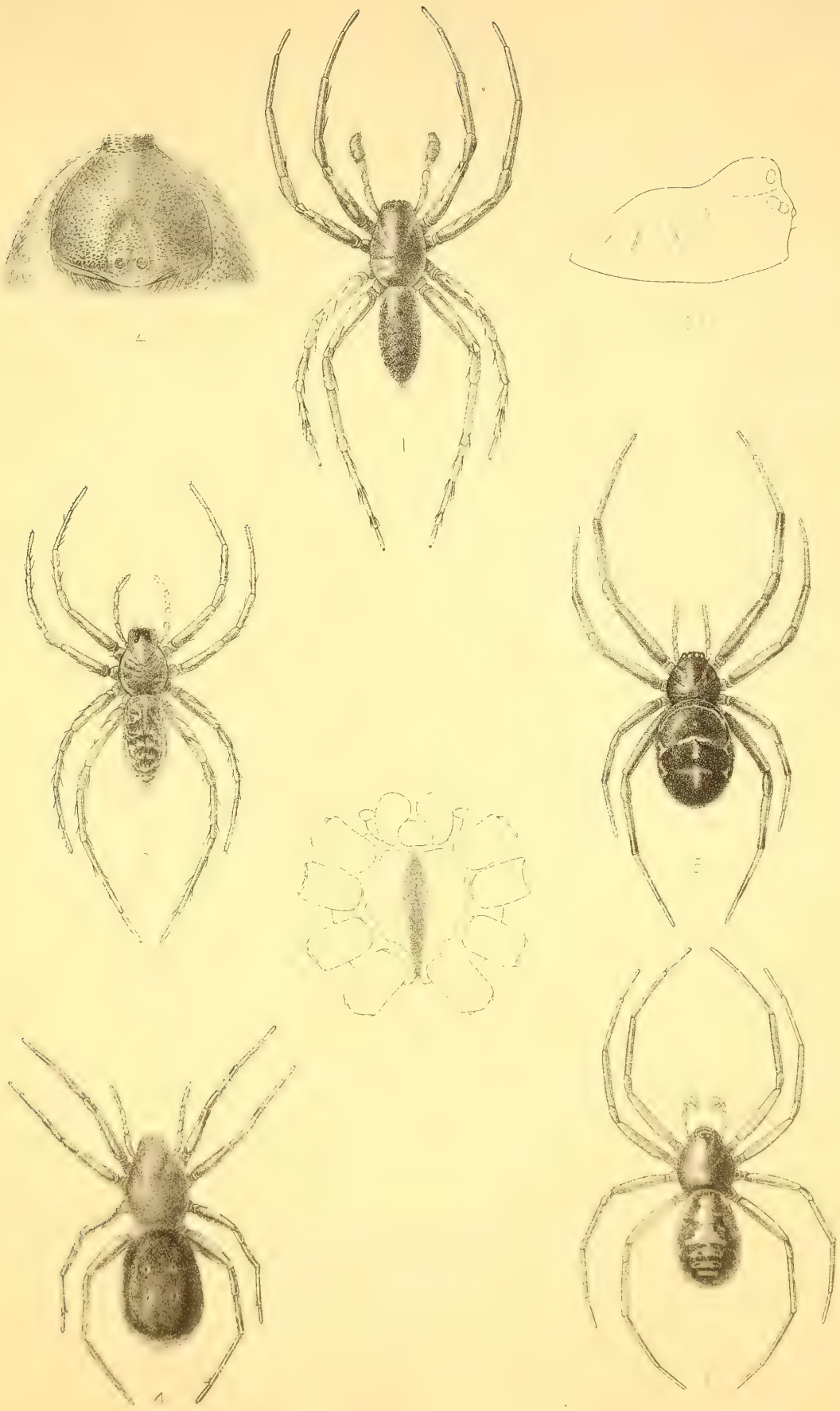

J. Bondroit dei. G-H. Fritz Lith.

Imp. E. Duchatel Paris

PLANCHE A[6]

PLANCHE A[6].

Fig. 1. *Achorolophus simplex* Berlese ($\frac{18}{1}$).

Fig. 2. *Nothrus Rothschildi* Berlese ($\frac{25}{1}$).

Fig. 3. *Neopodocinum afrum* Berlese, ♀ face ventrale ($\frac{30}{1}$); 3 *a*, patte.

Fig. 4 *c*. *Abrolophus humeratus* Berlese ($\frac{20}{1}$); tarse de la 1re paire, vu de côté.

Fig. 4 *d*. *Abrolophus humeratus* Berlese, palpe.

Fig. 5 *b*. *Lælaps* (*Hæmolælaps*) *callosus* Berlese, ♀; pince vue de côté.

Fig. 6 *a*. *Lælaps* (*Hæmolælaps*) *murinus* Berlese, ♀; pince, vue de côté.

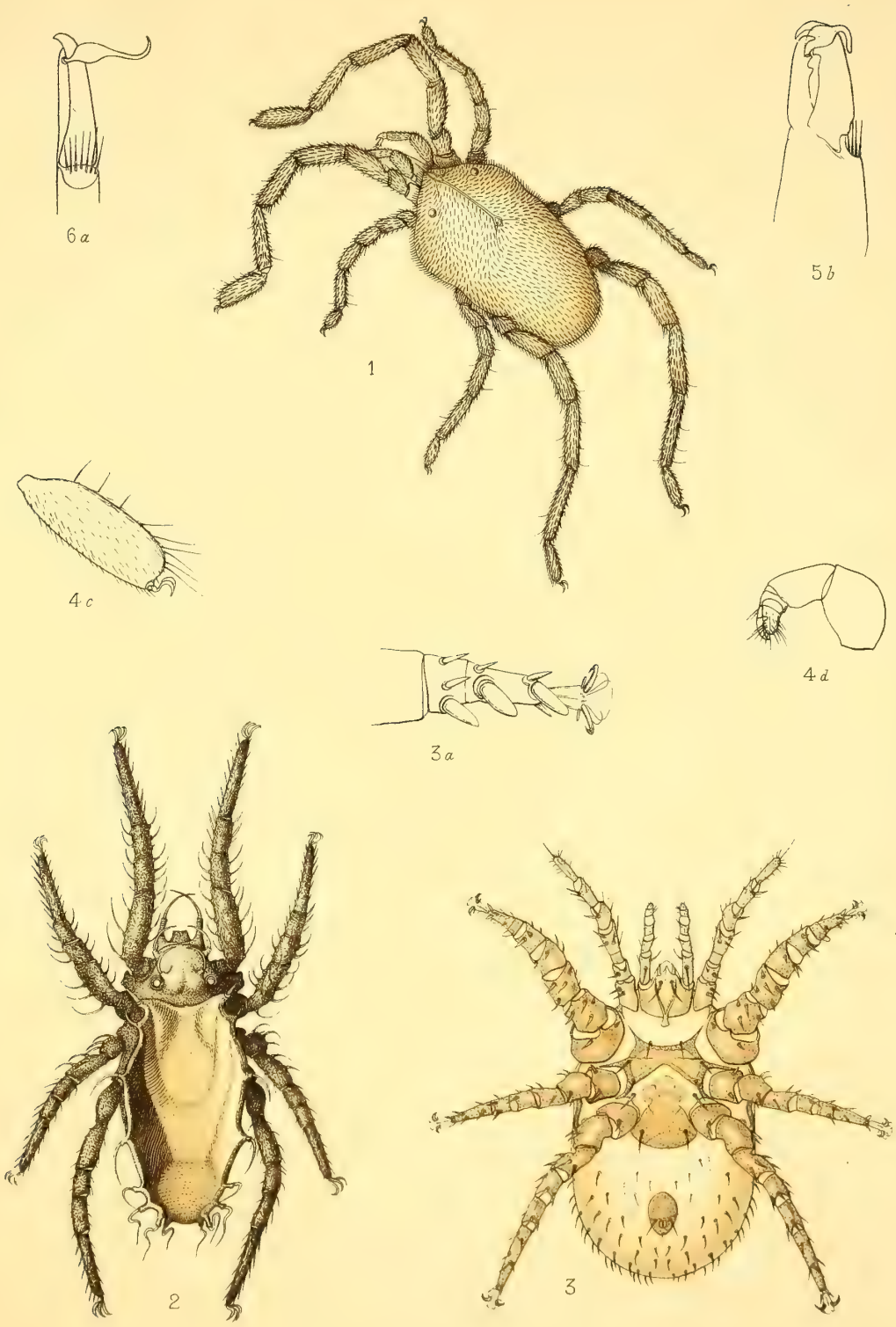

A. Berlese, ad nat. del.

G. H. Fritz, sc.

Acariens

Imp. E. Duchatel, Paris

PLANCHE A[7]

PLANCHE A[7].

Fig. 4. *Abrolophus humeratus* Berlese ($\frac{20}{1}$); 4 *a*, poils du corps; 4 *b*, « vertex ».

Fig. 5. *Lælaps* (*Hæmolælaps*) *callosus* Berlese, ♀, face ventrale ($\frac{85}{1}$).

Fig. 5 *a*. *Lælaps* (*Hæmolælaps*) *callosus* Berlese, ♀, patte de la 1re paire.

Fig. 6. *Lælaps* (*Hæmolælaps*) *murinus* Berlese, ♀, face ventrale ($\frac{50}{1}$).

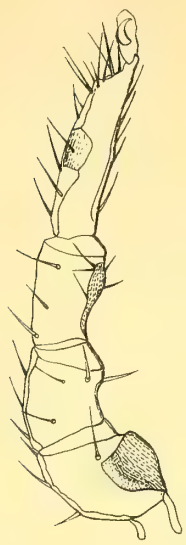

5a

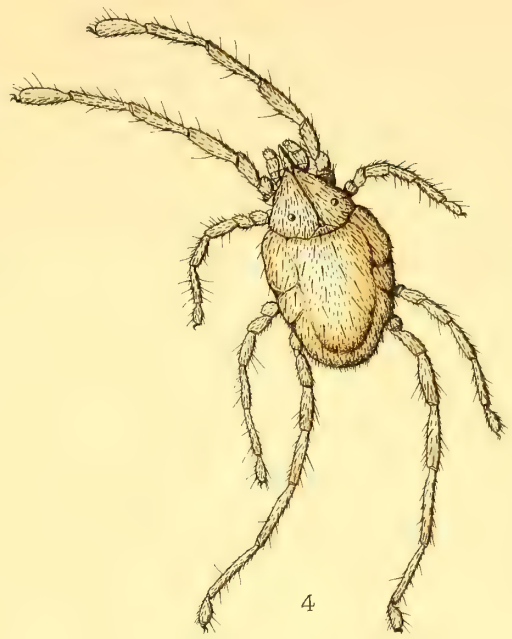

4

4a

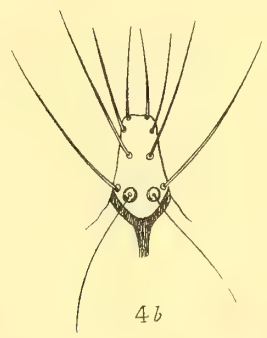

4b

5

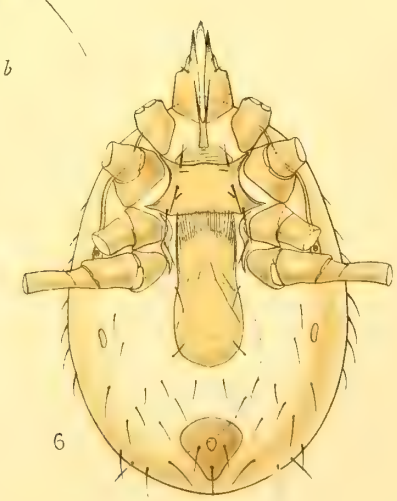

6

A. Berlese, ad nat. del.

G. H. Fritz sc.

Acariens

Imp. F. Duchatel. Paris

Planche My[1]

Planche My[1].

Fig. 1. *Ballonema?* sp.?, portion du disque du 6e écusson stigmatifère.

Fig. 2. *Ballonema?* sp.?, bord postérieur du 4e écusson stigmatifère.

Fig. 3. *Ballonema?* sp?, appendices génitaux (*g*) et postgénitaux (*pg*) du mâle et plaque sous-génitale (*psg*) [étalée par pression].

Fig. 4. *Thereuonema tropicalis* Rib., portion du disque du 6e écusson stigmatifère.

Fig. 5. *Thereuonema tropicalis* Rib., bord postérieur du 4e écusson stigmatifère.

Fig. 6. *Cryptops Bottegoi* (Silv.), face dorsale de la tête et des quatre premiers segments.

Fig. 7. *Cryptops Bottegoi* (Silv.), extrémité de la face interne du préfémur de la patte terminale droite.

Fig. 8. *Otostigmus Fülleborni æthiopicus* Rib., face ventrale de la hanche de la patte terminale gauche.

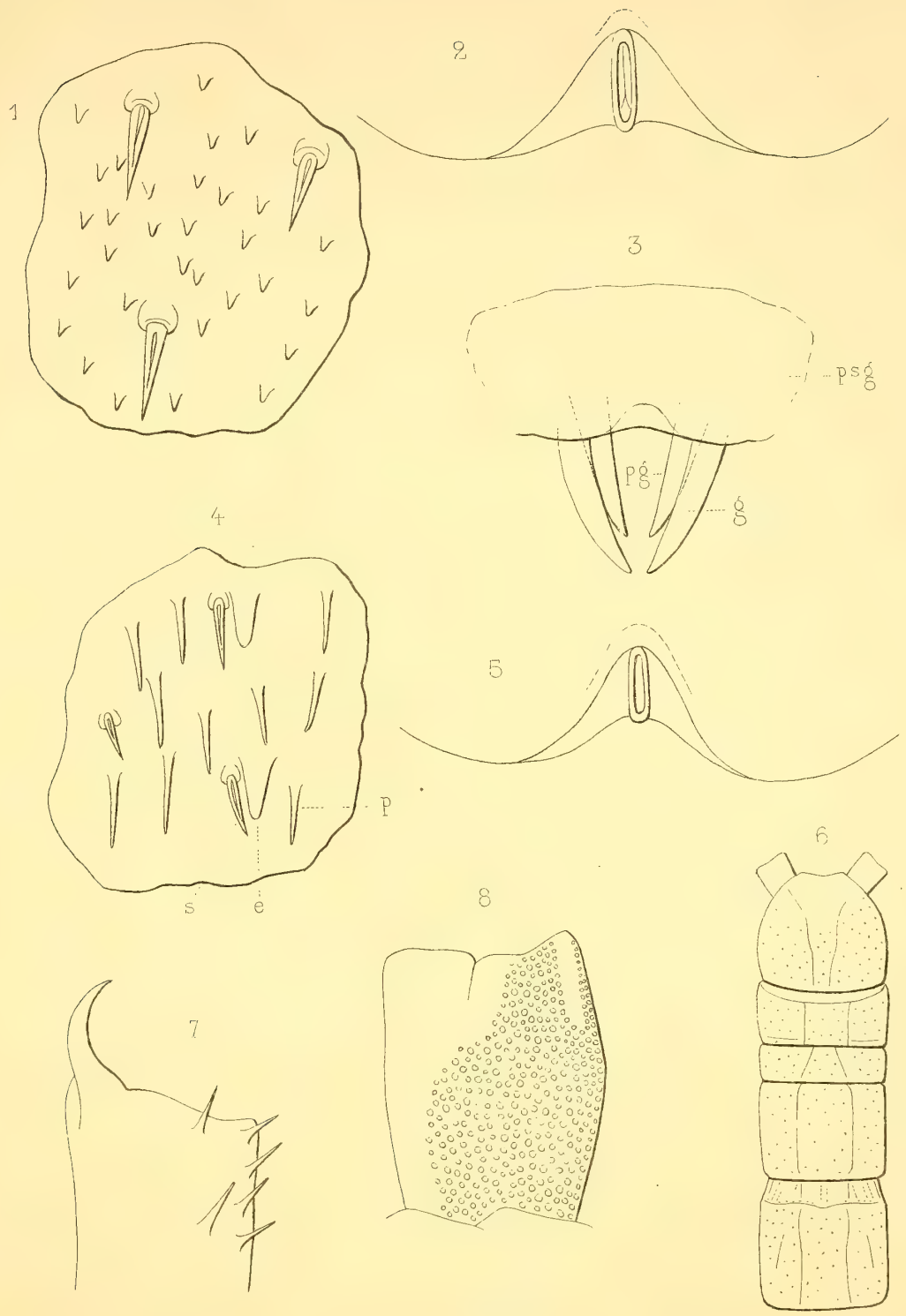

Ribaut del. A. Bénard lith.

Myriopodes

Imp. L. Lafontaine, Paris.

PLANCHE My²

Planche My².

Fig. 9. *Alloschizotænia minuta* (Silv.), première mâchoire et moitié droite de la deuxième mâchoire : *po*, pore métamérique; *st*, sternite; *pl*, pleurite; *d*, pli de dénivellation entre la hanche et le pleurosternum.

Fig. 10. *Alloschizotænia minuta* (Silv.), mandibule gauche, face ventrale.

Fig. 11. *Alloschizotænia minuta* (Silv.), mandibule droite, face ventrale.

Fig. 12. *Alloschizotænia minuta* (Silv.), labre.

Fig. 13. *Alloschizotænia minuta* (Silv.), extrémité postérieure du corps, face ventrale.

Fig. 14. *Astrodesmus Neuvillei* (Rib.), partie latérale gauche du premier tergite; *a*, bord antérieur; *p*, bord postérieur.

Fig. 15. *Astrodesmus Neuvillei* (Rib.), pointe du sternite antérieur du 6ᵉ segment.

Fig. 16. *Astrodesmus Neuvillei* (Rib.), patte copulatrice gauche, profil interne.

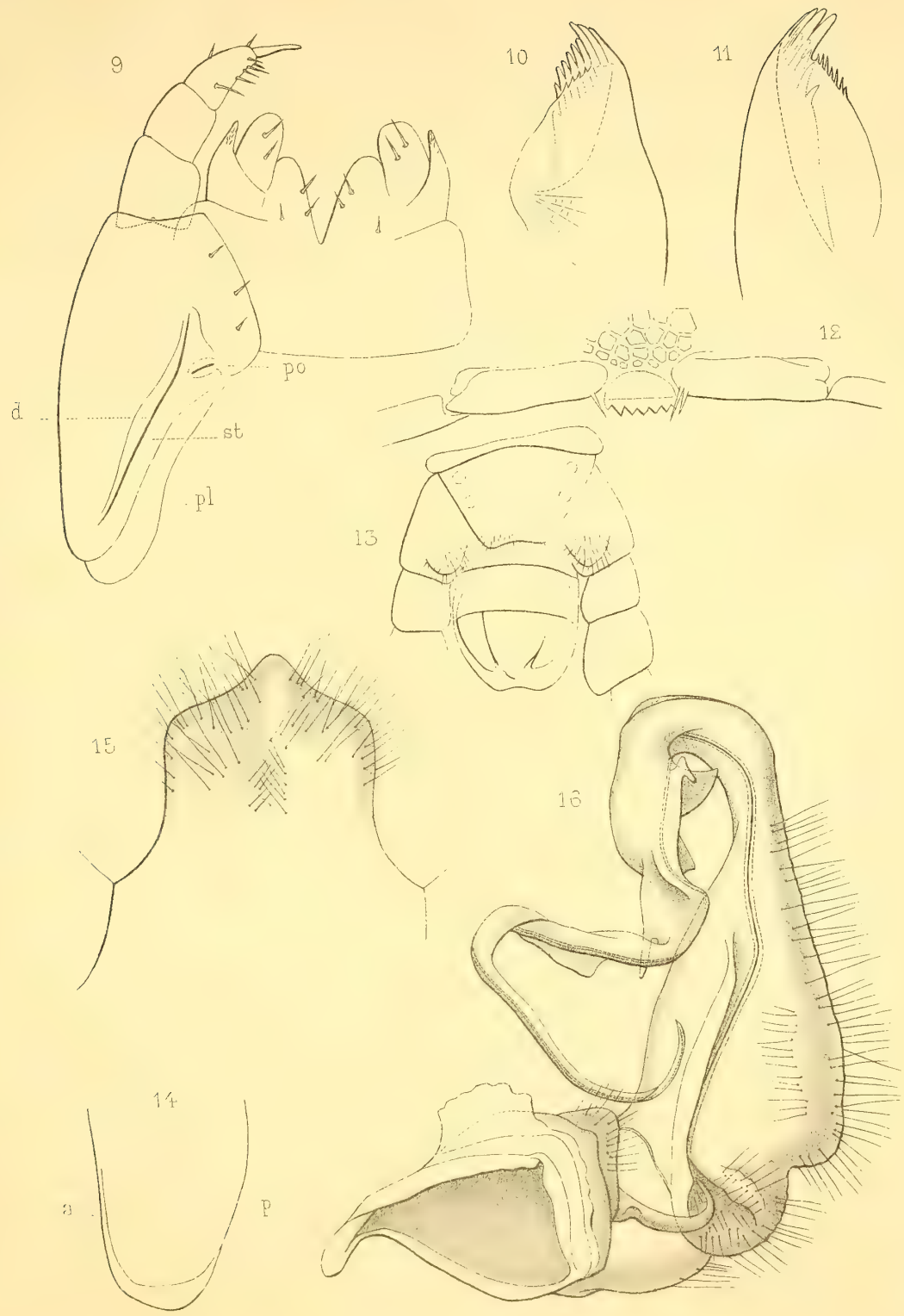

Pibout del.

A. Bénard lith.

Myriopodes

Imp. Lafontaine, Paris

PLANCHE My³

Planche My³.

Fig. 17. *Astrodesmus Neuvillei* (Rib.), patte copulatrice gauche, profil externe.

Fig. 18. *Oxydesmus occidentalis* (Karsch), patte copulatrice gauche, profil interne; *r*, rainure séminale; les lettres *a*, *b*, *d* correspondent à celles de la figure donnée par Attems.

Fig. 19. *Orodesmus Rothschildi* Rib., bord externe droit d'un tergite de la région moyenne du corps.

Fig. 20. *Orodesmus Rothschildi* Rib., prolongement du tergite préanal.

Fig. 21. *Orodesmus Rothschildi* Rib., patte copulatrice droite, profil externe.

Fig. 22. *Orodesmus Rothschildi* Rib., patte copulatrice droite, profil interne.

Fig. 23. *Orodesmus Rothschildi* Rib., face antéro-externe de la branche externe de la patte copulatrice droite.

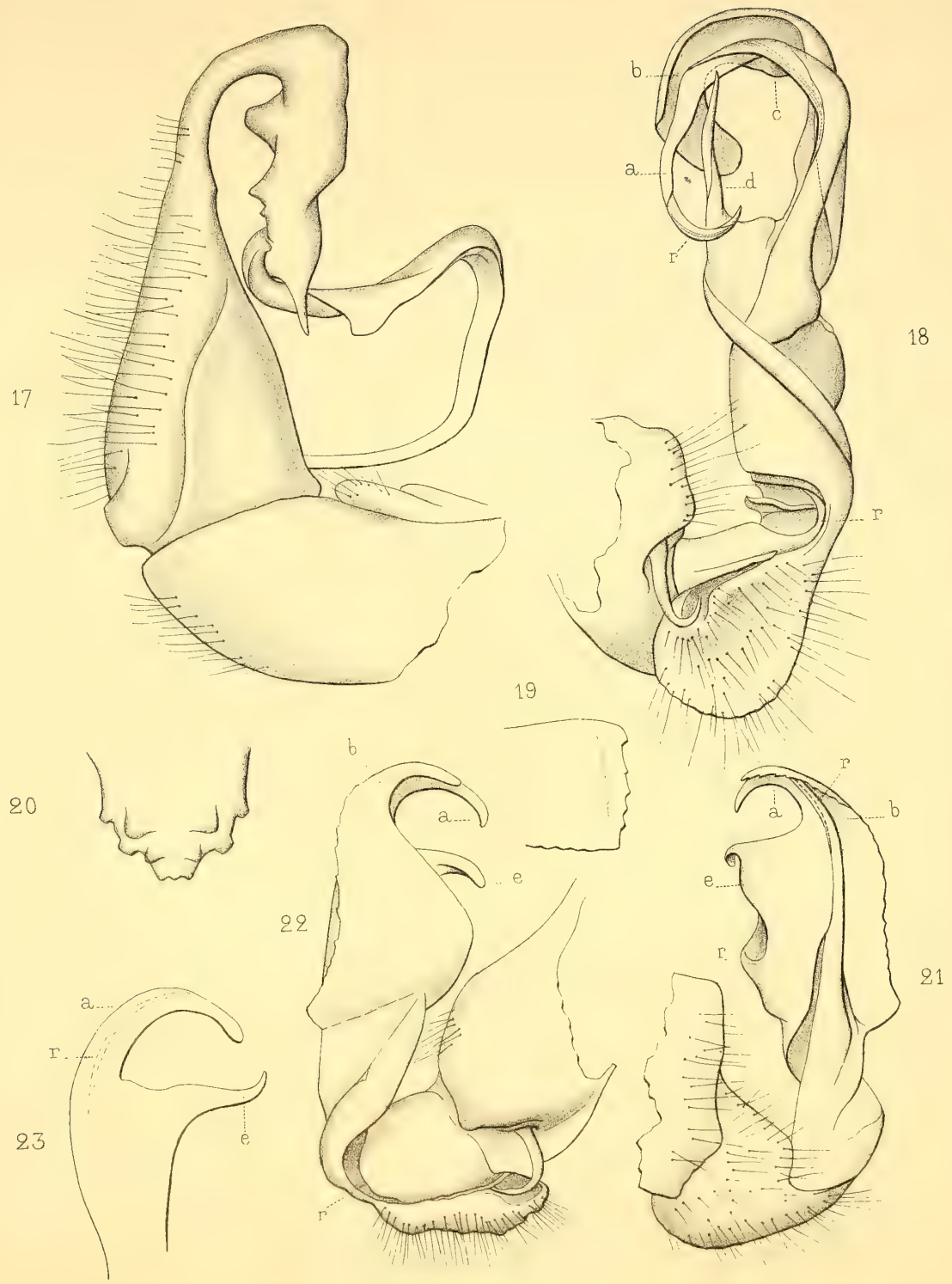

H. Pibaut del.

A. Benard lith.

Myriopodes

Imp. L. Lafontaine, Paris.

PLANCHE My[4]

7.

Planche My[4].

Fig. 24. *Orodesmus Rothschildi* Rib., patte copulatrice droite, face postérieure.

Fig. 25. *Lophostreptus Andreinii* Brõl., portion de métazonite vu par transparence.

Fig. 26. *Lophostreptus Andreinii* Brõl., une carène d'un segment moyen, vue de profil; *p*, bord postérieur.

Fig. 27. *Lophostreptus Andreinii* Brõl., vulve droite, face postérieure.

Fig. 28. *Lophostreptus Andreinii* Brõl., vulve droite, face antérieure.

Fig. 29. *Lophostreptus Andreinii* Brõl., vulve droite, face distale.

Fig. 30. *Lophostreptus Andreinii* Brõl., vulve droite, face interne.
m, membrane; *c*, clapet; *o*, ouverture vaginale; *f*, fente; les lettres *a*, *b*, *d* servent à établir la correspondance des parties dans les quatre figures.

Fig. 31. *Spinotarsus voïensis* (Rib.), pattes copulatrices gauches, face antérieure (fémur et tibia vus en raccourci, extrémité du flagellum non dessinée).

Fig. 32. *Spinotarsus voïensis* (Rib.), pattes copulatrices gauches, face postérieure (la partie *h* est cachée par *g*; extrémité du flagellum non dessinée).

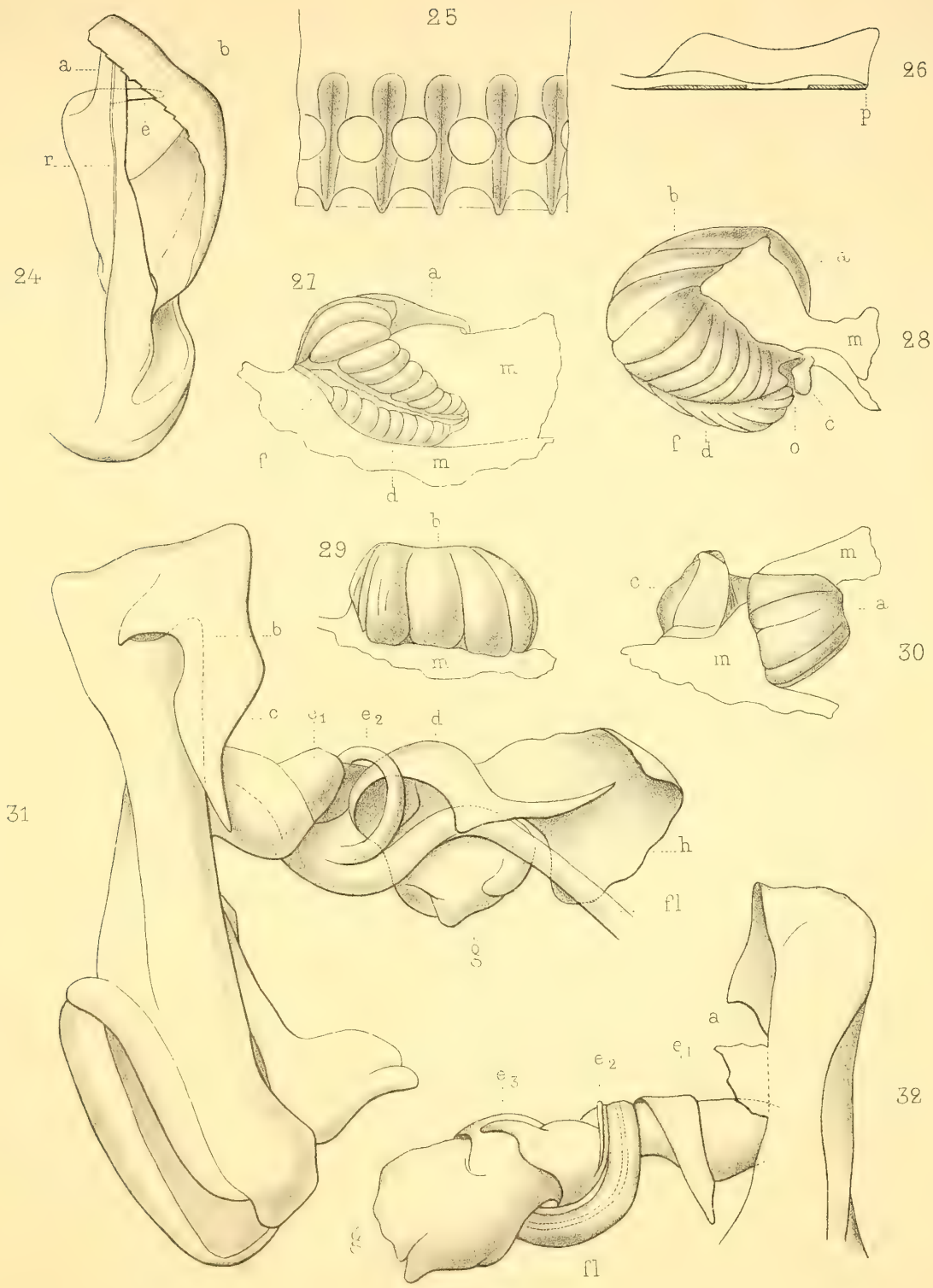

H. Ribaut del. A. Bénard lith.

Myriopodes

Imp. L. Lafontaine, Paris

PLANCHE My[5]

Planche My[5].

Fig. 33. *Spinotarsus voïensis* (Rib.), lèvre supérieure.

Fig. 34. *Spinotarsus voïensis* (Rib.), pattes copulatrices gauches, profil interne (les parties *g* et *h* ont été enlevées).

Fig. 35. *Spinotarsus voïensis* (Rib.), face postérieure de l'extrémité de la patte copulatrice postérieure gauche (partie non visible dans la fig. 32).

Fig. 36. *Spinotarsus voïensis* (Rib.), extrémité du tibia et région d'insertion (*l*) des lamelles *h*, vues par l'arrière.

Fig. 37. *Spinotarsus voïensis* (Rib.), extrémité de la patte copulatrice postérieure gauche, face distale.

Fig. 38. *Spinotarsus voïensis* (Rib.), septième paire de pattes (le télopodite de la patte gauche n'a pas été dessiné).

Fig. 39. *Spinotarsus voïensis* (Rib.), tête et deux premiers tergites.

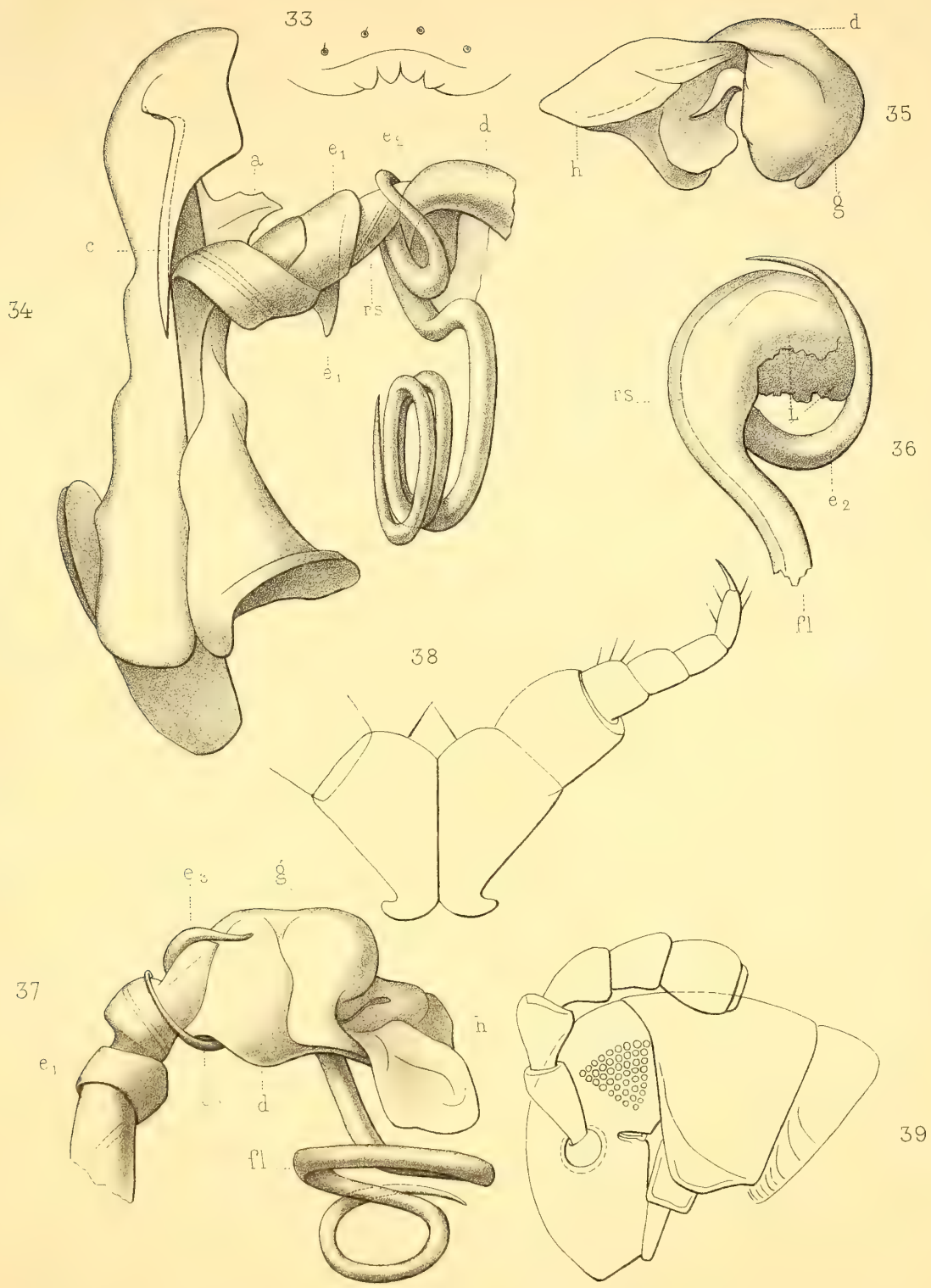

H. Ribaut del.

A. Bénard lith.

Myriopodes

Imp. L. Lafontaine, Paris

PLANCHE My[6]

8.

Planche My[6].

Fig. 40. *Odontopyge terebrum* Rib., lèvre supérieure.

Fig. 41. *Odontopyge terebrum* Rib., pattes copulatrices gauches, profil antérieur (fémur et tibia vus en raccourci).

Fig. 42. *Odontopyge terebrum* Rib., fémur et tarse de la patte copulatrice postérieure gauche, face antérieure.

Fig. 43. *Odontopyge terebrum* Rib., extrémité de la patte copulatrice postérieure gauche, face distale (extrémité du flagellum non dessinée).

Fig. 44. *Odontopyge terebrum* Rib., pattes copulatrices gauches, profil postérieur.

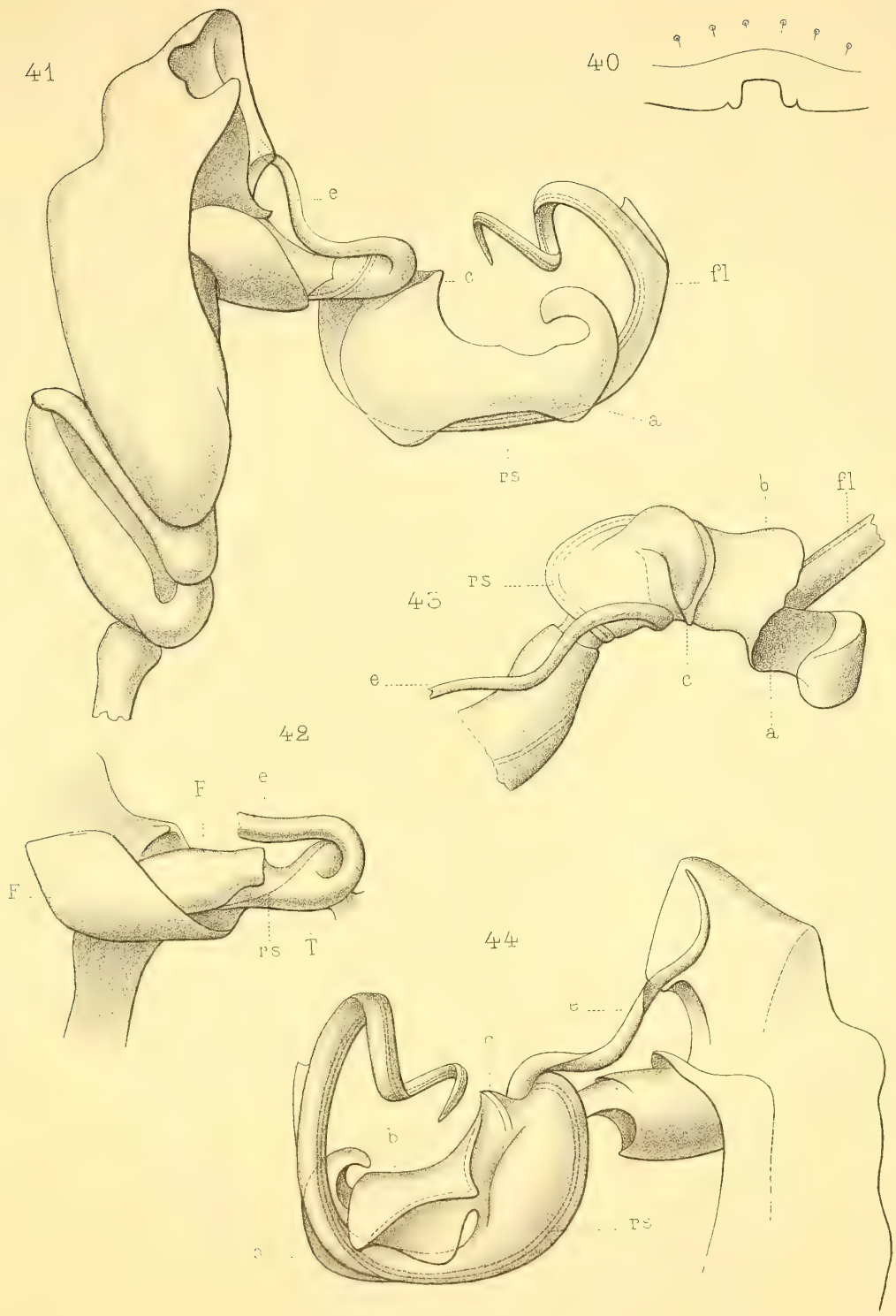

G. Rabaut del.

A. Bénard lith.

Myriopodes

Imp. J. Lefontaine, Paris

PLANCHE Io[1]

PLANCHE Io[1].

Fig. 1. *Gastrimargus Rothschildi* Bolivar.

Fig. 2. *Tapesia æthiopica* Bolivar.

Fig. 3. *Gastrimargus æthiopicus*[1] Bolivar.

Fig. 4. *Phymateus purpurascens*, var. *rufovenosus* Bolivar.

[1] Les antennes ont été indiquées par le dessinateur plus longues qu'elles ne sont en réalité.

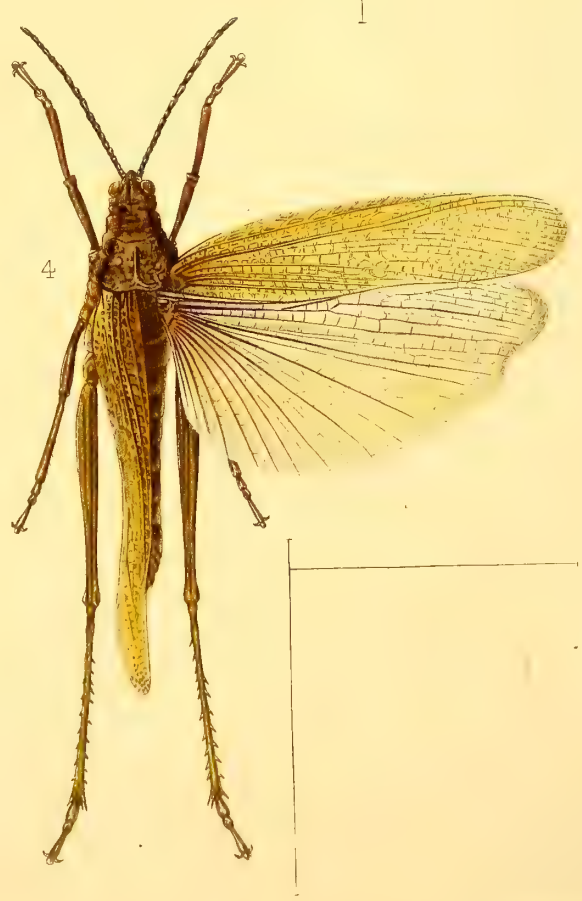

Orthoptères.

PLANCHE Io²

PLANCHE Io².

Fig. 1 *a* et 1 *b*. *Chrotogonus æthiopicus* Bolivar.

Fig. 2. *Lamarckiana gilgilensis* Bolivar.

Fig. 2 *a*. *Lamarckiana gilgilensis* Bolivar. — Tête et pronotum, de face.

Fig. 3. *Locusta cyanea* Stoll.

Fig. 4. *Acrida orientalis* Bolivar.

Fig. 5. *Neritius Rothschildi* Bolivar.

Fig. 6. *Leva æthiopica* Bolivar.

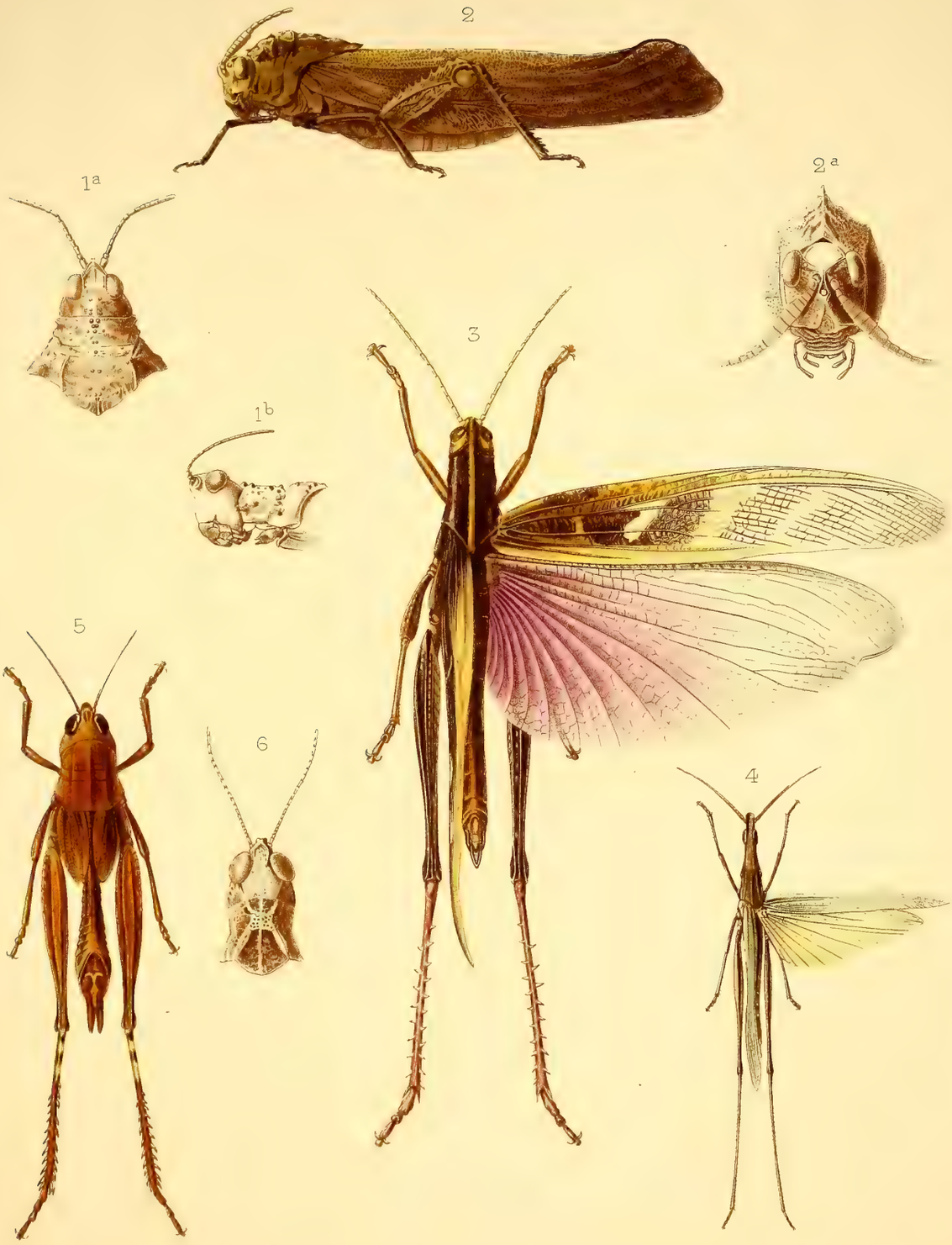

M. Trouvelot del. N. F. sculp.

Orthoptères

PLANCHE Io[3]

PLANCHE Io³.

Fig. 1, 2, 3. *Palophus Rothschildi* Bolivar.

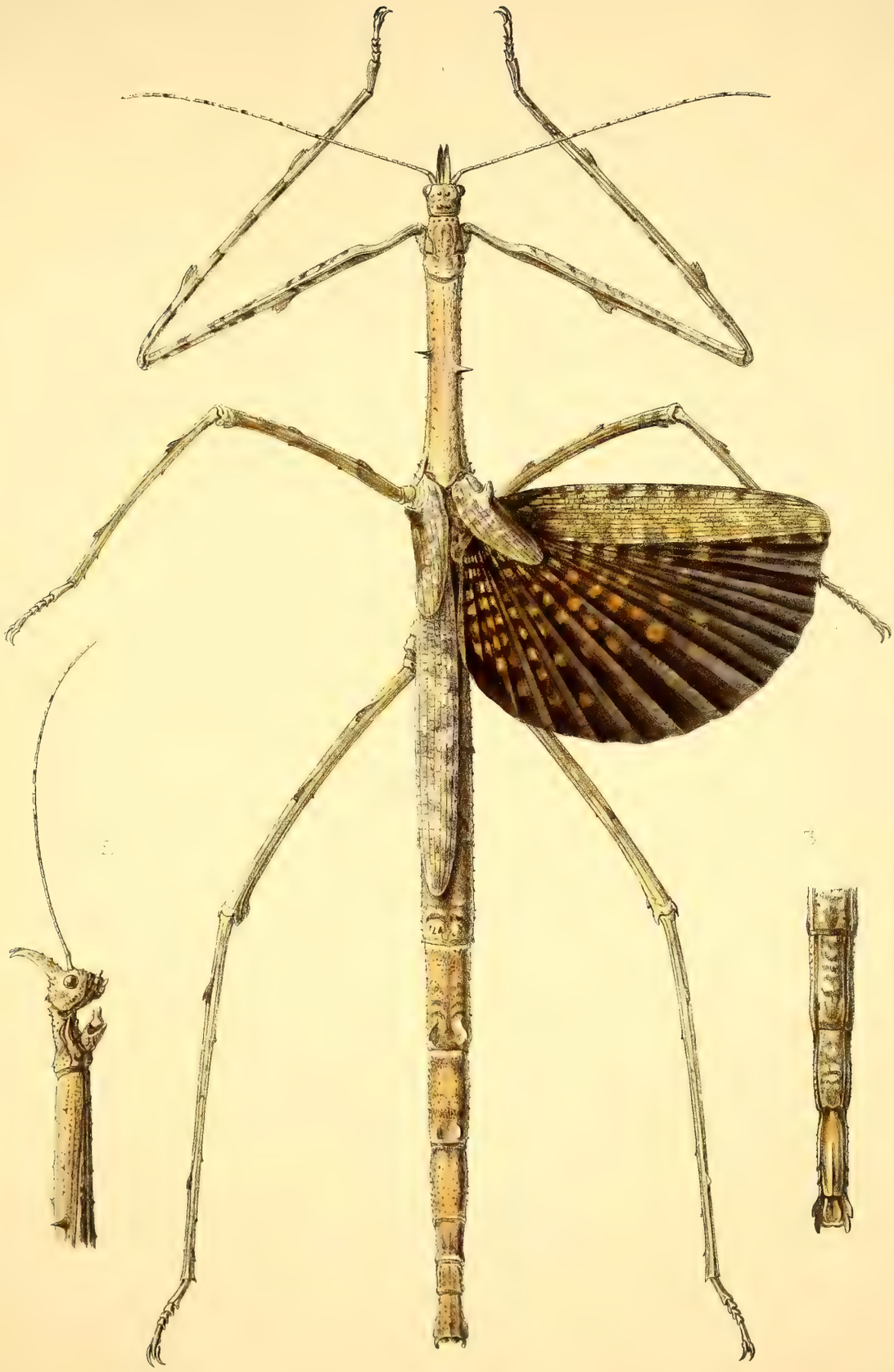

Imp. E. Durand Paris

Orthoptères : Phasmides

PLANCHE Io[4]

PLANCHE Io[4].

Fig. 1. *Eupantolepta regularis* Bolivar.

Fig. 2. *Plastocorypha ituriana* Bolivar.

Fig. 3. *Gryllolandrevus abyssinicus* Bolivar.

Fig. 4. *Pseudoderopeltis Rothschildi* Shelford.

Fig. 5. *Calidomantis lacualis* Giglio-Tos.

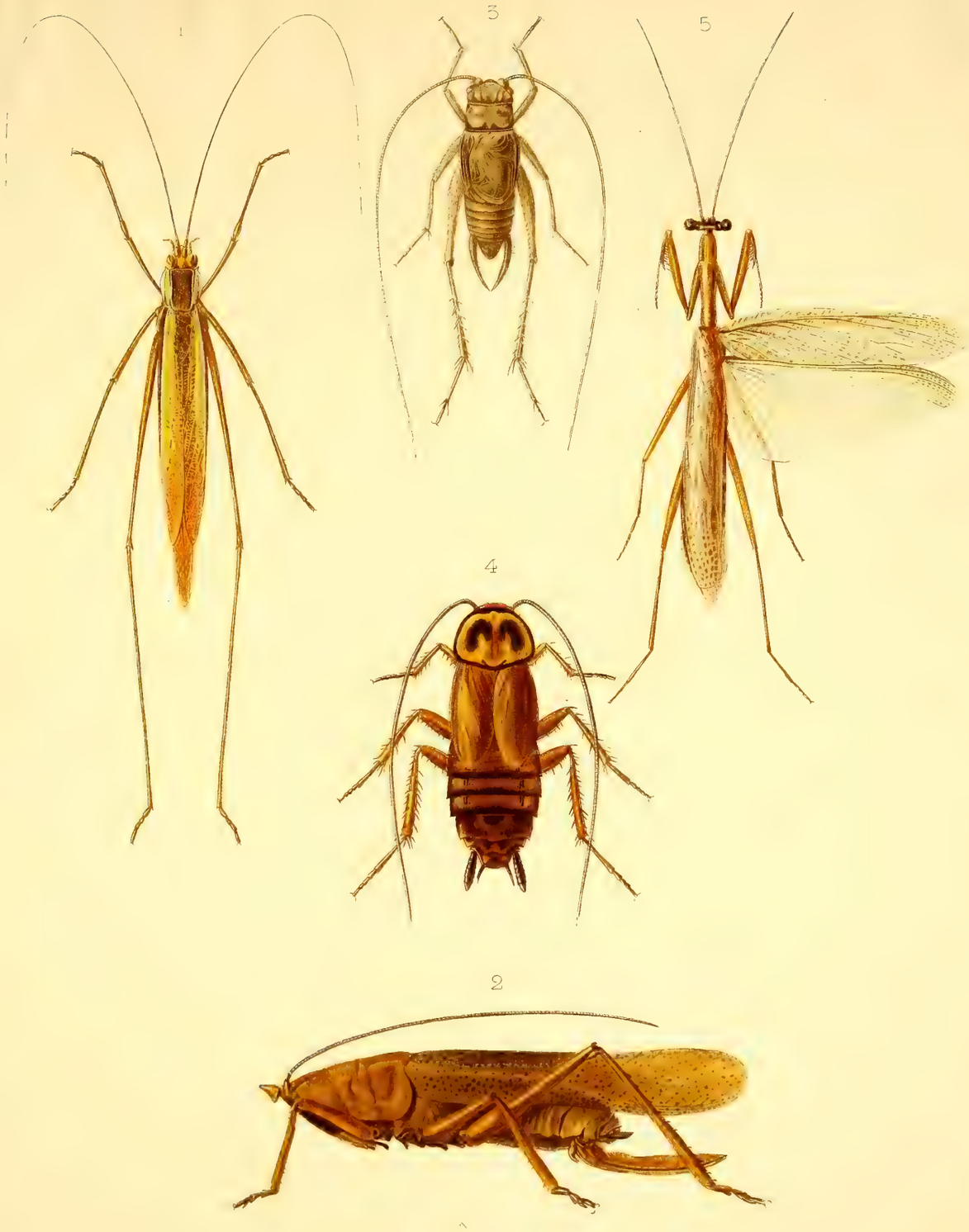
1
3
5
4
2

PLANCHE IT[1]

Planche I t[1].

Fig. 1. *Termes rothschildianus* Sjöstedt.

Fig. 2. *Eutermes abyssinicus* Sjöstedt.

Fig. 3. *Termes mediocris* Sjöstedt.

Fig. 4. *Eutermes æthiopicus* Sjöstedt.

Fig. 5. Termitière.

1

2

3

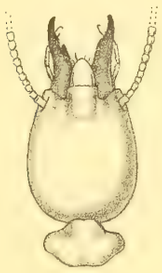

4

5

Y. Sjostedt del. *E. Duchâtel imp. Paris*

Termites

Planche It^2

PLANCHE I_T^2.

Termitières du *Termes anceps*.

1

2

H. Neuville phot.

Termitières du Termes anceps

Planche It[3]

PLANCHE I_T^3.

Termitières du *Termes bellicosus*.

1

2

H. Neuville phot. Imp. Lemercier

Termitière du Termes bellicosus

Planche It[4]

Planche It[4].

Termitières diverses.

1

2

H. Neuville phot.

Termitières diverses

Planche It[5]

PLANCHE I_T^5.

Termitières diverses.

1

2

H. Neuville phot.

Termitières diverses

Planche Ip[1]

Planche Ip[1].

Fig. 1. *Æschna Ellioti* Kirby.

Fig. 2. *Ictinus pugnax* Sélys.

Fig. 3. *Diplacodes luminans* Karsch.

Fig. 4. *Onychogomphus supinus* Sélys.

Fig. 5. *Ischnura abyssinica* R. Martin.

Fig. 6. *Lestes Rothschildi* R. Martin.

Fig. 7. *Pseudagrion bicœrulans* R. Martin.

E. C. Menger ad. nat. del.

E. Lartaud sc.

Pseudonévroptères

Imp. J. Tanew

PLANCHE Ir[1]

M. DE ROTHSCHILD. 1/1

PLANCHE Ir[1].

Fig. 1. *Sehirus expansus* Signoret.

Fig. 2. *Mecidea Tellinii* Schouteden.

Fig. 3. *Gastroxys funerea* Horvath.

Fig. 4. *Leptobolus thoracicus* Schouteden.

Fig. 5. *Cyclogastridea nigromarginalis* Reuter.

Fig. 6. *Aspongopus nubilus* Westw.

Fig. 7. *Myrmoplasta Potteri* J. Martin, var. *nigra* Courteaux.

Fig. 8. *Coranus paradoxus* Lethierry.

M Trottet ad. nat. del. E Lartaud sc

Hémiptères

Imp. S. Jouaust

PLANCHE Ir^2

Planche Ir².

Fig. 1. *Holopterna antennata* Courteaux.

Fig. 2. *Plectrocnemia Rothschildi* Courteaux.

Fig. 3. *Thodelmus spinosus* F.

Fig. 4. *Thodelmus quinquespinosus* F.

Fig. 5. *Chærommatus farinosus* Am. et Serv. ♀.

Fig. 6. *Chærommatus farinosus* Am. et Serv. ♂.

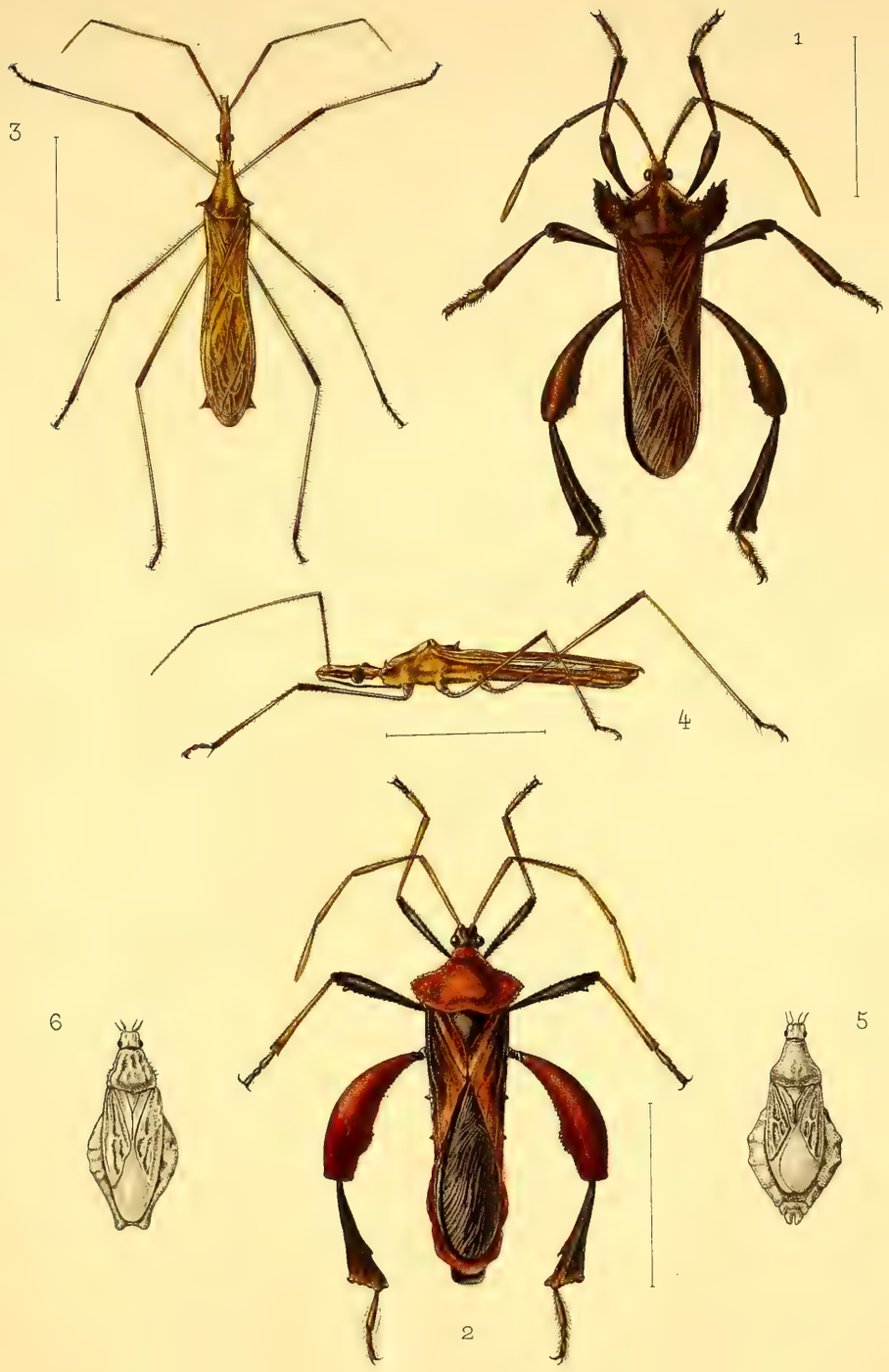

M. Trotiet ad nat del. E. Lartaud sc

Hémiptères

Imp. J. Taneur

PLANCHE Ir³

Planche Ir³.

Fig. 1. *Thamnotettix puellus* Melichar: × 16,5.

Fig. 2. *Thamnotettix puellus* Melichar, vu de profil.

Fig. 3. *Thamnotettix puellus* Melichar; tête, vue de face.

Fig. 4. *Thamnotettix bipunctatus* Melichar; × 10.

Fig. 5. *Thamnotettix bipunctatus* Melichar, vu de profil.

Fig. 6. *Thamnotettix bipunctatus* Melichar; tête, vue de face.

Fig. 7. *Athysanus fasciolatus* Melichar; × 12.

Fig. 8. *Athysanus fasciolatus* Melichar; vue dorsale.

Fig. 9. *Athysanus fasciolatus* Melichar; tête, vue de face.

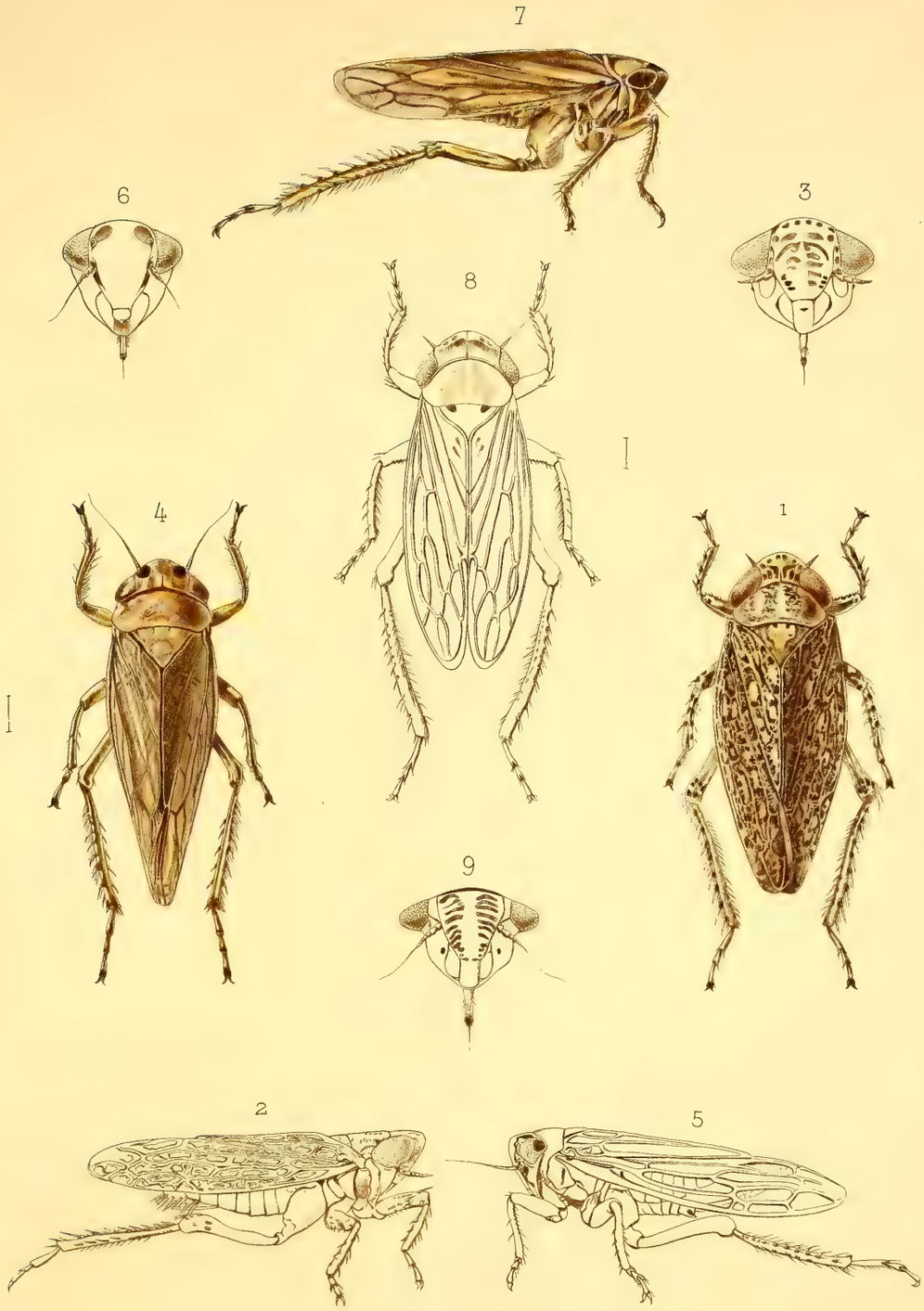

Vesque del Rabouille sc

Homoptères

Imp. Tinaud

PLANCHE Ir[4]

PLANCHE Ir[4].

Fig. 1. *Athysanus similis* Melichar; × 14.

Fig. 2. *Athysanus similis* Melichar, vu de profil.

Fig. 3. *Athysanus similis* Melichar; tête, vue de face.

Fig. 4. *Allygus triguttatus* Melichar; × 7,5.

Fig. 5. *Allygus triguttatus* Melichar, vu de profil.

Fig. 6. *Deltocephalus ornatulus* Melichar; × 16,5.

Fig. 7. *Phlepsius quadripunctatus* Melichar; × 8,5.

Fig. 8. *Phlepsius quadripunctatus* Melichar, vu de profil.

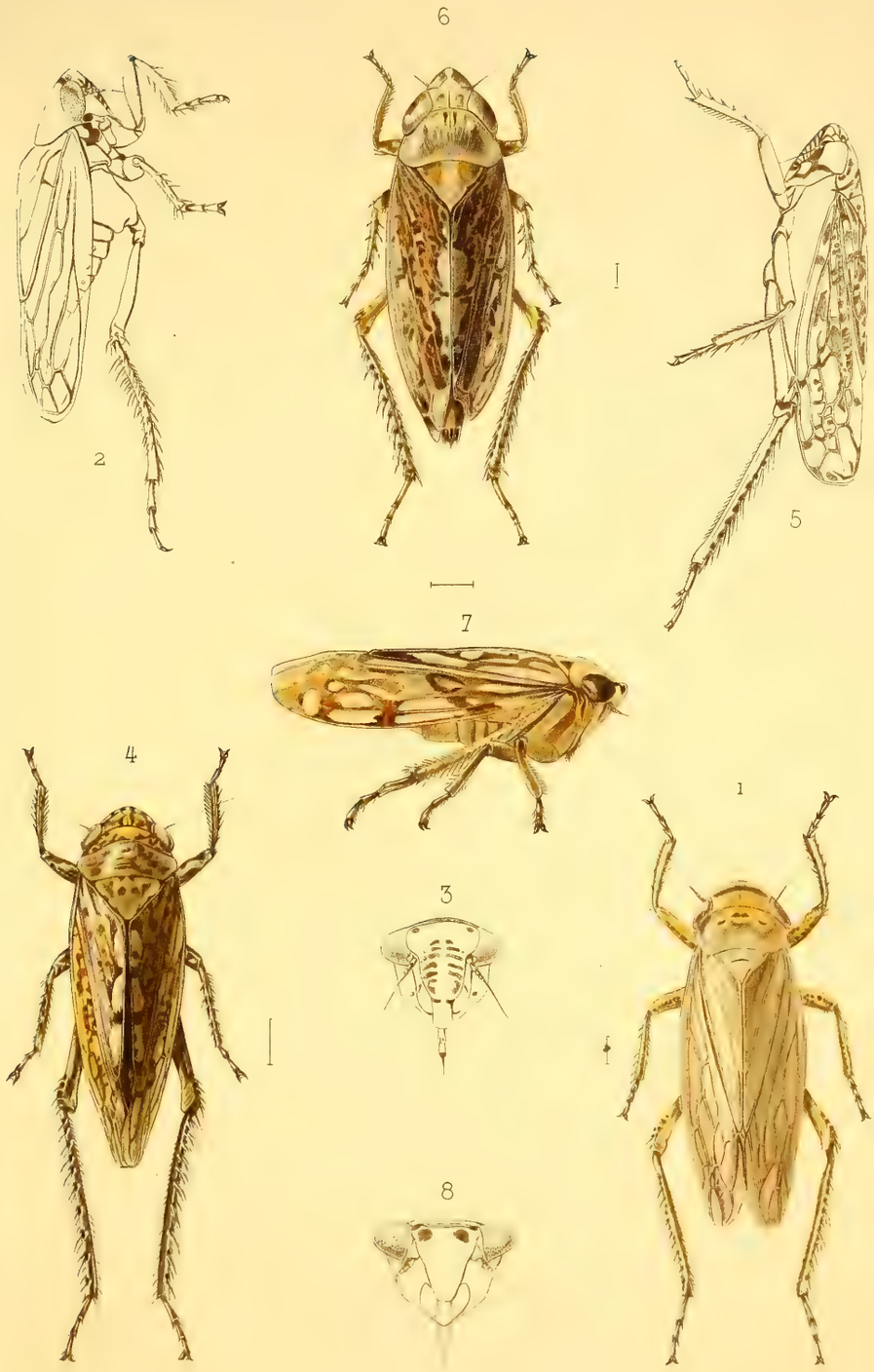

Vicque del. Raboulle

Homoptères

PLANCHE Ir[5]

Planche Ir[5].

Fig. 1. *Phlepsius tumidus* Melichar; × 8.

Fig. 2. *Phlepsius pallidus* Melichar; × 8.

Fig. 3. *Phlepsius pallidus* Melichar, vu de profil.

Fig. 4. *Selenocephalus irroratus* Melichar; × 8.

Fig. 5. *Selenocephalus irroratus* Melichar; tête, vue de face.

Fig. 6. *Selenocephalus clypeocarinatus* Melichar; × 8.

Fig. 7. *Parabolocratus lacteus* Melichar; × 11.

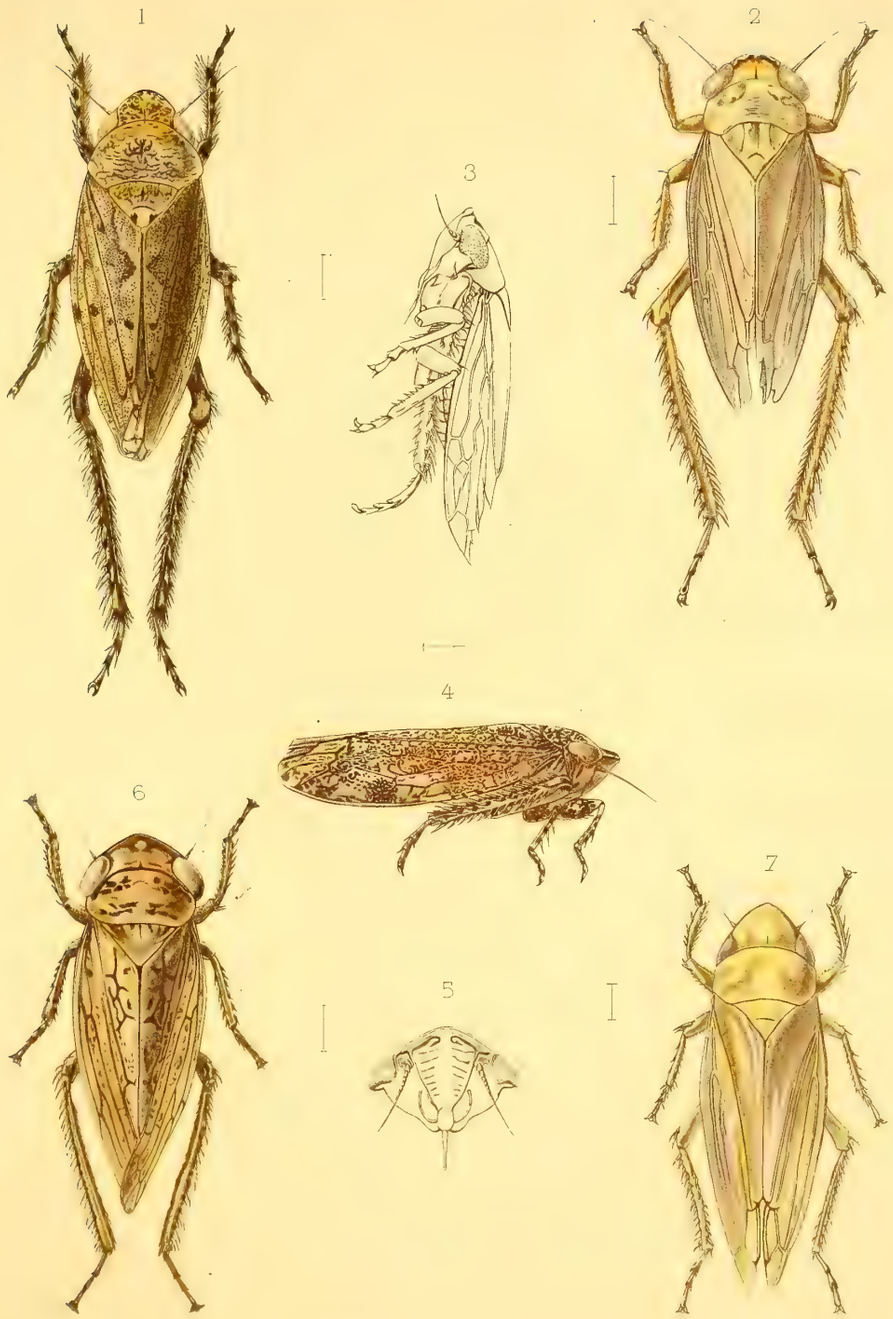

Homoptères

Planche Ir[6]

PLANCHE Ir[6].

Fig. 1. *Idiocerus funereus* Melichar; × 11,5.

Fig. 2. *Idiocerus funereus* Melichar; tête, vue de face.

Fig. 3. *Pediopsis sexpunctata* Melichar; × 12.

Fig. 4. *Pediopsis sexpunctata* Melichar; tête, vue de face.

Fig. 5. *Pediopsis æthiopica* Melichar; × 14.

Fig. 6. *Agallia hararensis* Melichar; × 15.

Fig. 7. *Macropsis viridula* Melichar; × 9,5.

Homoptères

PLANCHE Ir[7]

PLANCHE Ir[7].

Fig. 1. *Poophilus abbreviatus* Melichar; × 6,25.

Fig. 2. *Clovia albomarginata* Melichar; × 7,5.

Fig. 3. *Clovia albomarginata* Melichar.

Fig. 4. *Clovia albomarginata* Melichar, tête, vue de face.

Fig. 5. *Clovia albomarginata* Melichar; patte postérieure.

Fig. 6. *Dictyophora suturalis* Melichar; × 8.

Fig. 7. *Dictyophora suturalis* Melichar.

Fig. 8. *Cixius stigmaticalis* Melichar; × 11.

Fig. 9. *Cixius stigmaticalis* Melichar; tête, vue de face.

Fig. 10. *Oliarus longipennis* Melichar; × 6.

Fig. 11. *Oliarus longipennis* Melichar; patte antérieure.

Fig. 12. *Oliarus longipennis* Melichar; patte intermédiaire.

Fig. 13. *Oliarus longipennis* Melichar; patte postérieure.

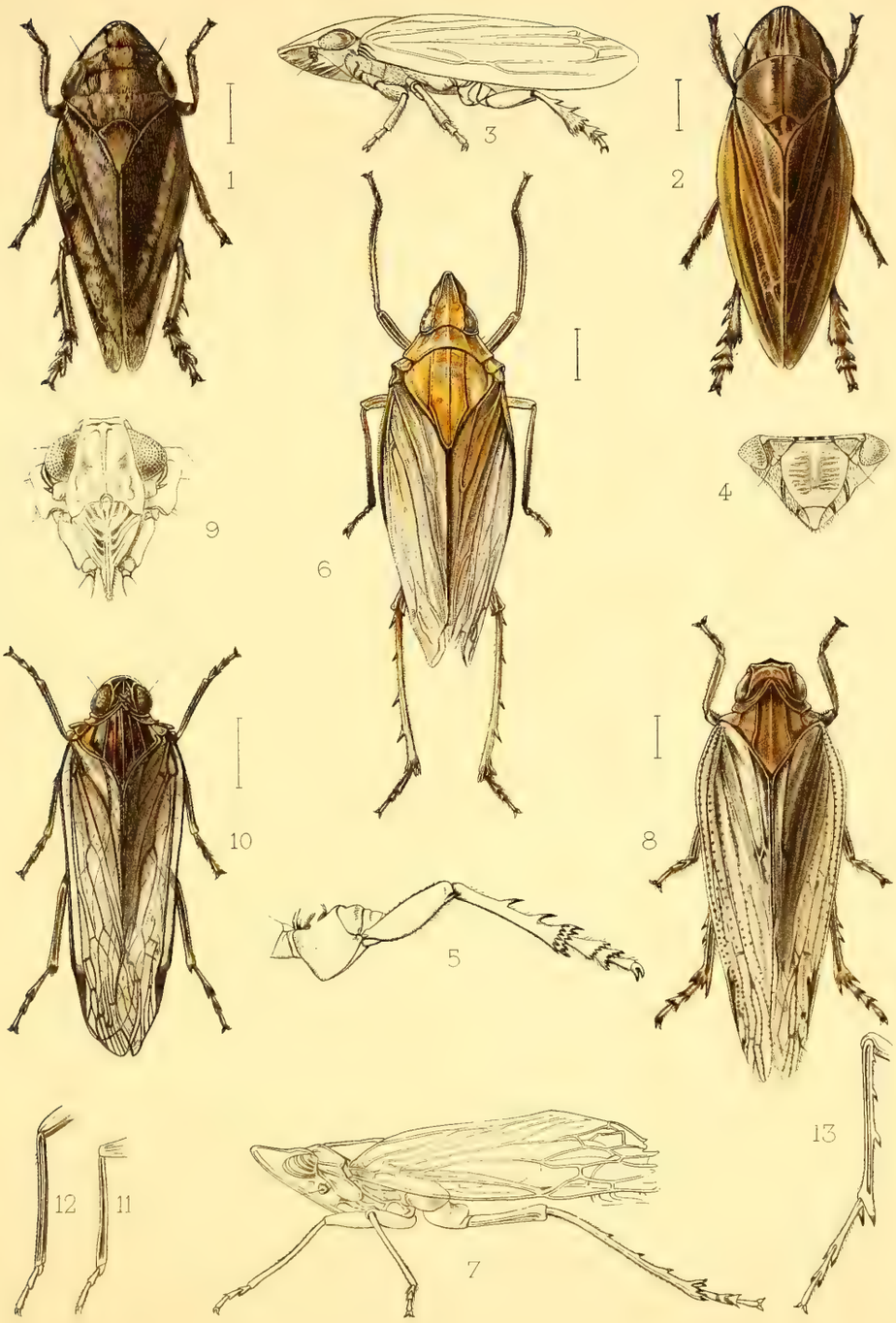

Voeque del. Th. Lecomte sc.

Homoptères

PLANCHE Ir[8]

PLANCHE Ir[8].

Fig. 1. *Hysteropterum solidum* Melichar; × 7.

Fig. 2. *Hysteropterum solidum* Melichar, vu de face.

Fig. 3. *Hysteropterum solidum* Melichar, antenne.

Fig. 4. *Platypleura Rothschildi* Melichar; × 1.

Fig. 5. *Platypleura Rothschildi* Melichar.

Fig. 6. *Platypleura Argus* Melichar; × 1/6.

Fig. 7. *Inyamana Bouvieri* Melichar; × 3,3.

Fig. 8. *Inyamana Bouvieri* Melichar.

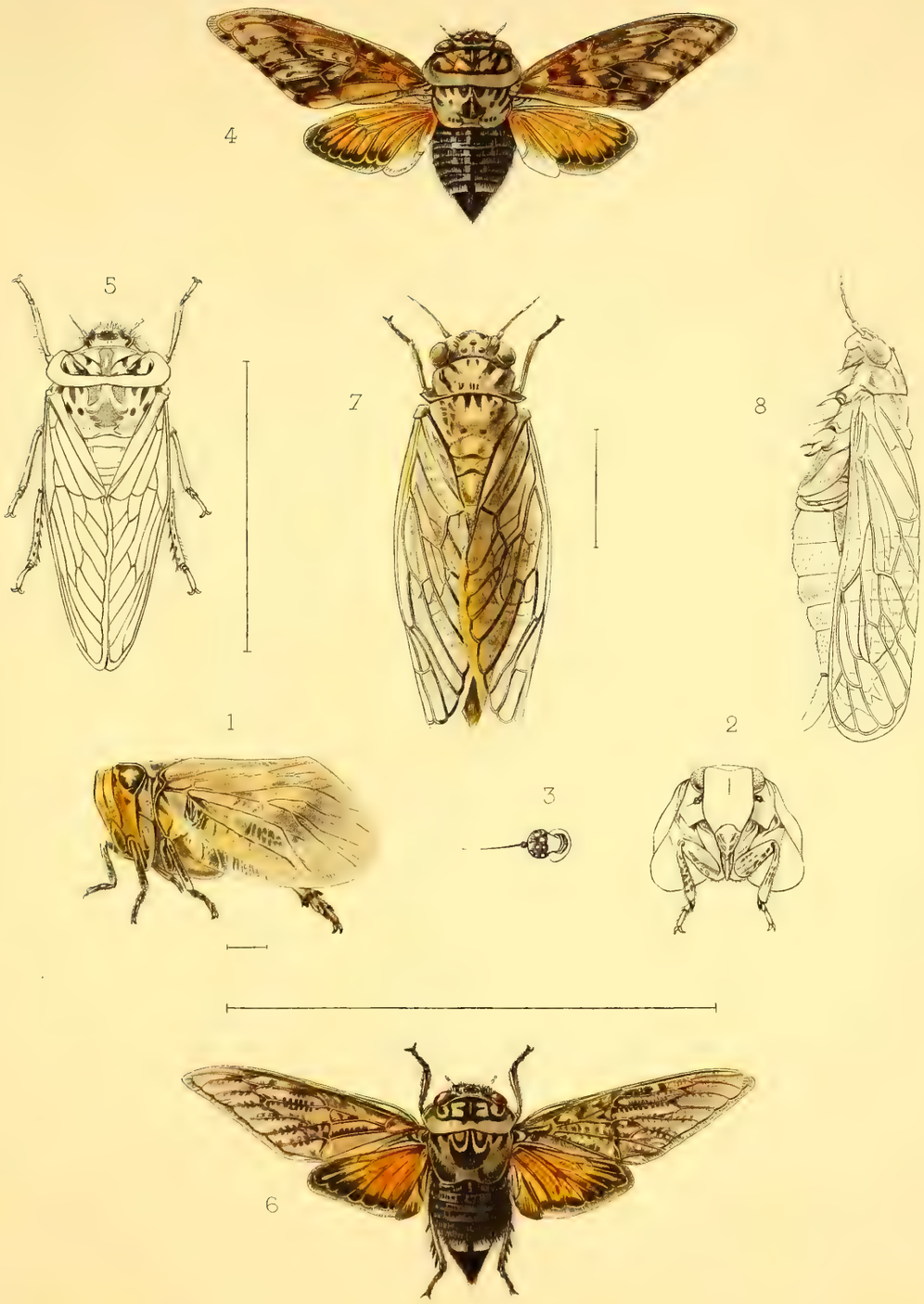

Vesque del

Homoptères

Imp. Tarcevi

Planche In[1]

PLANCHE IN[1].

Fig. 1. *Ischnura elongata* R. Martin.

Fig. 2. *Ischnura urnifera* R. Martin.

Fig. 3. *Allocormodes Kolbei* Van der Weele.

Fig. 4. *Tmesibasis Rothschildi* Van der Weele.

Fig. 5. *Tomatares Rothschildi* Van der Weele.

Fig. 6. *Tomatares Rothschildi* Van der Weele; gonopodes du ♂, vus de côté.

Fig. 7. *Tomatares Rothschildi* Van der Weele; extrémité de l'abdomen de la ♀.

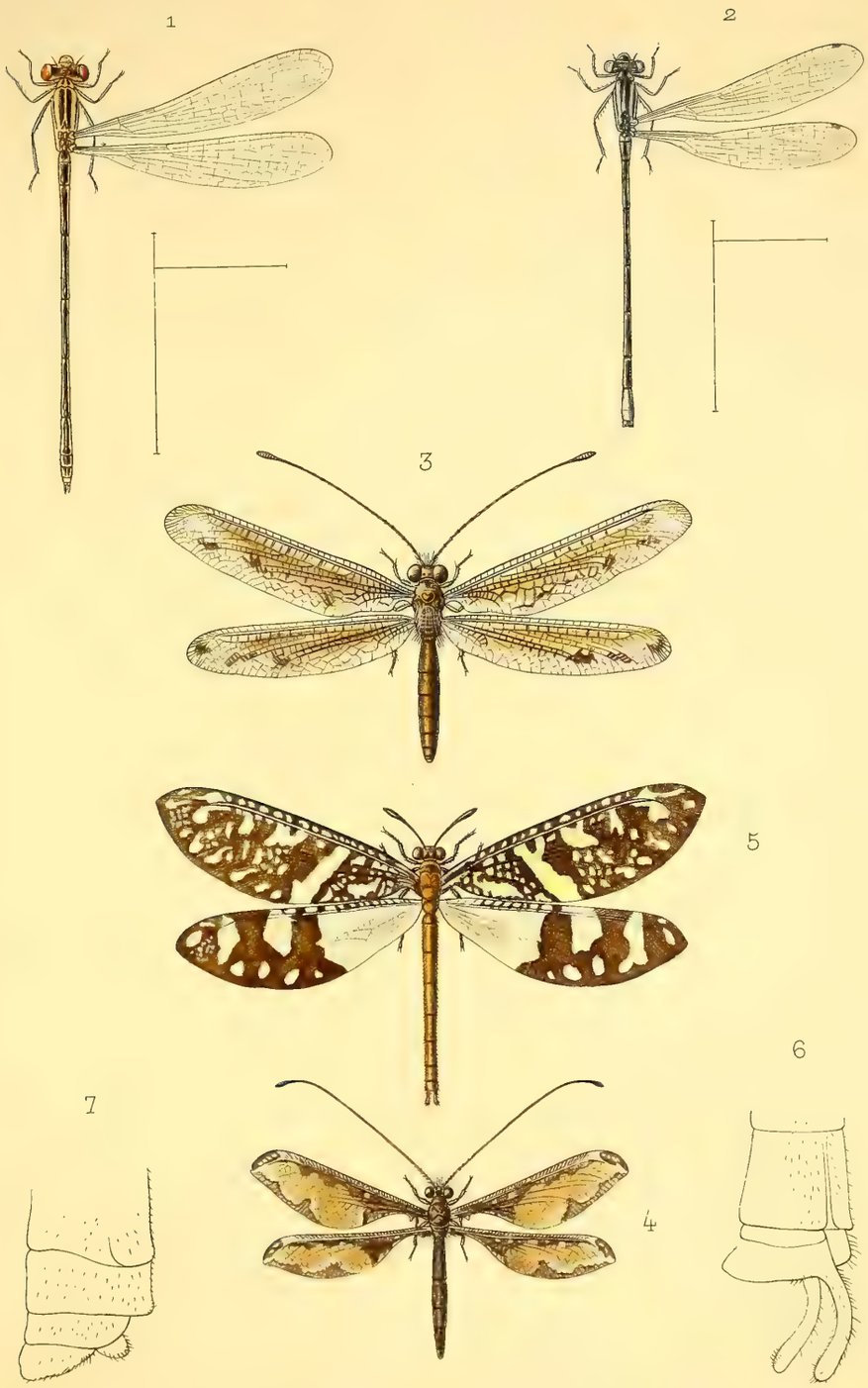

Menger et A. Poujade ad nat. del. F. Larcaud sc.

Pseudonévroptères et Névroptères

Planche In²

Planche In².

Fig. 1. *Tomatares Rothschildi* Van der Weele; valve génitale ♂, vue par-dessous.

Fig. 2. *Palpares interioris* Kolbe.

Fig. 3. *Palpares tristis* Hagen; valve génitale ♂, vue par-dessous.

Fig. 4. *Palpares interioris* Kolbe; gonopodes du ♂, vus de côté.

Fig. 5. *Myrmecœlurus tristis* (Walker).

Fig. 6. *Myrmecœlurus tristis* (Walker); gonopodes de la ♀, vus par-dessous.

Fig. 7. *Myrmecœlurus tristis* (Walker); gonopodes de la ♀, vus de côté.

Fig. 8. *Myrmecœlurus tristis* (Walker); gonopodes du ♂, vus de côté.

Fig. 9. *Myrmeleon lethifer* Walker.

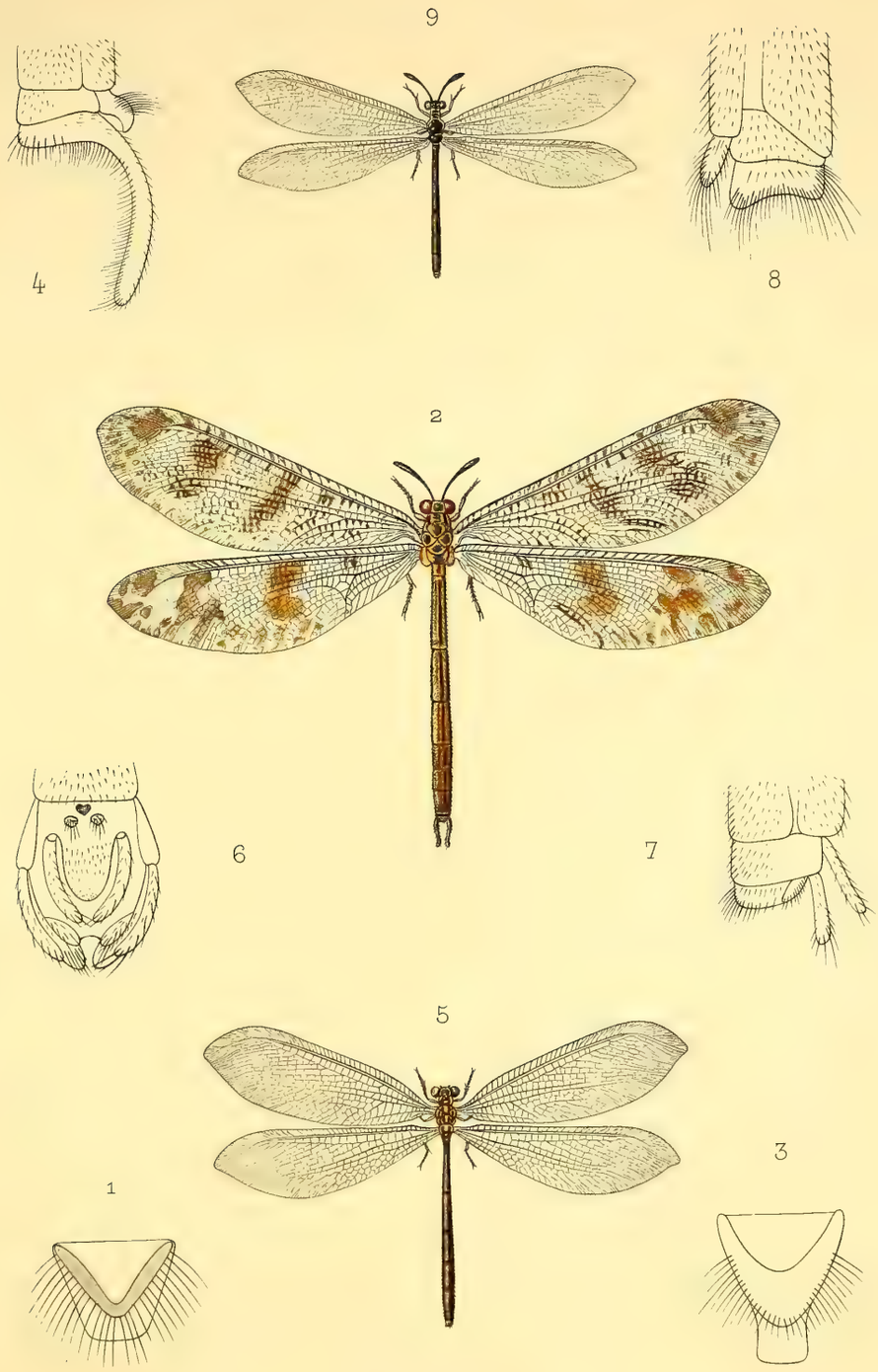

Menger et van der Weel ad nat del.

E. Lartaud sc

Névroptères

Imp. J. Taneur

PLANCHE IL[1]

PLANCHE IL[1].

Fig. 1. *Amauris egialea* Cr., var. *impar* Auriv. ♂.

Fig. 2. *Amauris Crawshayi* Butl., var. *reducta* Auriv. ♂.

Fig. 3. *Precis Westermanni* Westw., var. *suffusa* R. et J. ♀.

Fig. 4. *Crenis Ansorgei* R. et J. ♂.

Fig. 5 et 5 *a*. *Lycænesthes Rothschildi* Auriv. ♂.

Fig. 6. *Cupido abyssinica* Auriv. ♂.

Fig. 7. *Teracolus phisadia* God., var. *ocellatus* Butl. ♂.

Fig. 8. *Teracolus phisadia* God., var. *ocellatus* Butl. ♀.

7

8

6

5a

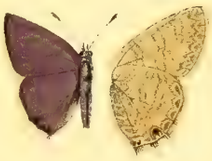

5

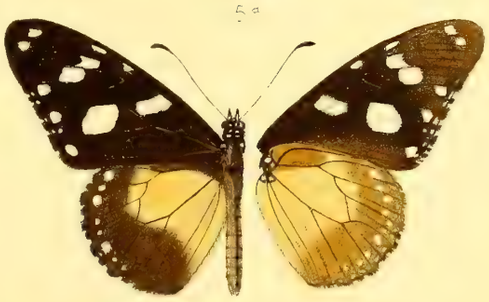

4

3

PLANCHE IL[2]

Planche Il[2].

Fig. 1. *Pieris subeida* Feld., var. *instabilis* Butl. ♂.

Fig. 2. *Pieris subeida* Feld., var. *instabilis* Butl. ♀.

Fig. 3. *Pieris subeida* Feld. ♀.

Fig. 4. *Pieris subeida* Feld. ♂.

Fig. 5. *Euryphene phranza* Hew., var. ♀ *Morcelsi* Auriv.

Fig. 6. *Euryphene iturina* Karsch, ♂.

Fig. 7. *Euryphene Wilwerthi* Auriv. ♀.

Fig. 8. *Euryphene Wilwerthi* Auriv. ♂.

Fig 9. *Ergolis murina* Bartel. ♂.

Vte Le Cerf. vinx. A. d'Avreval sc.

A. Quantin imp. Paris

PLANCHE IL[3]

PLANCHE IL[3].

Fig. 1. *Papilio cenea* Stoll, ab. *mixta* Auriv. ♀.

Fig. 2. *Papilio phorcas* Cram., var. *Ansorgei* Roths. ♀.

Fig. 3. *Papilio rex* Oberth. ♀.

1
2
3

Planche Il[4]

Planche Il[4].

Fig. 1, 1 *a*. *Nudaurelia oubie* Guér.-Mén., var. *æthiopica*, f. *argillosa* Le Cerf, ♂.

Fig. 2, 2 *a*. *Nudaurelia oubie* Guér.-Mén., var. *æthiopica* Le Cerf, ♀.

Fig. 3, 3 *a*. *Nudaurelia oubie* Guér.-Mén., var. *æthiopica* Le Cerf, ♂.

1
1a
2
2a
3
3a

Planche Il[5]

Planche Il[5].

Fig. 1, 1 *a*. *Nudaurelia oubie* Guér.-Mén., var. *Rothschildi* Le Cerf, ♂.

Fig. 2, 2 *a*. *Nudaurelia oubie* Guér.-Mén., var. *Rothschildi* Le Cerf, ♀.

Fig. 3, 3 *a*. *Nudaurelia oubie* Guér.-Mén., var. *Rothschildi*, f. *Neuvillei* Le Cerf, ♂.

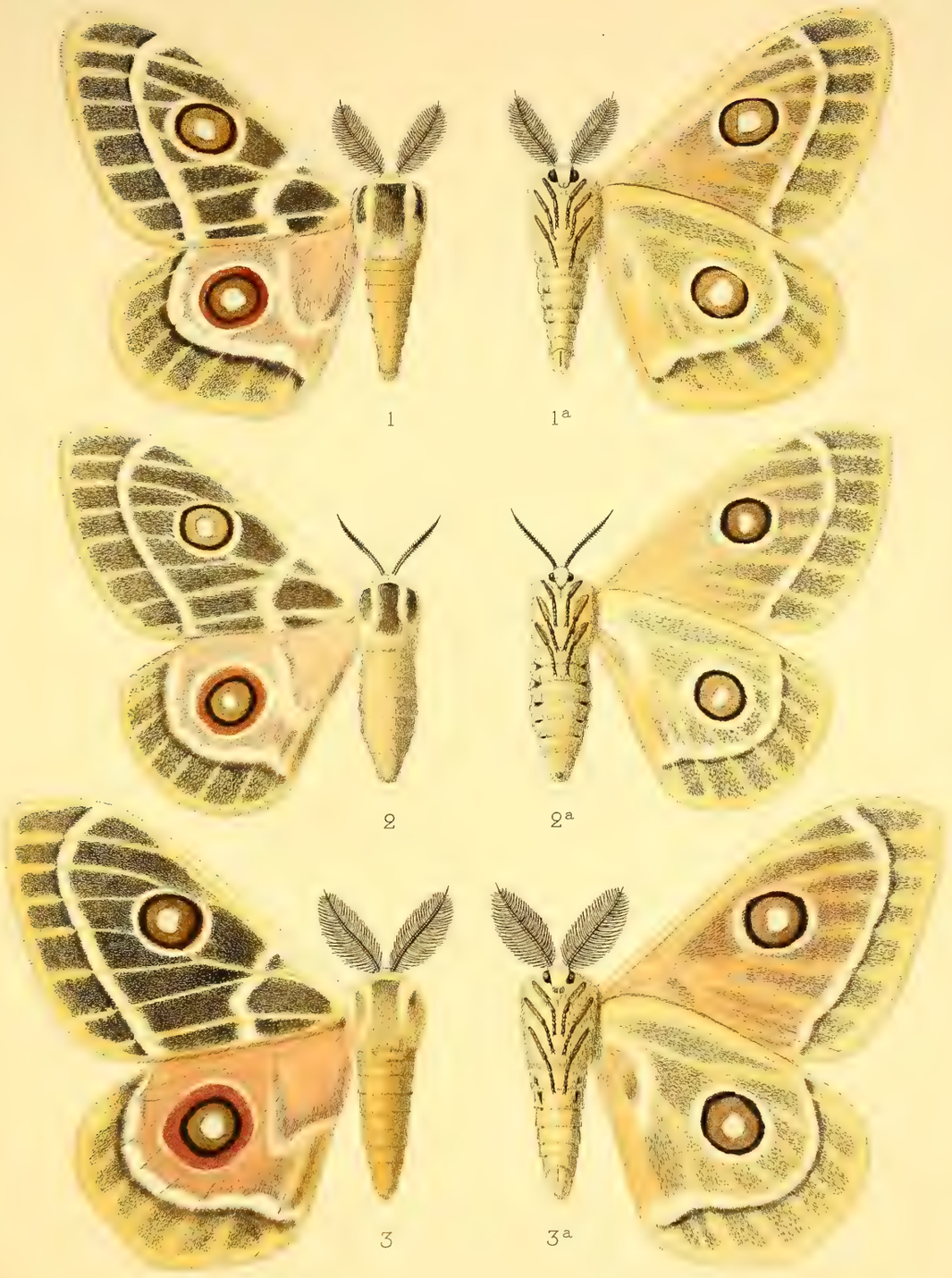

A d'Apreval sc

Planche Il[6]

Planche Il[6].

Fig. 1. *Timora margarita* Le Cerf, ♂.

Fig. 2. *Metarctia major* Le Cerf, ♂.

Fig. 3. *Syntomis similis* Le Cerf, ♂.

Fig. 4. *Ozarba punctifascia* Le Cerf, ♂.

Fig. 5. *Ozarba variegata* Le Cerf, ♂.

Fig. 6. *Lithacodia variicolor* Le Cerf, ♂.

Fig. 7. *Polyptychus Erlangeri* R. et J., ♂.

Fig. 8. *Ozarba cupreofascia* Le Cerf, ♂

Fig. 9. *Tarache Brabanti* Le Cerf, ♂.

Fig. 10. *Metarctia Rothschildi* Le Cerf, ♂.

Fig. 11. *Eublemma monotona* Le Cerf, ♂.

Fig. 12. *Euxoa longiclavis* Joan., ♀.

Fig. 13. *Metarctia tenebrosa* Le Cerf, ♂.

Fig. 14. *Eublemma albivena* Hpsn., var. *pallescens* Le Cerf, ♂.

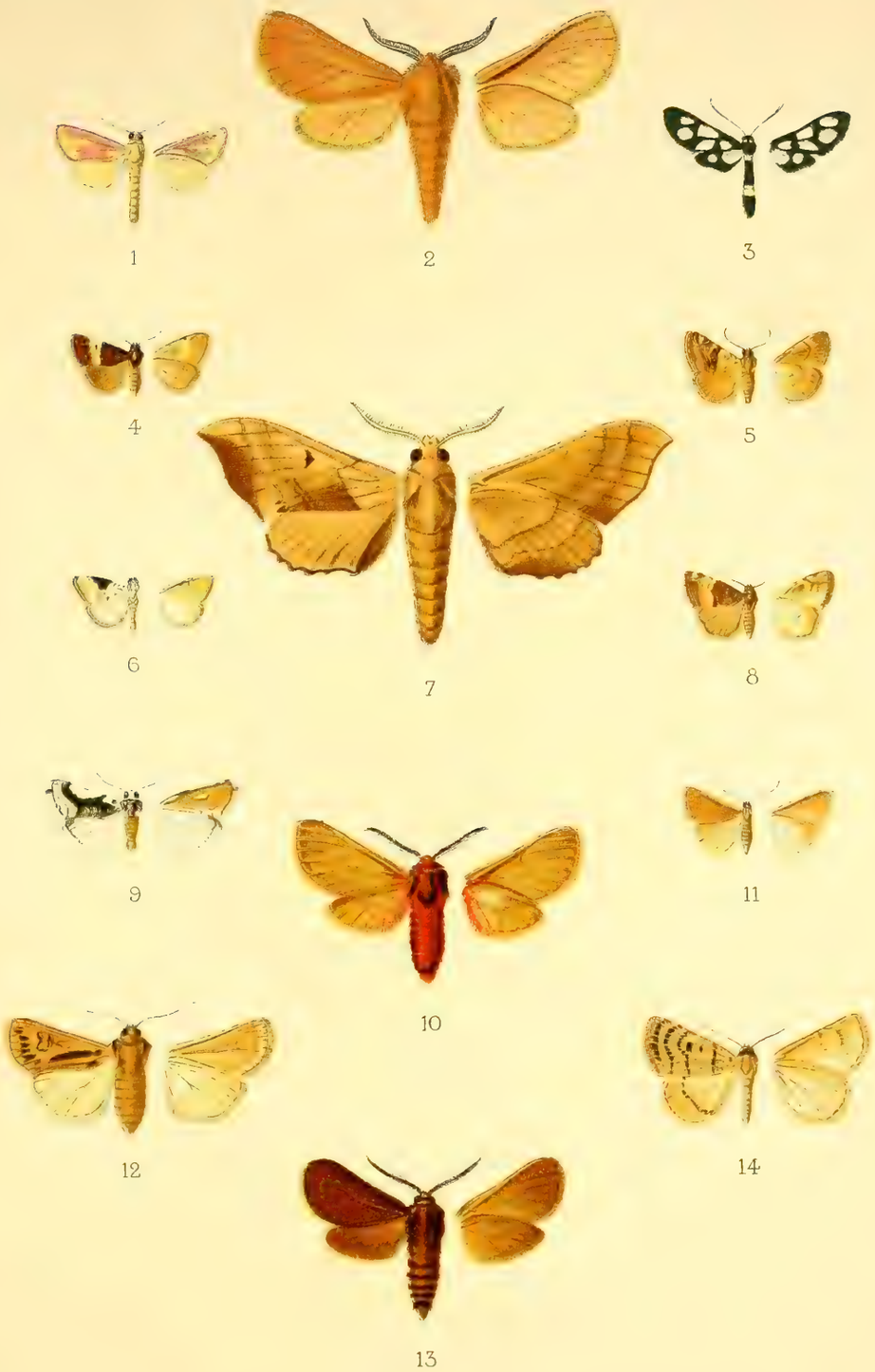

F[a] Le Cerf pinx. *A. Millot sc.*

Champenois Imp. Paris

PLANCHE IL[7]

Planche Il[7].

Fig. 1. *Cnephasia mediocris* Meyr., ♂.

Fig. 2. *Goodia decolor* Le Cerf, ♂.

Fig. 3. *Melasina olenitis* Meyr., ♂.

Fig. 4. *Phalonia illota* Meyr., ♂.

Fig. 5. *Eosia insignis* Le Cerf, ♂.

Fig. 6. *Tineola argocoma* Meyr., ♂.

Fig. 7. *Amydria eccephala* Meyr., ♂.

Fig. 8. *Hapsifera revoluta* Meyr., ♂.

Fig. 9. *Odites inversa* Meyr., ♂.

Fig. 10. *Nothabraxas commaculata* Warr., ♂.

Fig. 11. *Hapsifera horridella* Wlk. (? var.), ♀.

Fig. 12. *Alispoides conisphora* Hmpsn. [i. l.].

Fig. 13. *Nothabraxas unca* Le Cerf, ♂.

Fig. 14. *Ethmia epiloxia* Meyr., ♂.

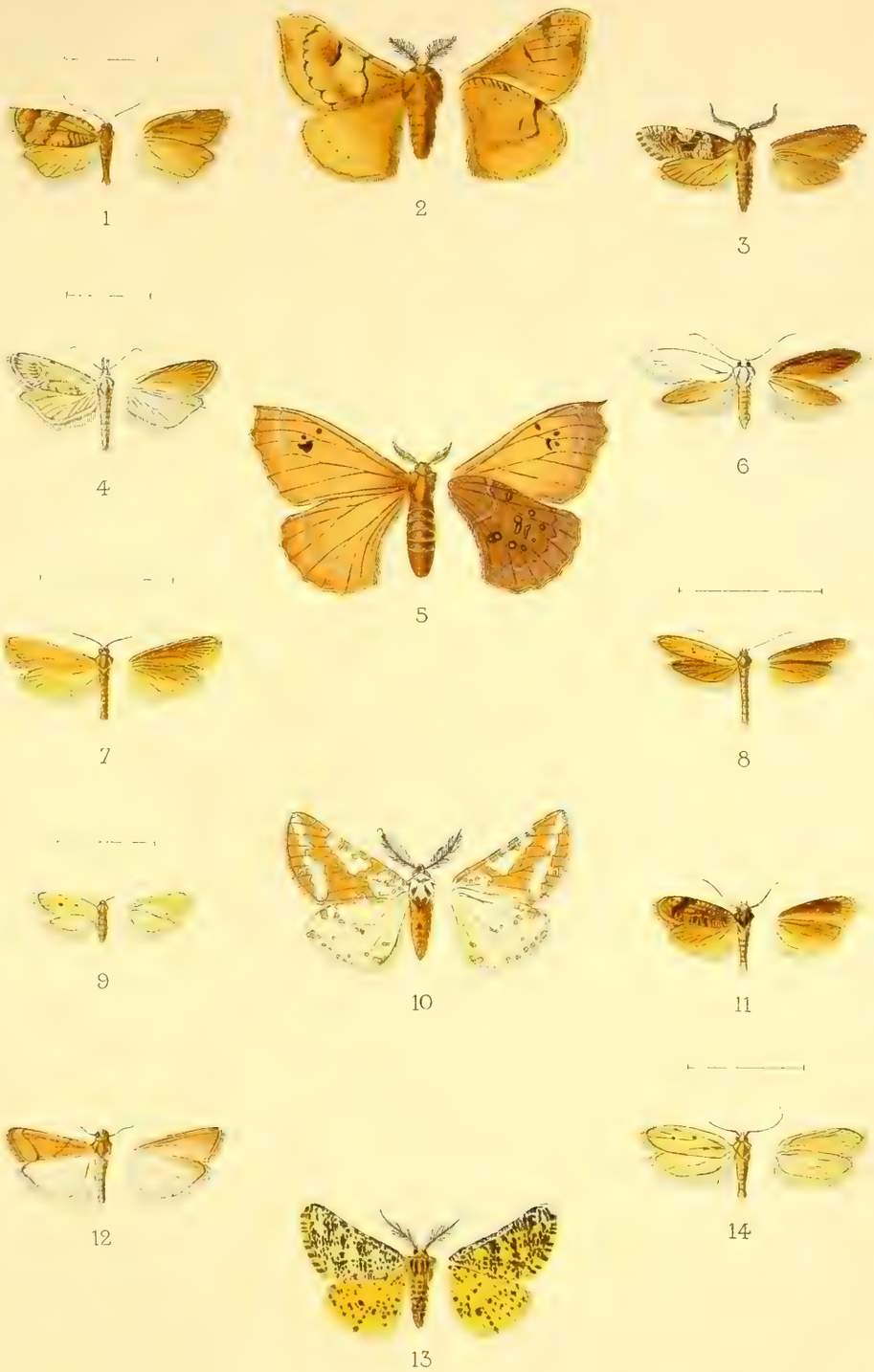

Fd. Le Cerf, pinx. A. Millot sc.

Champenois Imp. Paris

PLANCHE Ic'

PLANCHE Ic[1].

Fig. 1. *Polyhirma bihamata Lesnei* Sternberg.

Fig. 2. *Polyhirma bihamata Lesnei* Sternberg, tête, vue de dessus.

Fig. 3. *Polyhirma bihamata Lesnei* Sternberg, patte antérieure.

Fig. 4. *Polyhirma karoliana* Sternberg.

Fig. 5. *Polyhirma karoliana* Sternberg, tête, vue de dessus.

Fig. 6. *Polyhirma karoliana* Sternberg, patte antérieure.

Fig. 7. *Polyhirma karoliana* Sternberg, patte intermédiaire.

Fig. 8. *Polyhirma karoliana* Sternberg, patte postérieure.

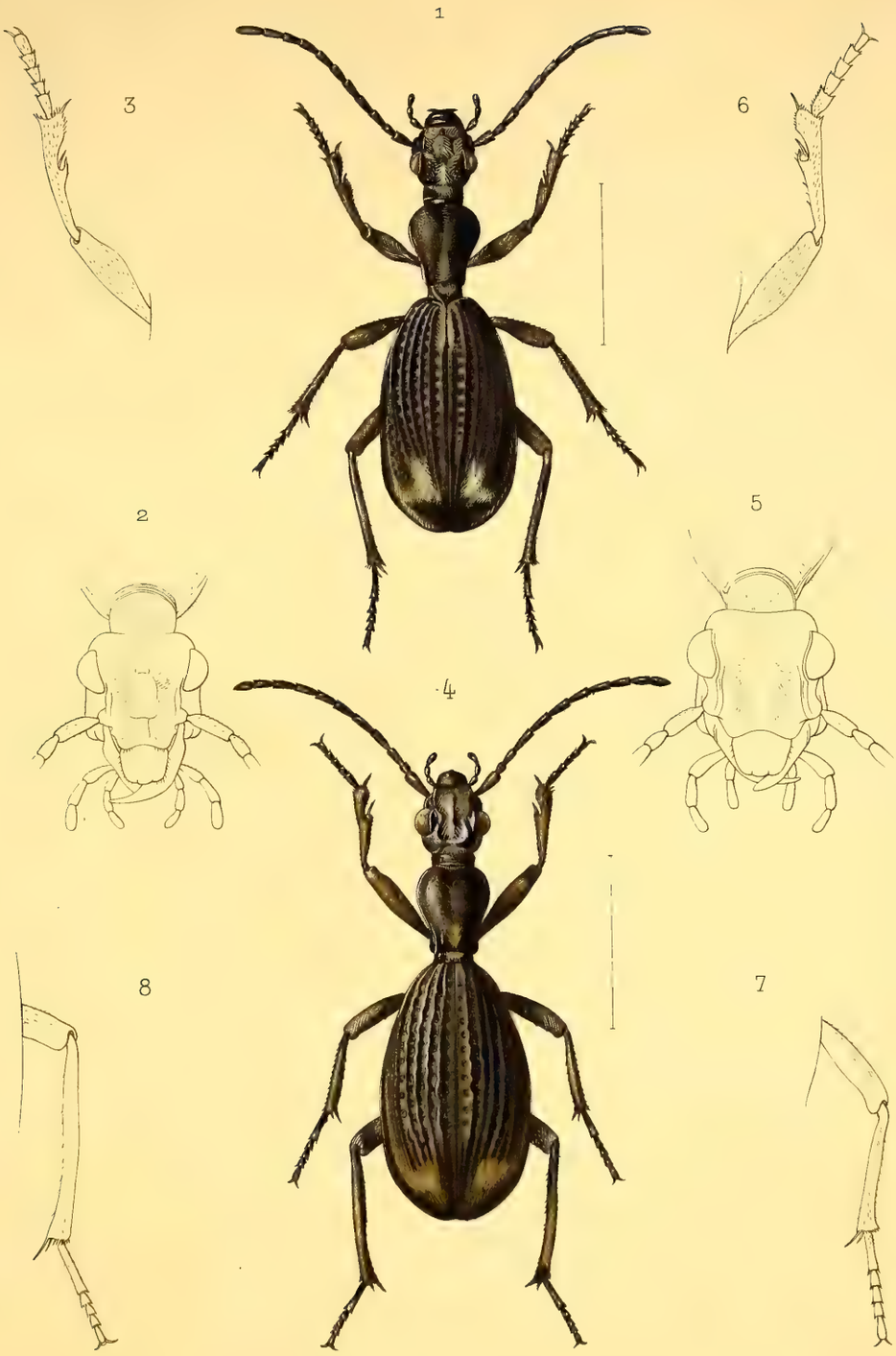

Vesque del. E. Lortaud sc.

Polyhirma

PLANCHE Ic²

PLANCHE Ic².

Fig. 1. *Zophosis amplicollis* Fairmaire.

Fig. 2. *Zophosis amplicollis* Fairmaire, antenne.

Fig. 3. *Zophosis amplicollis* Fairmaire, pattes du côté droit.

Fig. 4. *Zophosis agaboides subcariosa* Lesne.

Fig. 5. *Zophosis agaboides subcariosa* Lesne, dessous du corps, vu de trois quarts.

Fig. 6. *Zophosis crispata* Fairmaire.

Fig. 7. *Zophosis crispata* Fairmaire, patte antérieure.

Fig. 8. *Zophosis crispata* Fairmaire, patte intermédiaire.

Fig. 9. *Zophosis crispata* Fairmaire, patte postérieure.

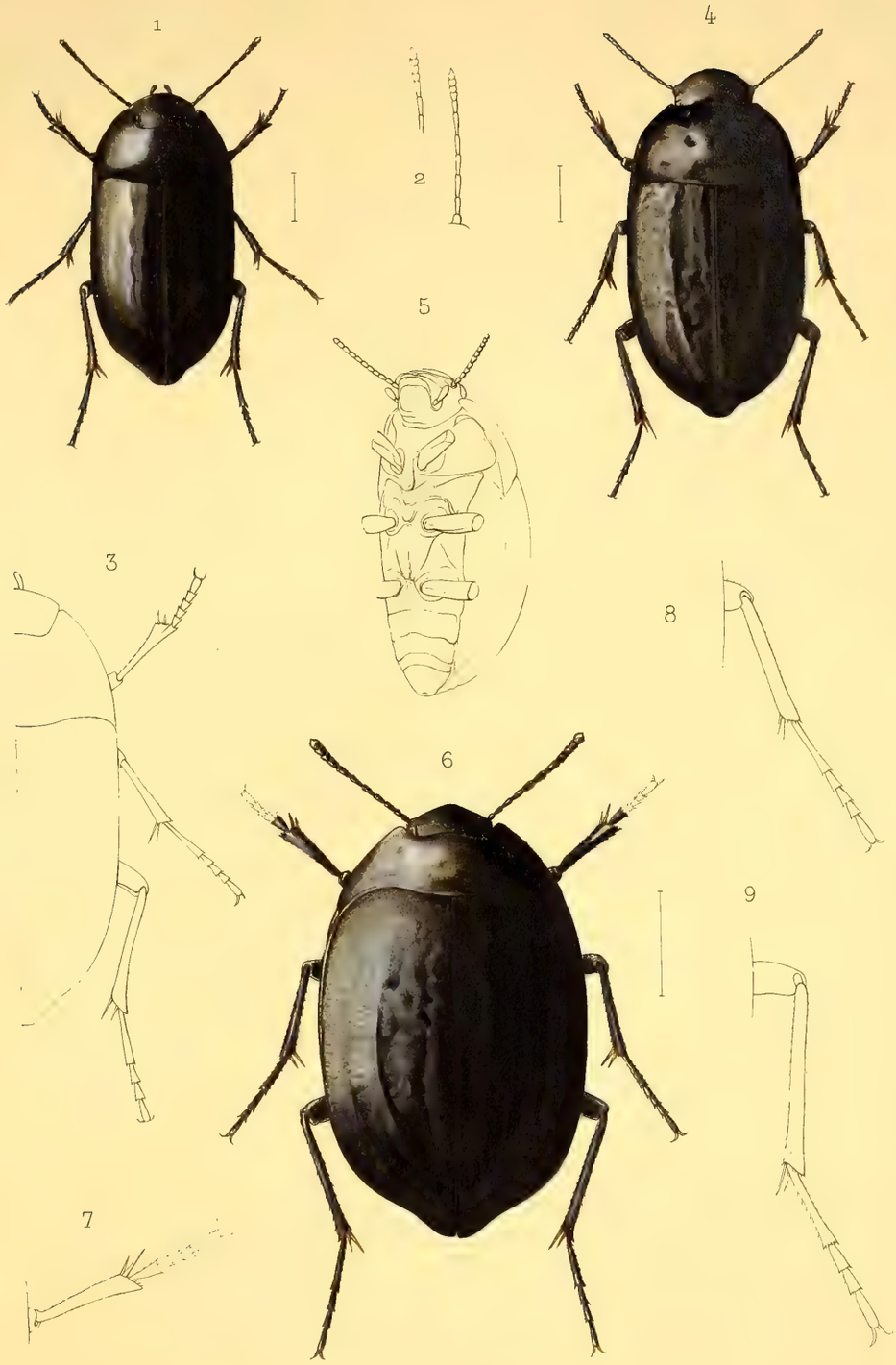

Zophosis

PLANCHE Ic[3]

PLANCHE Ic³.

Fig. 1. *Zophosis abyssinica latissima* Chatanay.

Fig. 2. *Zophosis abyssinica latissima* Chatanay, patte antérieure, vue de dessous.

Fig. 3. *Zophosis abyssinica latissima* Chatanay, patte intermédiaire.

Fig. 4. *Zophosis abyssinica latissima* Chatanay, patte postérieure.

Fig. 5. *Zophosis ecostata* Lesne.

Fig. 6. *Zophosis ecostata* Lesne, patte antérieure.

Fig. 7. *Zophosis ecostata* Lesne, patte intermédiaire.

Fig. 8. *Zophosis ecostata* Lesne, patte postérieure.

Fig. 9. *Zophosis sulcata* Deyrolle.

Fig. 10. *Zophosis sulcata* Deyrolle, profil du corps.

Fig. 11. *Zophosis sulcata* Deyrolle, antenne.

Vesque del. E. Lartaud sc.

Zophosis

Imp. Thierry

PLANCHE Ic[4]

PLANCHE Ic[4].

Fig. 1. *Micrambe subvillosa* A. Grouvelle.

Fig. 2. *Micrambe Mauritii* A. Grouvelle.

Fig. 3. *Diplocœlus Mauritii* A. Grouvelle.

Fig. 4. *Atritomus vicinus* A. Grouvelle.

Fig. 5. *Dryops anguliceps* A. Grouvelle.

Fig. 6. *Dryops anguliceps* A. Grouvelle, tête, vue de face.

Fig. 7. *Meligethes æthiopicus* A. Grouvelle.

Fig. 8. *Meligethes Mauritii* A. Grouvelle.

Fig. 9. *Cryptarcha æthiopica* A. Grouvelle.

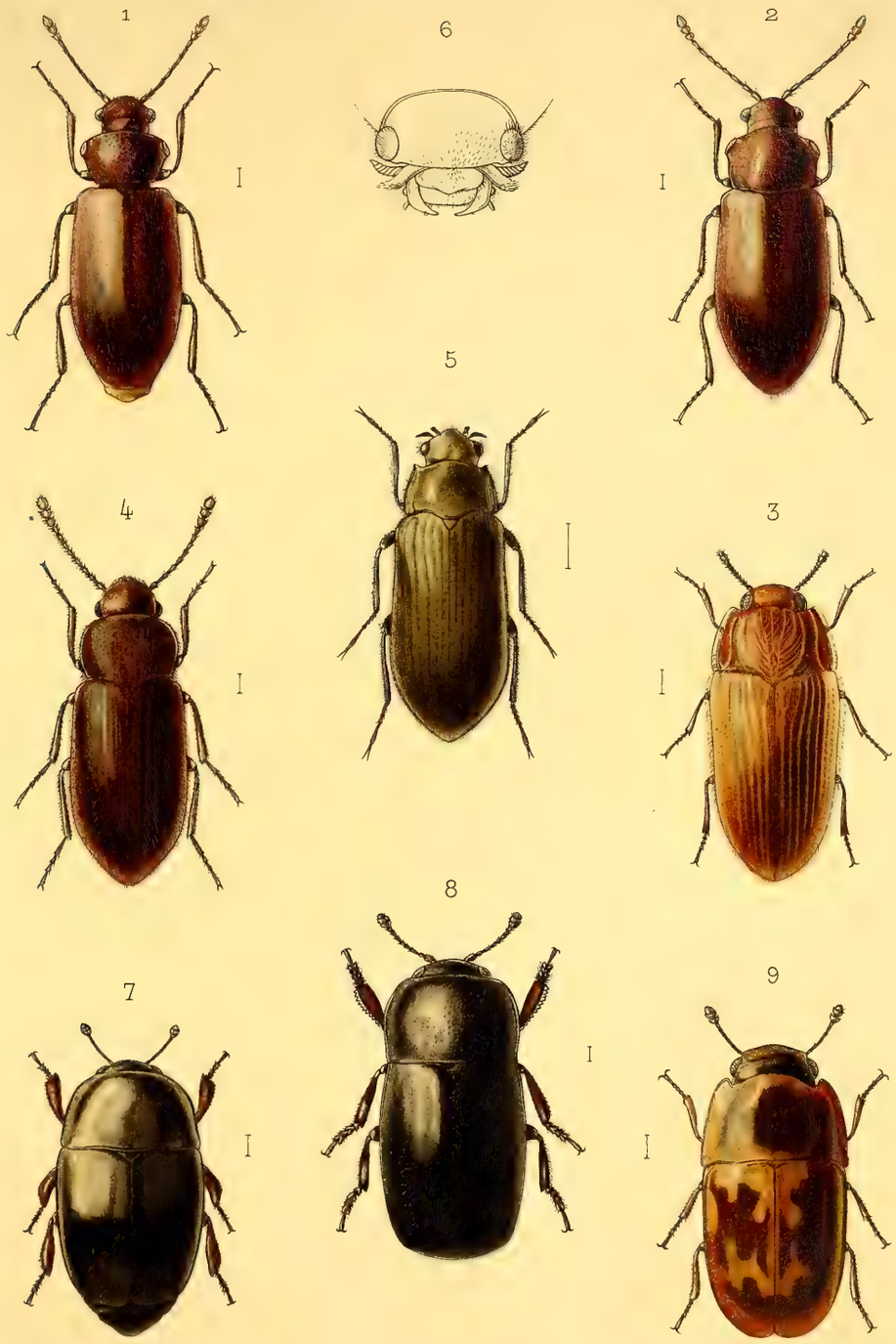

Vesque del. E. Lartaud sc

Clavicornes

Imp. J. Taneur

PLANCHE Ic[5]

PLANCHE Ic[5].

Fig. 1. *Polyhirma Rothschildi* Sternberg.

Fig. 2. *Polyhirma Rothschildi* Sternberg, tête, vue de dessus.

Fig. 3. *Polyhirma Rothschildi* Sternberg, patte antérieure.

Fig. 4. *Bidessus Rothschildi* Régimbart.

Fig. 5. *Bidessus Andreini* Régimbart.

Fig. 6. *Bidessus Andreini* Régimbart, antenne.

Fig. 7. *Bidessus Andreini* Régimbart, patte postérieure.

Vesque del. Herbert lith.

Carabides, Dystiscides

Imp. L. Lafontaine, Paris

PLANCHE Ic[6]

PLANCHE Ic[6].

Fig. 1. *Bidessus geminus æthiopicus* Régimbart.

Fig. 2. *Helophorus æthiopicus* Régimbart.

Fig. 3. *Helophorus æthiopicus* Régimbart, palpe labial.

Fig. 4. *Ochtebius Andreini* Régimbart.

Fig. 5. *Hydræna abyssinica* Régimbart.

Fig. 6. *Hydræna abyssinica* Régimbart, palpe labial.

Fig. 7. *Melanophthalma Rothschildi* Pic.

Fig. 8. *Hypoliodes Rothschildi* G. Portevin.

Fig. 9. *Hypoliodes Rothschildi* G. Portevin, antenne.

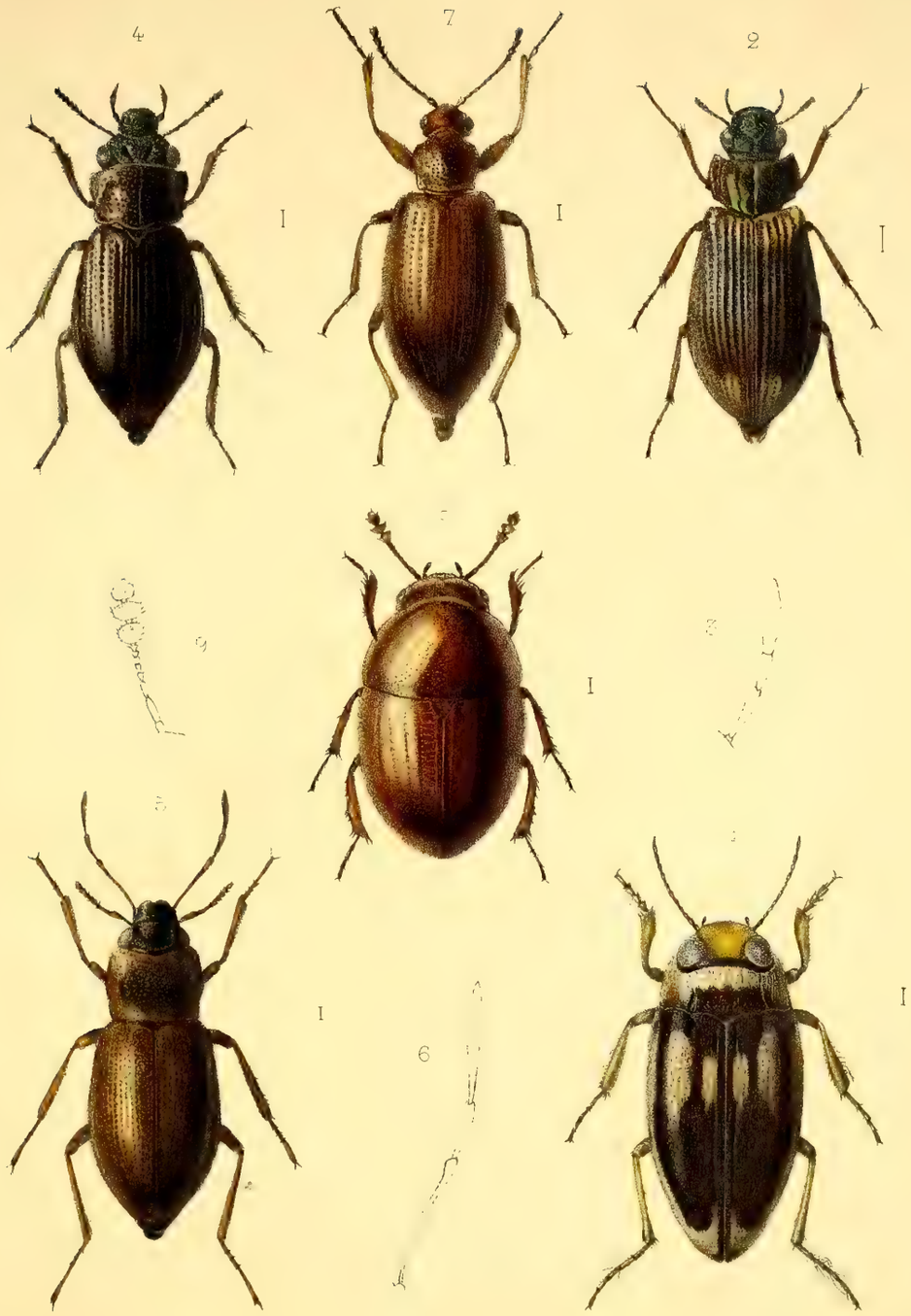

Vogue del. Herbert lith.

Dystiscides, Hydrophilides, Lathridiides, Liodides

Planche Ic[7]

Planche Ic[7].

Fig. 1. *Tachyporus Rothschildi* Rambousek.

Fig. 2. *Philonthus ustus*, v. *ustipennis* A. Fauvel.

Fig. 3. *Philonthus ustus*, v. *ustipennis* A. Fauvel, tête.

Fig. 4. *Philonthus imitator*, v. *biguttulus* A. Fauvel.

Fig. 5. *Philonthus imitator*, v. *biguttulus* A. Fauvel, tête et pronotum.

Fig. 6. *Philonthus pæderomimus* Eppelsh.

Fig. 7. *Philonthus pæderomimus* Eppelsh., tête et pronotum.

Fig. 8. *Pæderus duplex* Eppelsh.

Fig. 9. *Oxytelus planus* A. Fauvel.

Fig. 10. *Oxytelus planus* A. Fauvel, tête et pronotum.

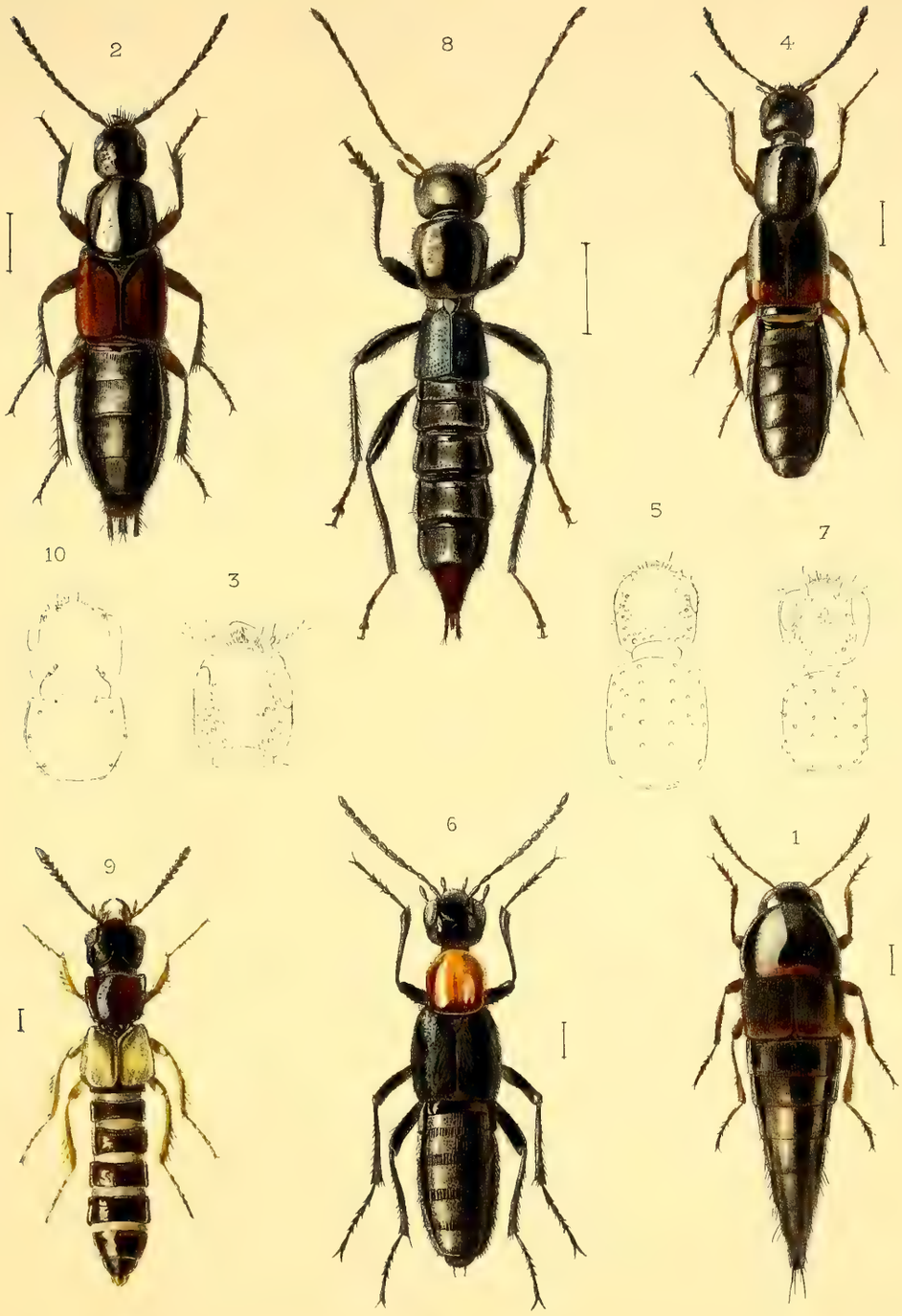

Vesque del Herbert lith.

Staphylinides

PLANCHE Ic[8]

PLANCHE Ic[8]

Fig. 1. *Adalia sexareata* Weise.

Fig. 2. *Solanophila Dregei*, var. *sellata* Sicard.

Fig. 3. *Solanophila Dregei*, var. *sellata* Sicard, profil.

Fig. 4. *Epilachna atra* Sicard.

Fig. 5. *Epilachna Rothschildi* Sicard.

Fig. 6. *Epilachna polymorpha* Gerst.

Fig. 7. *Epilachna polymorpha* Gerst. var.

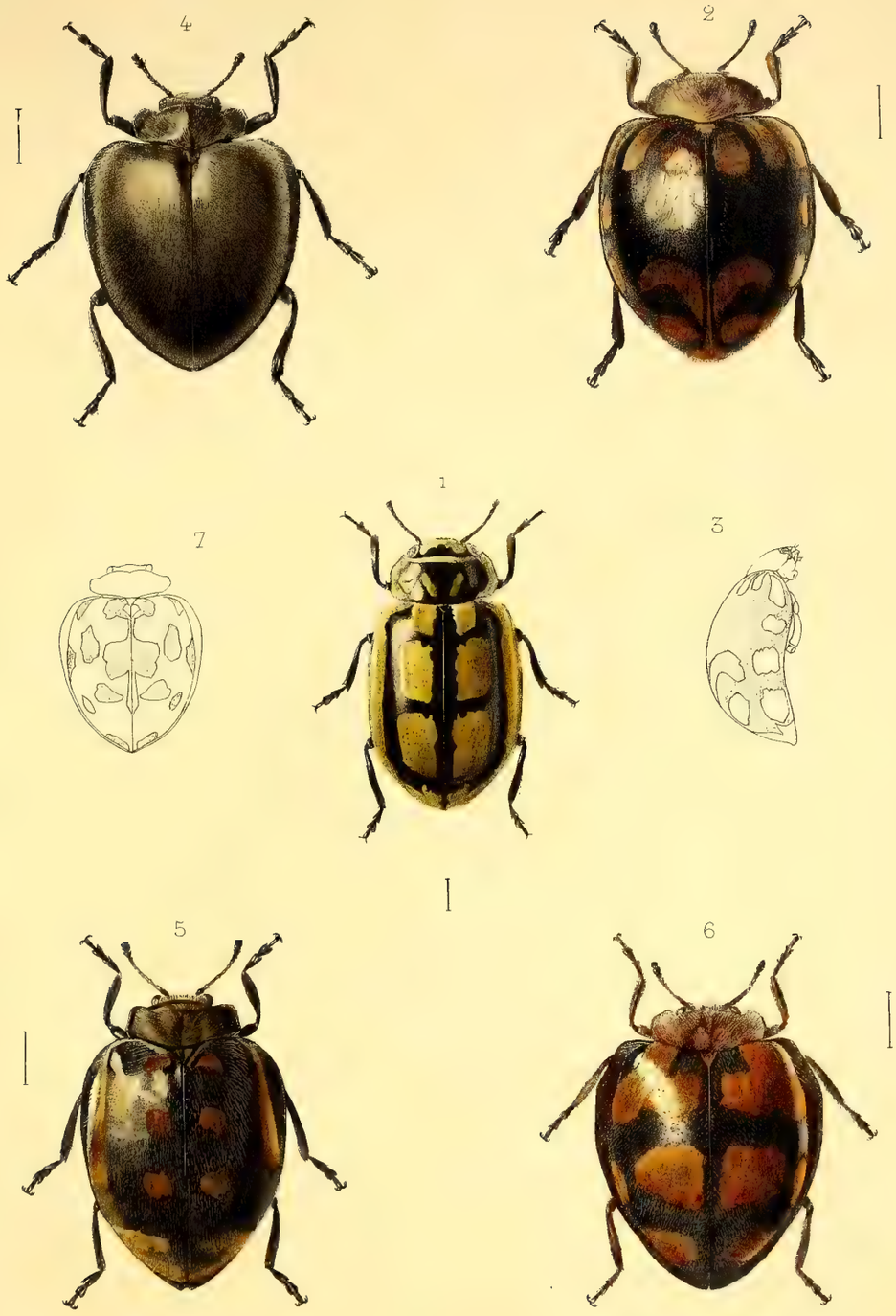

Vesque del. Herbert lith.

Coccinellides

Imp. J. Monrocq, Paris

PLANCHE Ic[9]

PLANCHE Ic[9].

Fig. 1. *Hedybius æthiopicus* Pic.

Fig. 2. *Hedybius æthiopicus* Pic, tête, de trois quarts.

Fig. 3. *Laïus latipennis* Pic.

Fig. 4. *Laïus latipennis* Pic, tête, de face.

Fig. 5. *Pseudocolotes Rothschildi* Pic.

Fig. 6. *Pseudocolotes Rothschildi* Pic, tête, de profil.

Fig. 7. *Pseudocolotes obscuriceps* Pic.

Fig. 8. *Pseudocolotes Anceyi* Ab. var, tête, de face.

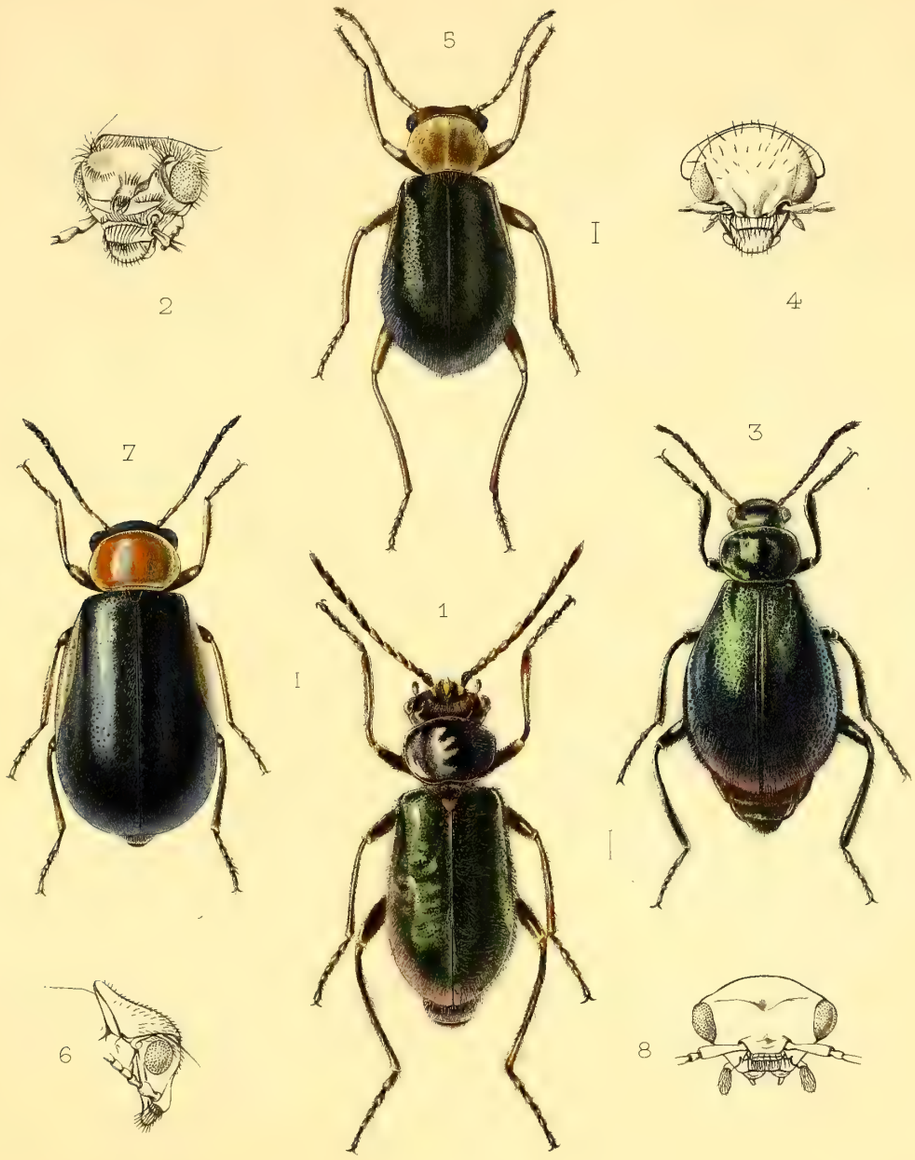

Vesque del Ch. Raboville sc

Malachiides

Imp J. Taneur

PLANCHE Ic[10]

PLANCHE Ic[10].

Fig. 1. *Bostrychoplites cornutus* Olivier, ♂.

Fig. 2. *Xylopertha picea* Olivier.

Fig. 3. *Apate indistincta* Murray, ♀.

Fig. 4. *Apate indistincta* Murray, tête, de trois quarts.

Fig. 5. *Apate indistincta* Murray, déclivité apicale des élytres.

Fig. 6. *Diplophorus tilloides* Fairmaire, ♂.

Fig. 7. *Trichodes lepidus* Walk.

Fig. 8. *Stigmatium obokianum* Fairmaire.

Fig. 9. *Corynetes analis* Klug.

Trottet & Vesque del. Herbert lith.

Bostrychides, Clérides

Imp. L. Lafontaine, Paris

PLANCHE Ic[11]

PLANCHE Ic[11].

Fig. 1. *Arthrodibius major* Lesne.

Fig. 2. *Arthrodibius major* Lesne, tête, de face.

Fig. 3. *Rhytinota prælonga* Reiche.

Fig. 4. *Rhytinota prælonga* Reiche, antenne.

Fig. 5. *Rhytinota prælonga* Reiche, patte antérieure.

Fig. 6. *Rhytinota stupida* Gerst.

Fig. 7. *Rhytinota stupida* Gerst, antenne.

Fig. 8. *Homalopsis Rothschildi* Lesne.

Fig. 9. *Homalopsis Rothschildi* Lesne, patte postérieure

Ténébrionides.

Imp. A. F. Duchatel Paris

PLANCHE Ic[12]

Planche Ic[12].

Fig. 1. *Lagria sexvittata* Gestro.

Fig. 2. *Lagria Rothschildi* Borchm.

Fig. 3. *Lagria cyanicollis* Borchm.

Fig. 4. *Lagria coriacea* Borchm.

Fig. 5. *Lagria convexa* Kolbe.

Fig. 6. *Lagria convexa* Kolbe, profil.

Lagriides.

Imp. E. Duchotel, Paris

PLANCHE Ic[13]

PLANCHE Ic[13].

Fig. 1. *Scraptia ugandensis* Pic.

Fig. 2. *Scraptia Rothschildi* Pic.

Fig. 3. *Scraptia nigrolimbata* Pic.

Fig. 4. *Hylophilus Caroli* Pic.

Fig. 5. *Coryna Rothschildi* Pic.

Fig. 6. *Coryna Rothschildi* Pic, profil.

Fig. 7. *Coryna Rothschildi* Pic, extrémité du tarse antérieur.

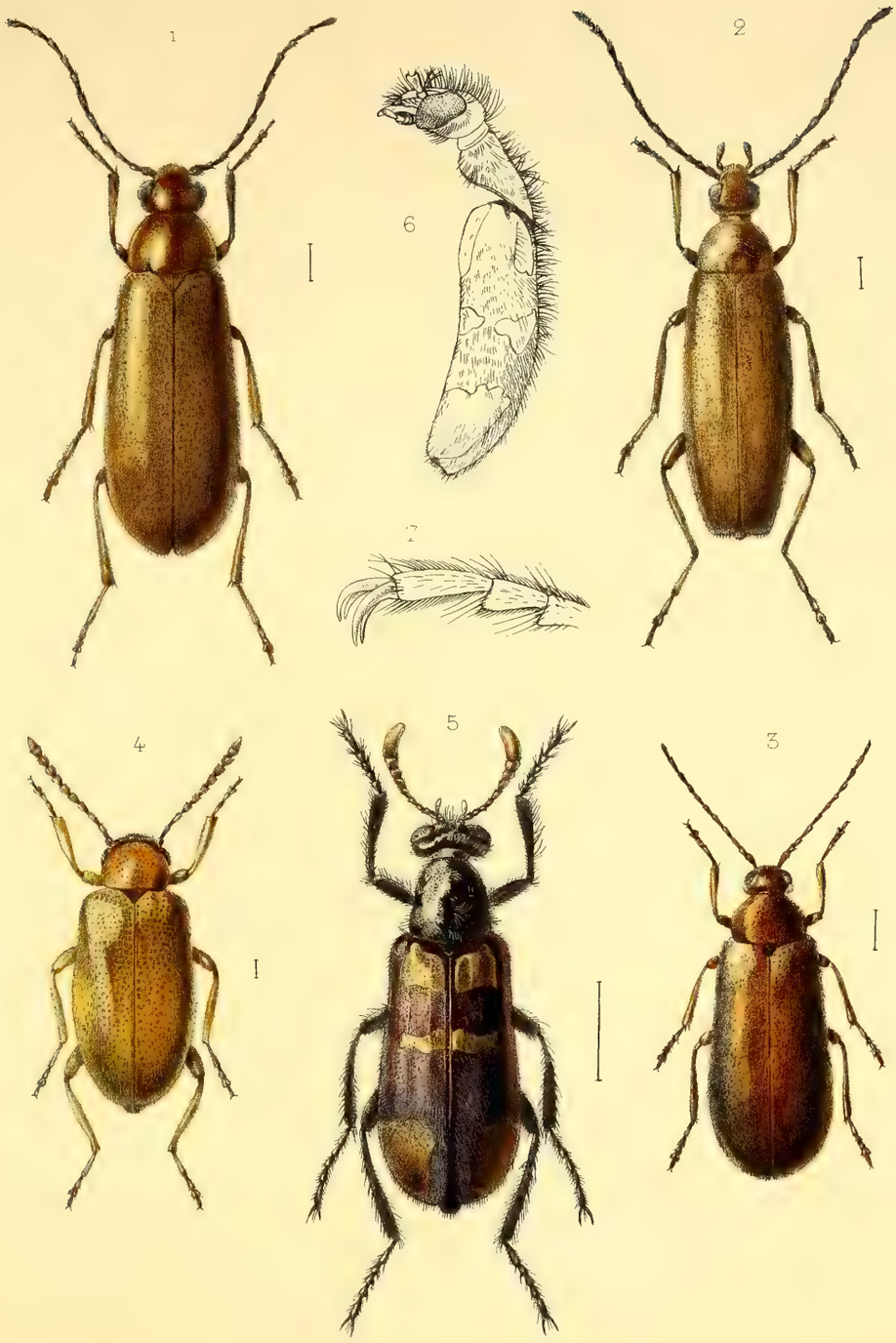

Vesque del. Herbert lith.

Scraptiides, Hylophilides, Méloïdes

Imp. L. Lafontaine, Paris

PLANCHE Ic[14]

PLANCHE Ic[14].

Fig. 1. *Notoxus Rothschildi* Pic.

Fig. 2. *Notoxus Rothschildi* Pic.

Fig. 3. *Formicomus curtipennis* Pic.

Fig. 4. *Anthicus æthiopicus* Pic.

Fig. 5. *Diegobruchus Mauritii* Pic.

Fig. 6. *Diegobruchus Mauritii* Pic, profil.

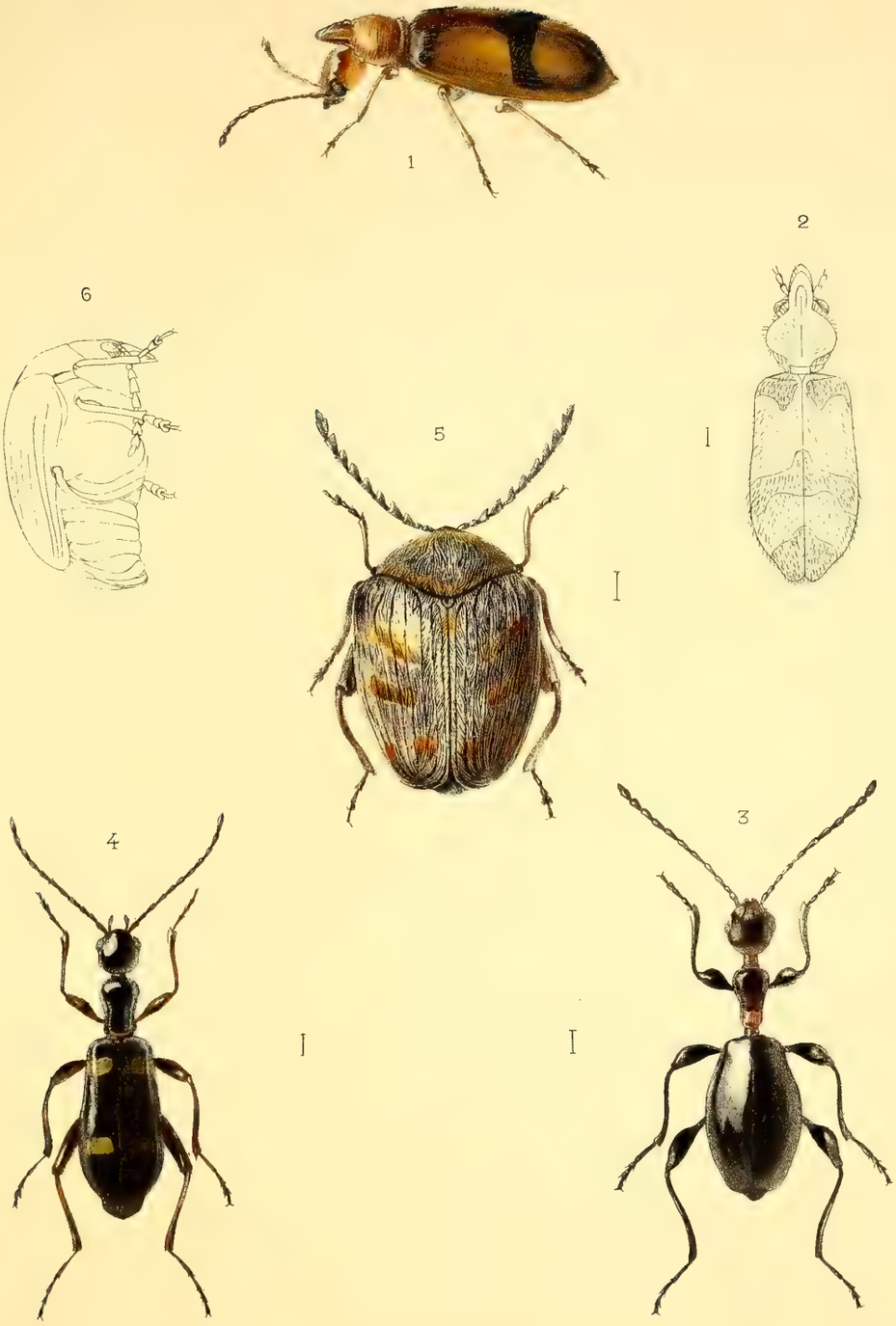

Vivaux del.

Herbert lith.

Anthicides, Lariides.

Imp. E. Duchatel Paris

PLANCHE Ic[15]

PLANCHE Ic[15].

Fig. 1. *Cryptocephalus Rothschildi* Jac.

Fig. 2. *Cryptocephalus Rothschildi* Jac., tête, vue de face.

Fig. 3. *Cryptocephalus Rothschildi* Jac., profil.

Fig. 4. *Oides funebris* Jac.

Fig. 5. *Sebæthe æthiopica* Jac.

Fig. 6. *Sebæthe æthiopica* Jac., tête, de face.

Fig. 7. *Longitarsus melancholicus* Jac.

Fig. 8. *Chætocnema abyssinica* Jac.

Fig. 9. *Chætocnema abyssinica* Jac., patte postérieure.

Visonne del.

Herbert lith.

Chrysomélides.

Imp. E. Duchatel Paris

Planche Ic[16]

Planche Ic[16].

Fig. 1. *Nisotra ornata* Jac.

Fig. 2. *Nisotra ornata* Jac., antenne.

Fig. 3. *Podagrica maculata* Weise.

Fig. 4. *Podagrica maculata* Weise, tibia et tarse postérieurs.

Fig. 5. *Nisotra nigriventris* Jac.

Fig. 6. *Haltica punctatissima* Jac.

Fig. 7. *Haltica Rothschildi* Jac.

Chrysomélides.

Planche Ic[17]

PLANCHE Ic[17].

Fig. 1. *Prosmidia trifasciata* Allard.

Fig. 2. *Exosoma ugandensis* Jac.

Fig. 3. *Prosmidia suturalis* Jac.

Fig. 4. *Prosmidia suturalis* Jac., vu de trois quarts.

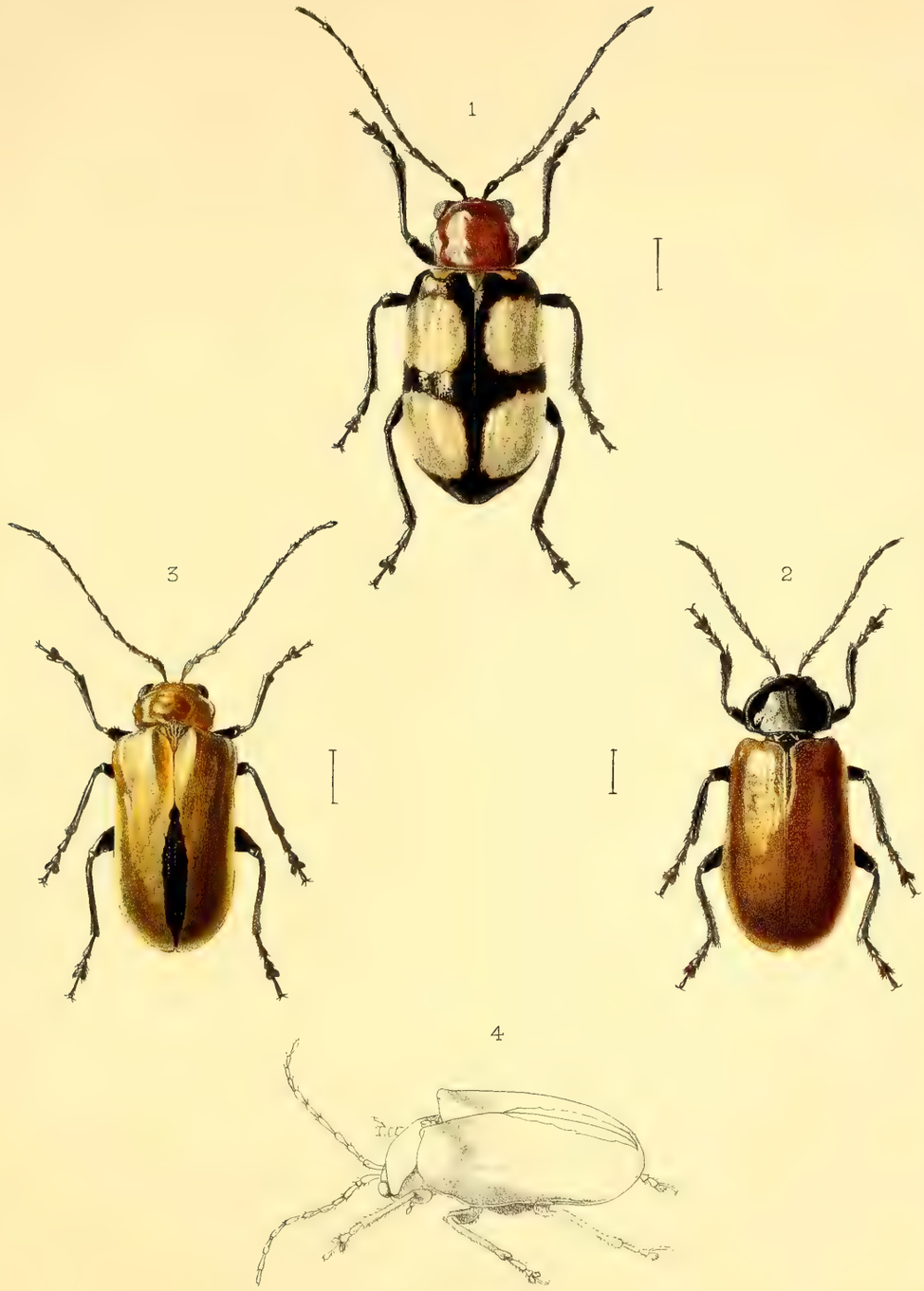

Chrysomélides.

Planche Ic[18]

PLANCHE Ic[18].

Fig. 1. *Onthophagus armicollis* H. d'Orbigny, ♂.

Fig. 2. *Onthophagus viridiceps* H. d'Orbigny.

Fig. 3. *Onthophagus viridiceps* H. d'Orbigny, ♂.

Fig. 4. *Onthophagus viridiceps* H. d'Orbigny, ♀.

Fig. 5. *Onthophagus mixtifrons* H. d'Orbigny, ♂.

Fig. 6. *Onthophagus mixtifrons* H. d'Orbigny, ♂.

Fig. 7. *Onthophagus mixtifrons* H. d'Orbigny, ♀.

Vesque del. Herbert lith.

Onthophagines

Imp. L. Lafontaine, Paris

PLANCHE Ic[19]

PLANCHE Ic[19].

Fig. 1. *Onthophagus violaceus* H. d'Orbigny, ♂.

Fig. 2. *Onthophagus violaceus* H. d'Orbigny, ♂, profil.

Fig. 3. *Onthophagus extensicollis* H. d'Orbigny.

Fig. 4. *Onthophagus bimetallicus* H. d'Orbigny, ♀.

Fig. 5. *Milichus jugatus* H. d'Orbigny.

Fig. 6. *Milichus jugatus* H. d'Orbigny, tête, de face.

Fig. 7. *Onthophagus geminatus* H. d'Orbigny.

Fig. 8. *Onthophagus geminatus* H. d'Orbigny, tête du ♂, de face.

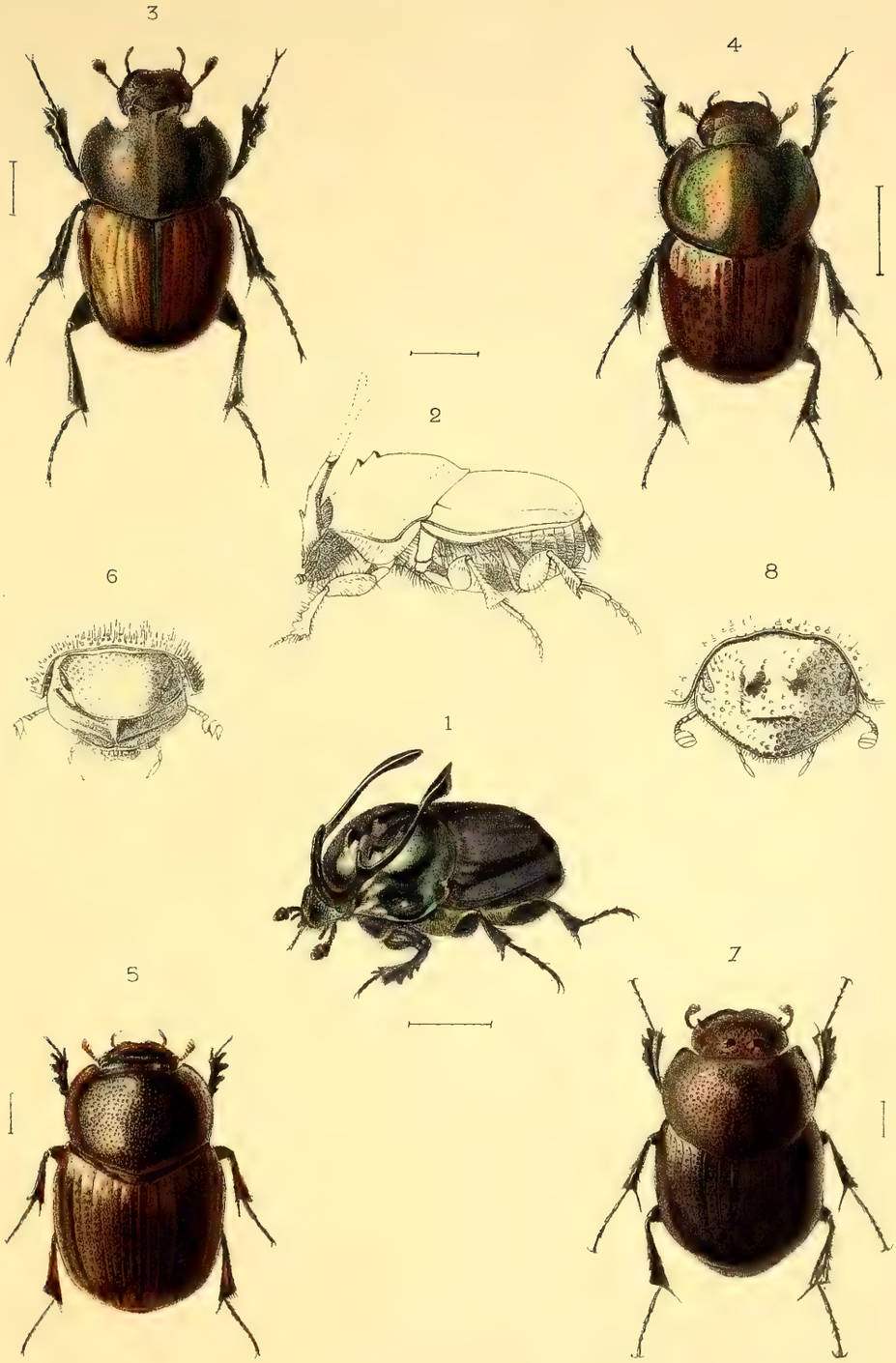

Vessier ins. Herbert lith.

Onthophagines.

Imp. E. Duchatel Paris

PLANCHE Ic[20]

PLANCHE Ic[20].

Fig. 1. *Eudicella Bertherandi* Fairmaire, ♂.

Fig. 1 *a*. *Eudicella Bertherandi* Fairmaire, profil de l'avant-corps.

Fig. 2. *Eudicella Bertherandi* Fairmaire, ♀.

Fig. 3. *Cœlorrhina cornuta* Heath, ♂.

Fig. 3 *a*. *Cœlorrhina cornuta* Heath, profil de l'avant-corps.

Fig. 4. *Cœlorrhina cornuta* Heath, ♀.

Fig. 5. *Pachnoda ephippiata* Gerst.

Fig. 6. *Pachnoda ephippiata* Gerst.

Fig. 7. *Pachnoda ephippiata* Gerst.

Fig. 8. *Pachnoda ephippiata* Gerst., var.

A. Millot del.

A. Millot sc

Cétoniines

Imp. F. Deshais, Paris

PLANCHE Ic[21]

PLANCHE Ic[21].

Fig. 1. *Scarabæus platynotus* Bates.

Fig. 2. *Onitis granicollis* Felsche, ♀.

Fig. 3. *Onitis granicollis* Felsche, ♀, tête, de face.

Fig. 4. *Onitis granicollis* Felsche, ♀, patte postérieure.

Fig. 5. *Orphnus nyassicus* Kolbe.

Fig. 6. *Orphnus nyassicus* Kolbe, vue dorsale.

Fig. 7. *Orphnus nyassicus* Kolbe, patte postérieure.

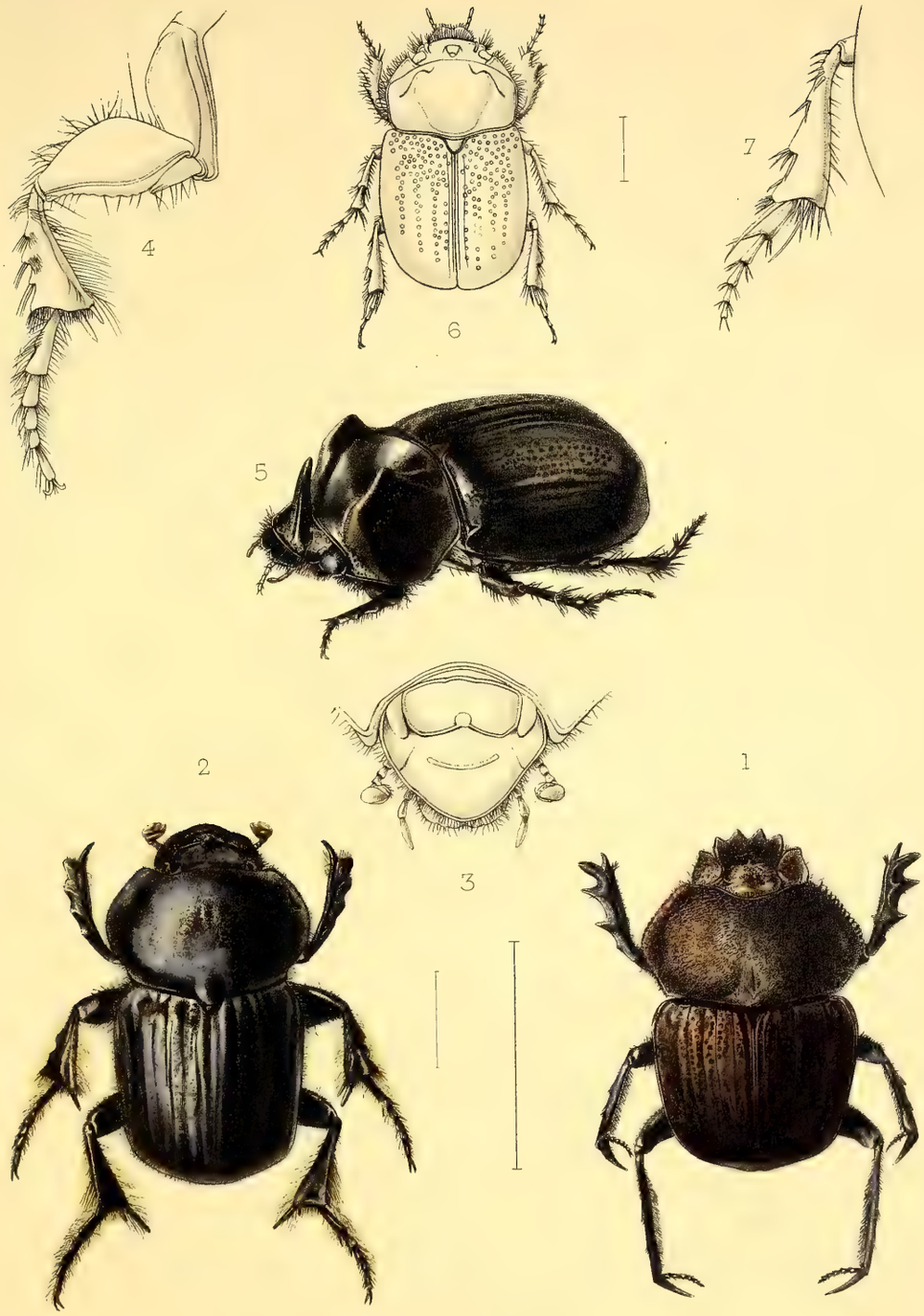

Vesque del Ch. Raboulle sc.

Scarabéides

Imp. J. Taneur

PLANCHE Ic[22]

PLANCHE Ic[22].

Fig. 1. *Demagogus Donaldsoni* Jordan, ♂.

Fig. 2. *Demagogus Donaldsoni* Jordan, ♂, avant-corps, de face.

Fig. 3. *Demagogus Donaldsoni* Jordan, ♀.

Fig. 4. *Pseudhammus Rothschildi* Gahan.

Fig. 5. *Paridactus tarsalis* Gahan.

Fig. 6. *Eunidia mixta* Gahan.

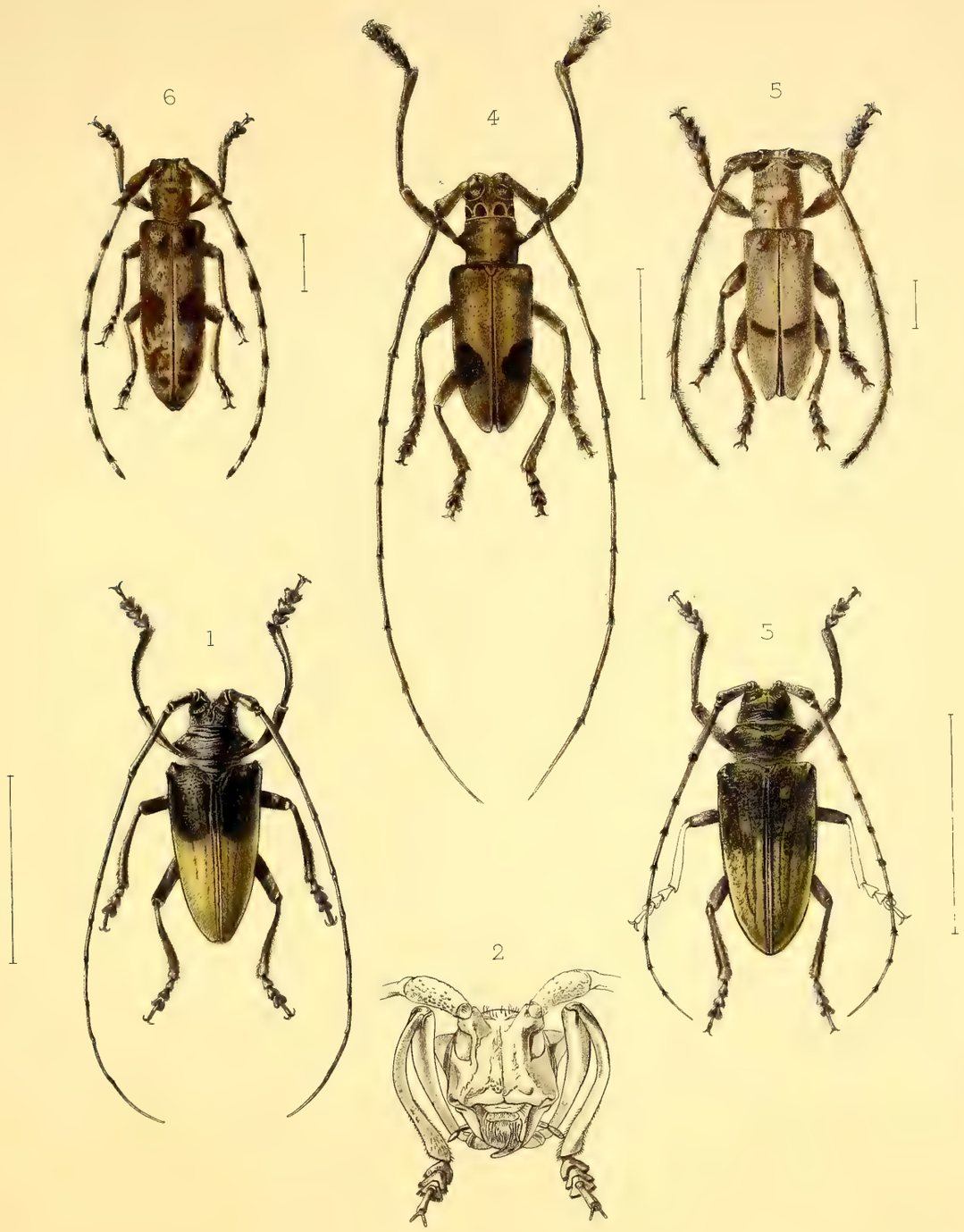

Vesque del. Ch. Rabouille sc

Cérambycides

Imp J. Tanoux

PLANCHE Ic[23]

PLANCHE Ic[23].

Fig. 1. *Sternocera Boucardi*, var. *Rothschildi* Théry, profil.

Fig. 2. *Sternocera Boucardi*, var. *Rothschildi* Théry, vue dorsale.

Fig. 3. *Neojulodis Rothschildi* Théry.

Fig. 4. *Neojulodis Rothschildi* Théry, profil.

Fig. 5. *Agelia Ragazzii* Gestro.

Fig. 6. *Asamia insolita* Théry.

Fig. 7. *Asamia insolita* Théry, dessous du corps, partie antérieure.

Fig. 8. *Lampetis confossipennis*, var. *microstucta* Théry.

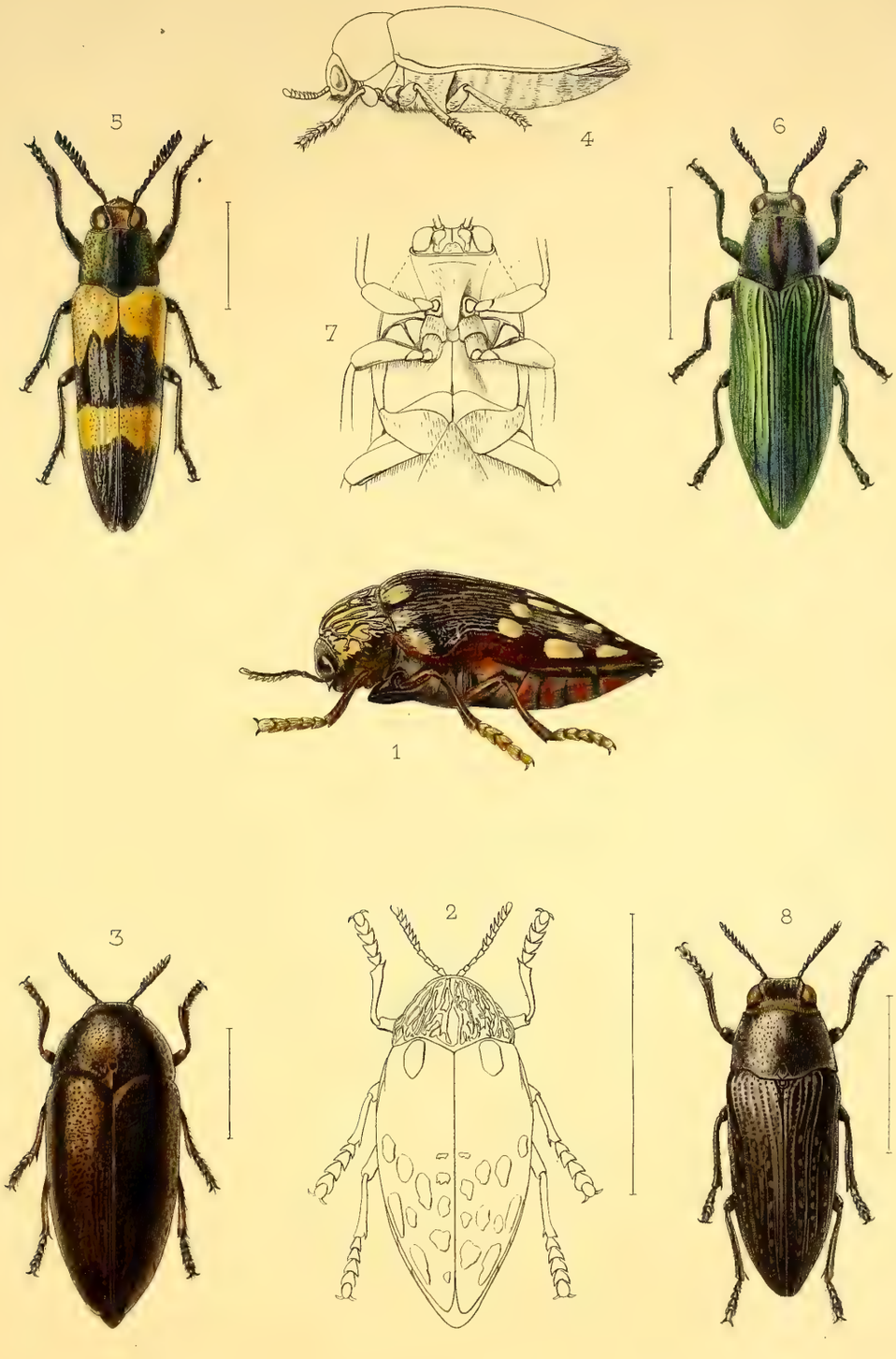

Vesque del Ch. Rabouille sc

Buprestides

Imp. J. Tanew

PLANCHE Ic[24]

PLANCHE Ic^{24}.

Fig. 1. *Damarsila cupricollis* Kerr.

Fig. 2. *Damarsila Gestroi* Kerr.

Fig. 3. *Damarsila placida* Boh.

Fig. 4. *Sphenoptera* (*Hoplistura*) *Rothschildi* Théry.

Fig. 5. *Sphenoptera* (*Hoplistura*) *Rothschildi* Théry, patte intermédiaire.

Fig. 6. *Sphenoptera* (*Hoplistura*) *Rothschildi* Théry, patte postérieure.

Fig. 7. *Agrilomorpha Rothschildi* Théry.

Fig. 8. *Janthe lævis* Kerr.

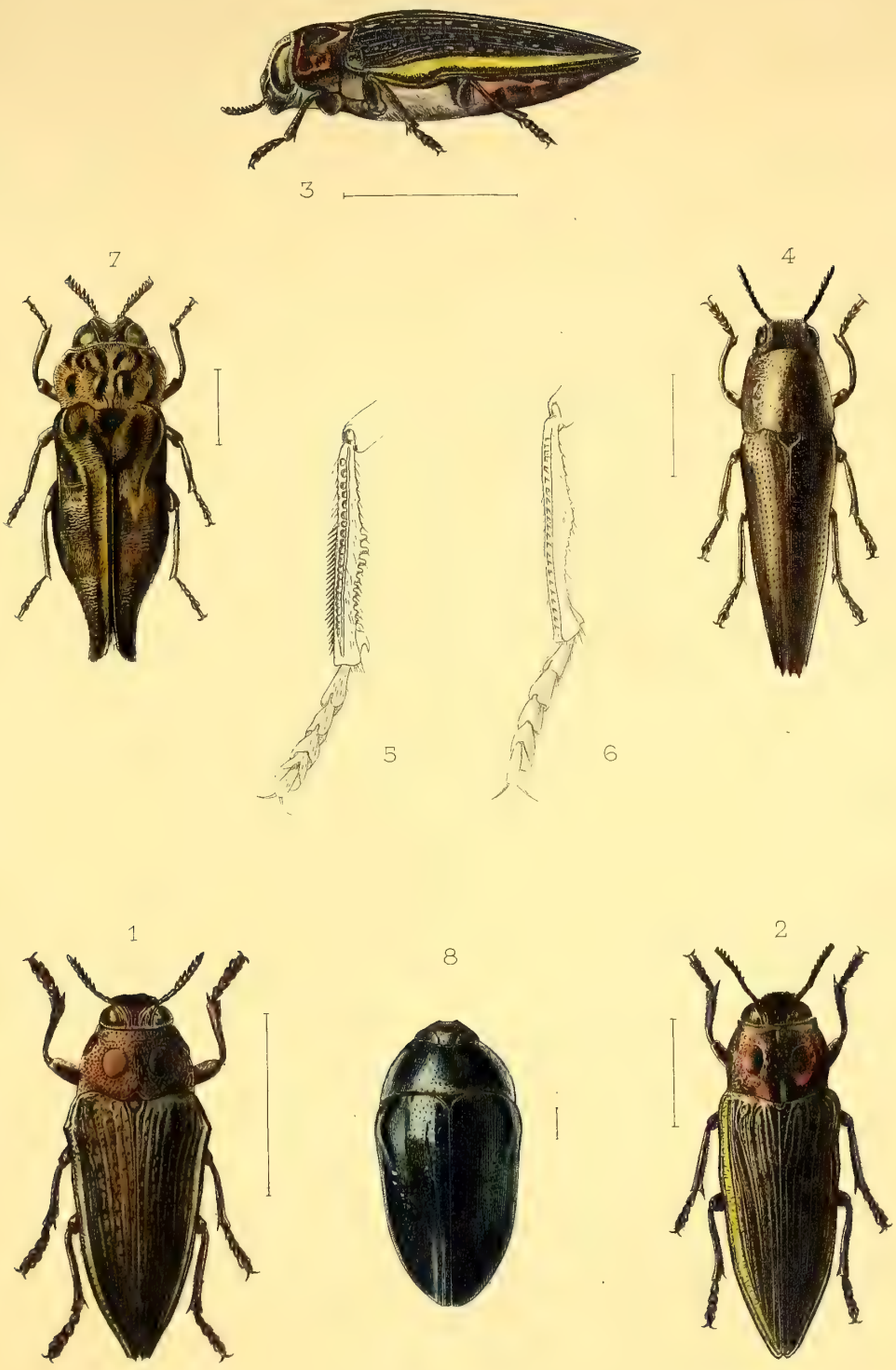

Vesque del.

Ch. Raboulle sc

Buprestides

Imp. Lemercier

Planche Ic[25]

PLANCHE Ic[25].

Fig. 1. *Brachycerus batrachus* Gerst.

Fig. 2. *Brachycerus batrachus* Gerst., avant-corps, de trois quarts.

Fig. 3. *Brachycerus Rothschildi* Auriv.

Fig. 4. *Brachycerus Rothschildi* Auriv., avant-corps, de trois quarts.

Fig. 5. *Brachycerus Rothschildi* Auriv., élytres, vus d'arrière.

Fig. 6. *Brachycerus Rudolphi* Auriv.

Fig. 7. *Brachycerus Rudolphi* Auriv., avant-corps, de trois quarts.

Curculionides

Planche Ic[26]

Planche Ic[26].

Fig. 1. *Blosyrus rugulosus* Auriv.

Fig. 2. *Systates bituberosus* Auriv.

Fig. 3. *Systates bituberosus* Auriv., profil.

Fig. 4. *Systates Rothschildi* Auriv.

Fig. 5. *Systates vittatus* Auriv.

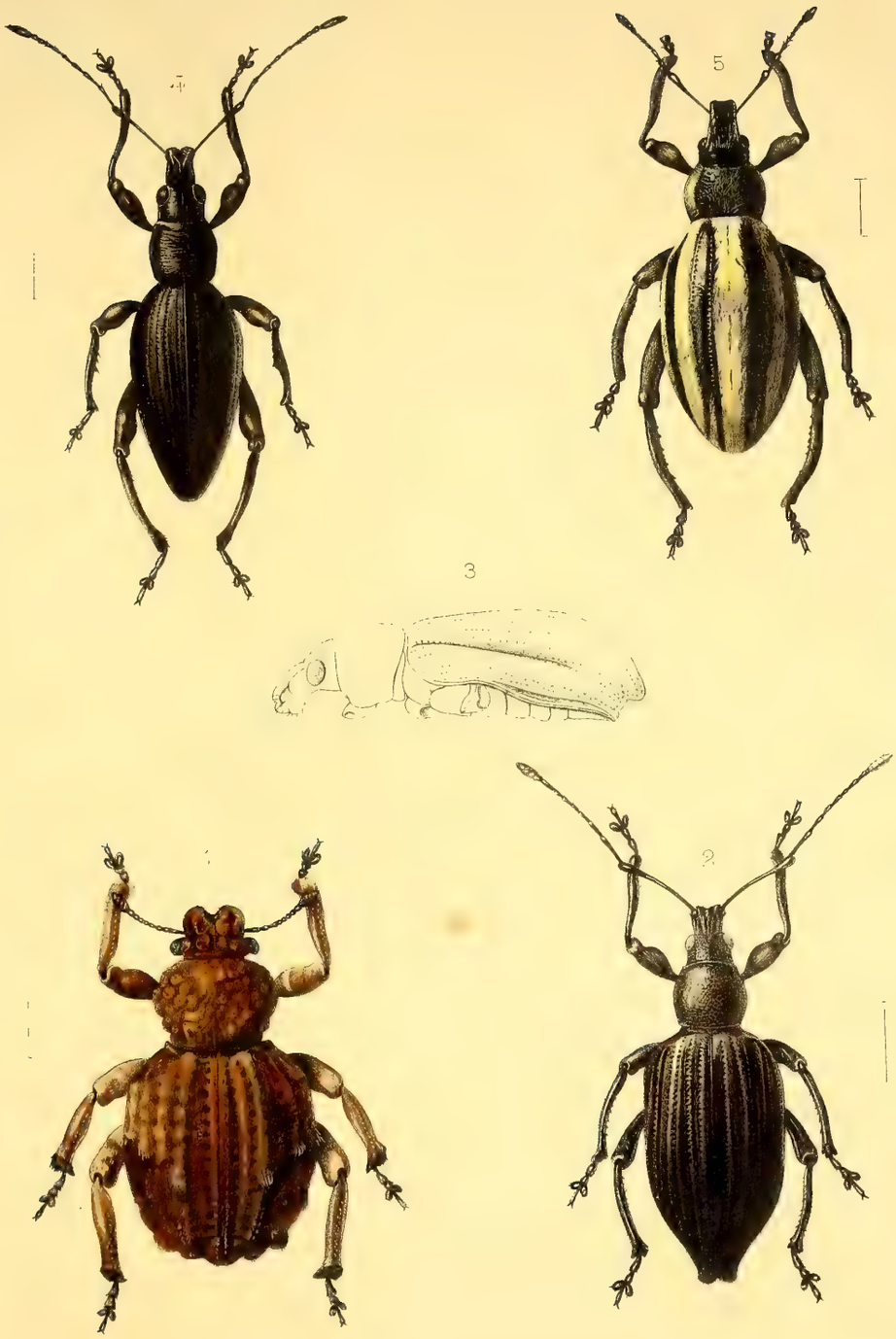

Vesoue del.

Curculionides

Sc. F. Pachate, Paris

PLANCHE Ic[27]

PLANCHE Ic[27].

Fig. 1. *Systates opacus* Auriv.

Fig. 2. *Systates striolatus* Auriv.

Fig. 3. *Systates assimilis* Auriv.

Fig. 4. *Systates variegatus* Auriv.

Fig. 5. *Systates depressus* Auriv.

Curculionides

Planche Ic[28]

PLANCHE Ic[28].

Fig. 1. *Systates densepunctatus* Auriv.

Fig. 2. *Ischnobrotus nebulosus* Auriv.

Fig. 3. *Myllocerus tessellatus* Auriv.

Fig. 4. *Myllocerus niger* Auriv.

Fig. 5. *Myllocerus viridis* Auriv.

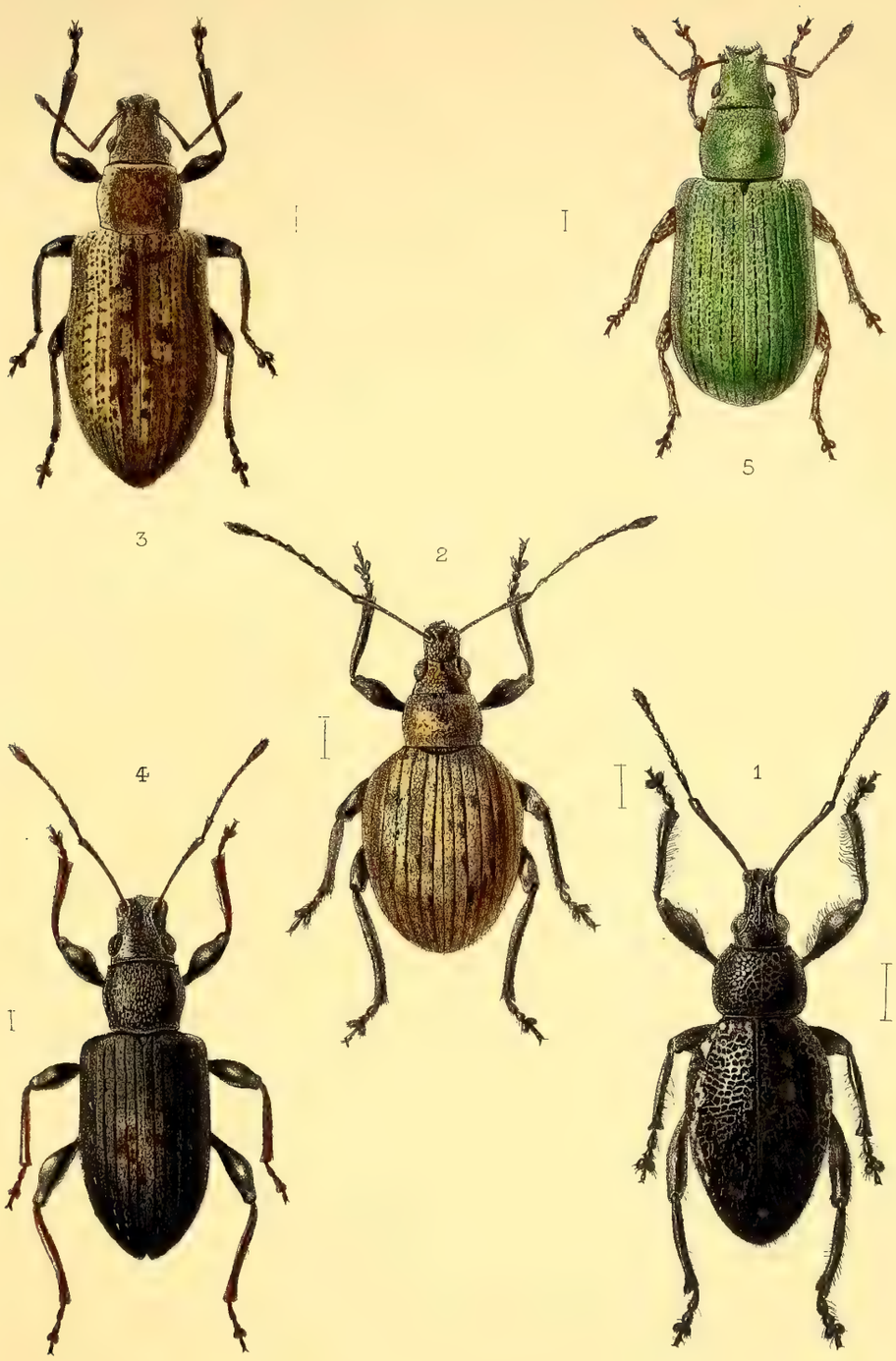

Vesque del. Herbert Lith.

Curculionides

Imp. E. Duchatel. Paris

PLANCHE Ic[29]

PLANCHE Ic[29].

Fig. 1. *Systates obesus* Auriv.

Fig. 2. *Hipporhinus tenuegranosus* Fairmaire.

Fig. 3. *Hipporhinus tenuegranosus* Fairmaire, tête, de trois quarts.

Fig. 4. *Lecanophora bifoveata* Auriv.

Fig. 5. *Eumecops lutulentus* Fairmaire.

Fig. 6. *Eumecops lutulentus* Fairmaire, tête, de trois quarts.

Fig. 7. *Larinus abyssinicus* Auriv.

Fig. 8. *Pentarthrum* sp.

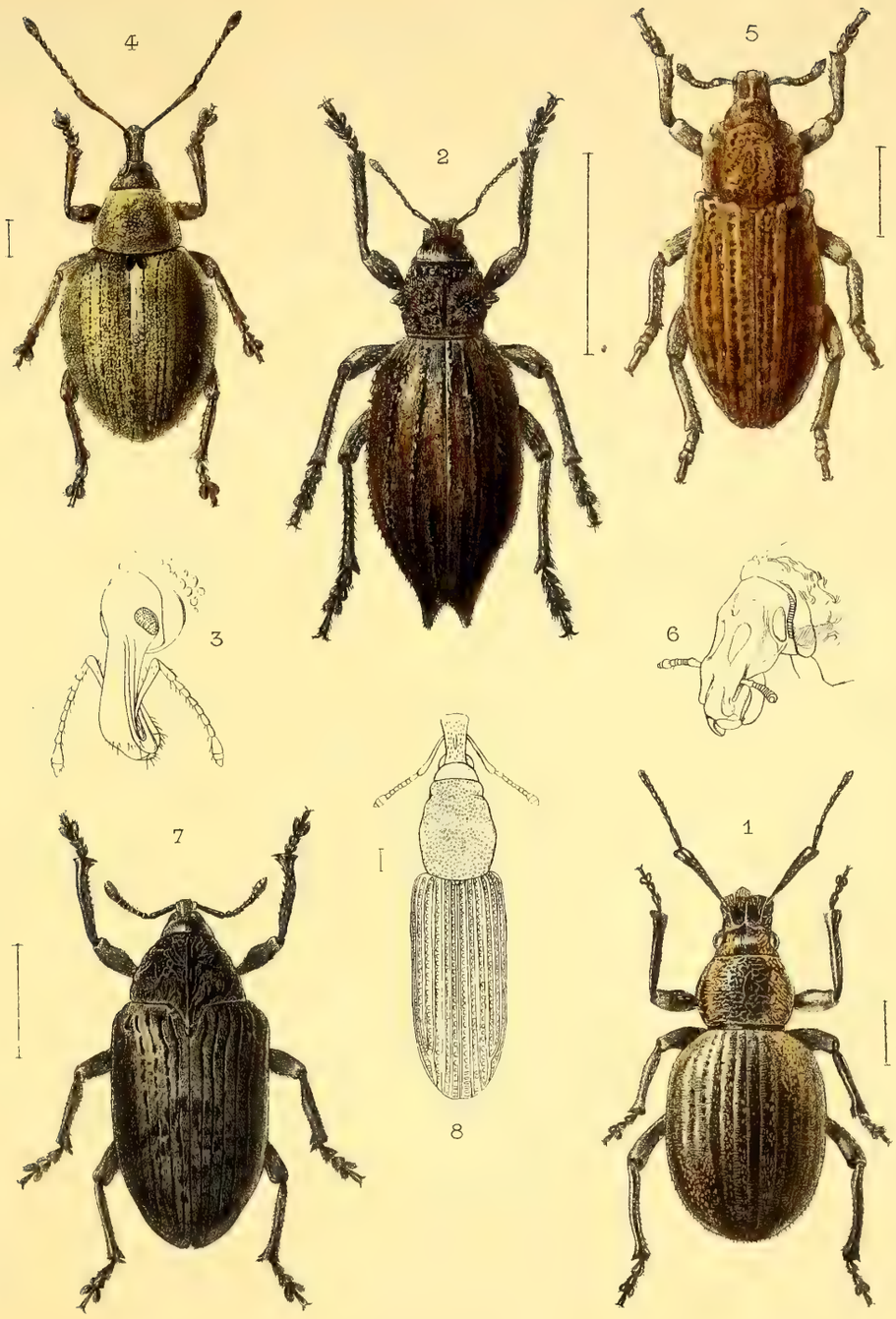

Vesque del. Herbert lith.

Curculionides.

Imp. E. Duchaïel Paris.

Planche Ic[30]

PLANCHE Ic[30].

Fig. 1. *Luxus Rothschildi* Auriv.

Fig. 2. *Alcides quinquesignatus* Auriv.

Fig. 3. *Ocladius tricarinatus* Auriv.

Fig. 4. *Baris latevittata* Auriv.

Fig. 5. *Baris latevittata* Auriv., tête, de profil.

Vosque del

Curculionides

Imp E Durnatel Paris

PLANCHE Ic[31]

PLANCHE Ic[31].

Fig. 1. *Lycus Rothschildi* J. Bourgeois, ♂.

Fig. 2. *Lycus Rothschildi* J. Bourgeois, ♂, vu de trois quarts.

Fig. 3. *Sphindus rendilianus* Lesne.

Fig. 4. *Sphindus rendilianus* Lesne, antenne.

Fig. 5. *Lyctus africanus* Lesne.

Fig. 6. *Sisyphus tibialis* Raffray, ♂.

Fig. 7. *Sisyphus tibialis* Raffray, ♂, vu de profil.

Fig. 8. *Sisyphus tibialis* Raffray, ♂, patte intermédiaire.

Fig. 9. *Sisyphus tibialis* Raffray, ♂, patte postérieure.

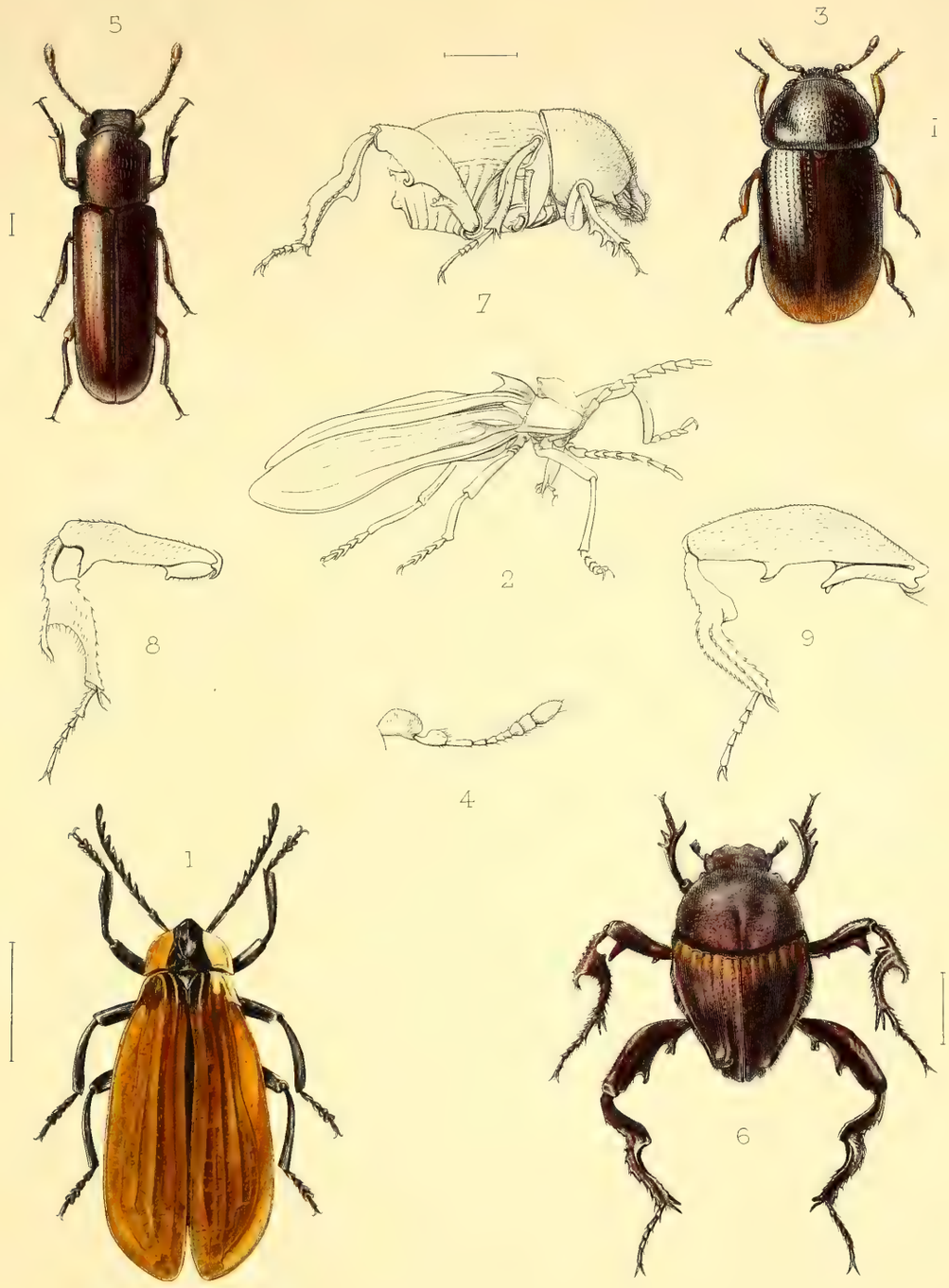

Vesque del. Ch. Rabé

Lycides, Sphindides, Lyctides, Scarabéides

Imp. Tirant

PLANCHE Ic[32]

PLANCHE Ic[32].

Fig. 1. *Aphodius Rothschildi* Schmidt.

Fig. 2. *Aphodius Lesnei* Schmidt.

Fig. 3. *Didactylia pictipennis* Fairmaire.

Fig. 4. *Rhyssemus Rothschildi* Bénard.

Fig. 5. *Rhyssemus Rothschildi* Bénard, dessous.

Fig. 6. *Rhyssemus Rothschildi* Bénard, tête, de face.

Fig. 7. *Rhyssemus Rothschildi* Bénard, avant-corps, de profil.

Fig. 8. *Rhyssemus Rothschildi* Bénard, avant-corps, de dessus.

Fig. 9. *Rhyssemus granosus* Klug.

Fig. 10. *Rhyssemus granosus* Klug, avant-corps, de profil.

Aphodiines

Imp. E. Duchatel, Paris

PLANCHE Ic[33]

PLANCHE Ic[33].

Fig. 1. *Diodontes subscutellatus* Lesne.

Fig. 2. *Diodontes subscutellatus* Lesne, tête, vue de face.

Fig. 3. *Diodontes subscutellatus* Lesne, profil du corps.

Fig. 4. *Himatismus Pavesii* Gestro.

Fig. 5. *Himatismus Pavesii* Gestro, antenne.

Fig. 6. *Himatismus eclavatus* Lesne.

Fig. 7. *Himatismus eclavatus* Lesne, antenne.

Fig. 8. *Himatismus maculisparsus* Lesne.

Fig. 9. *Himatismus maculisparsus* Lesne, antenne.

Fig. 10. *Mesostenopa Kirki* Ancey.

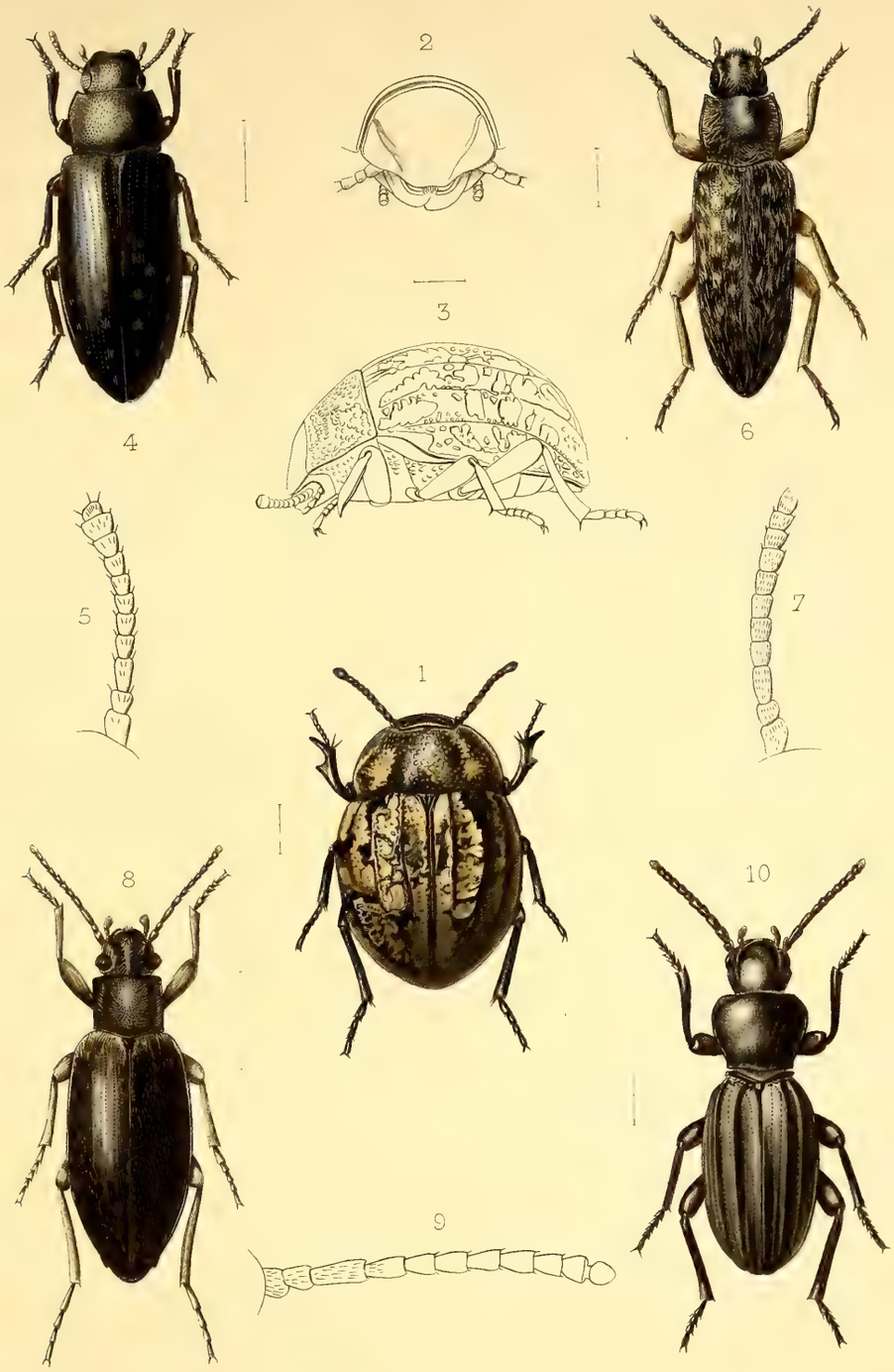

Ténébrionides

Imp. J. Taneur

PLANCHE Ic[34]

PLANCHE Ic[34].

Fig. 1. *Rhytinota gracilis* Gerst.

Fig. 2. *Rhytinota gracilis* Gerst, avant-corps, vu de profil

Fig. 3. *Rhytinota gracilis* Gerst, antenne.

Fig. 4. *Pogonobasis cognata* Lesne.

Fig. 5. *Pogonobasis cognata* Lesne, antenne.

Fig. 6. *Eurychora pauperata* Lesne.

Fig. 7. *Eurychora pauperata* Lesne, antenne.

Fig. 8. *Peristeptus conformis* Lesne.

Fig. 9. *Lycanthropa quadrata* Fairmaire.

Fig. 10. *Phrynocolus crispatus* Fairmaire.

Vesque del.

G.H. Fritz Lith.

Ténébrionides

Imp. E. Duchatel. Paris

PLANCHE Ic[35]

PLANCHE Ic[35].

Fig. 1. *Psammodes naivashanus* Lesne.

Fig. 2. *Psammodes naivashanus* Lesne, antenne.

Fig. 3. *Psammodes rubrolineatus* Lesne.

Fig. 4. *Psammodes catenatus duodecimcostatus* Lesne.

Fig. 5. *Psammodes terrenus* Lesne.

Fig. 6. *Psammodes terrenus* Lesne, antenne.

Fig. 7. *Psammodes gurannicus* Lesne.

Fig. 8. *Psammodes catenatus* Reiche.

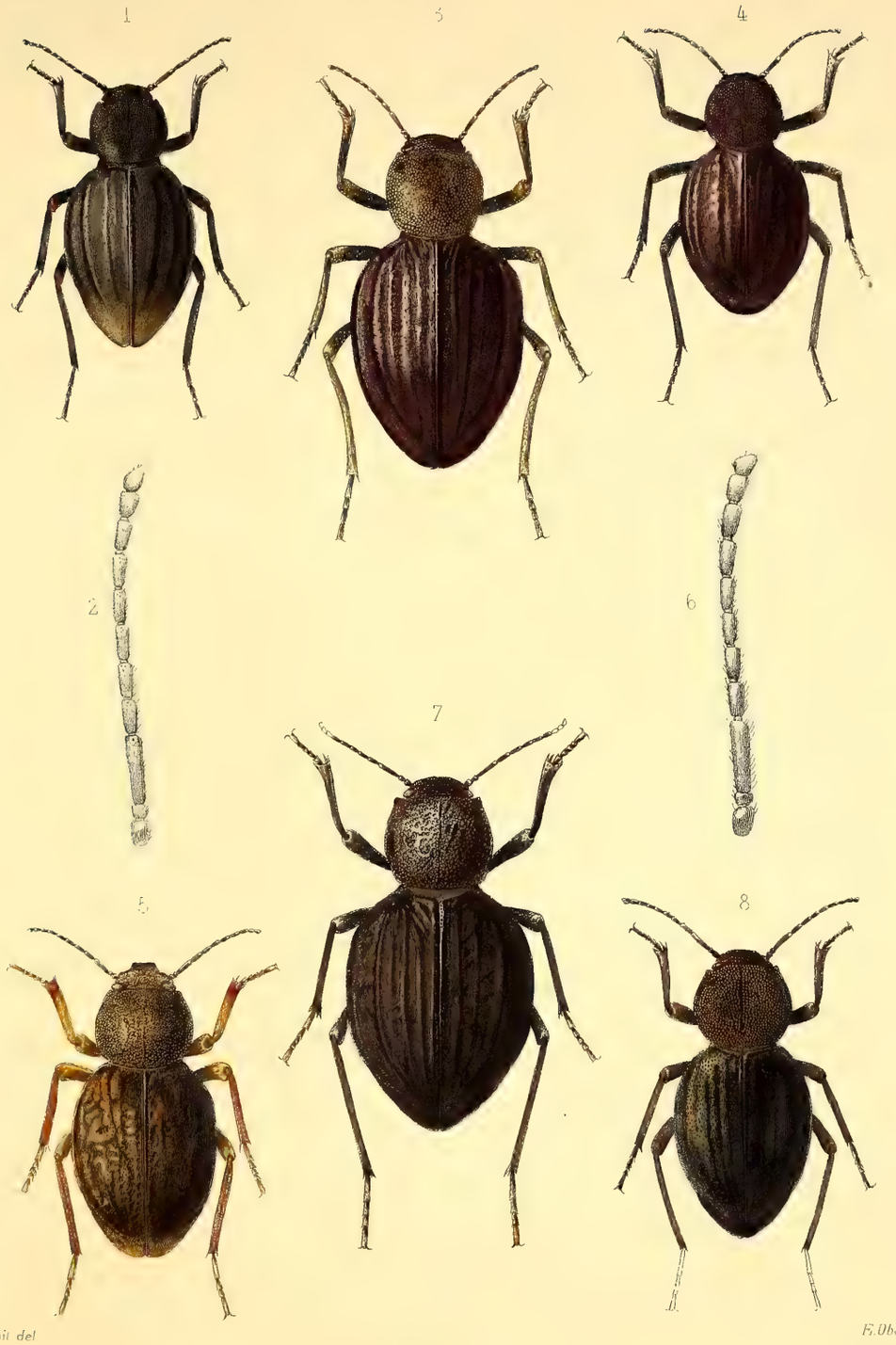

L. Houdrait del. E. Oberlin lith.

Molurini : Psammodes.

Imp. E. Duchatel Paris

PLANCHE Ic[36]

PLANCHE Ic[36].

Fig. 1. *Vieta rendiliana* Lesne.

Fig. 2. *Vieta rendiliana* Lesne, avant-corps, de profil.

Fig. 3. *Vieta subcaudata* Lesne.

Fig. 4. *Vieta subcaudata* Lesne, avant-corps, de profil.

Fig. 5. *Vieta robusta* Lesne.

Fig. 6. *Vieta robusta* Lesne, avant-corps, de profil.

Fig. 7. *Vieta angustula* Lesne.

Fig. 8. *Vieta angustula* Lesne, avant-corps, de profil.

Fig. 9. *Vieta ovalis* Allard.

Fig. 10. *Vieta ovalis* Allard, avant-corps, de profil.

Fig. 11. *Vieta tuberosa* Fairmaire.

Fig. 12. *Vieta tuberosa* Fairmaire, avant-corps, de profil.

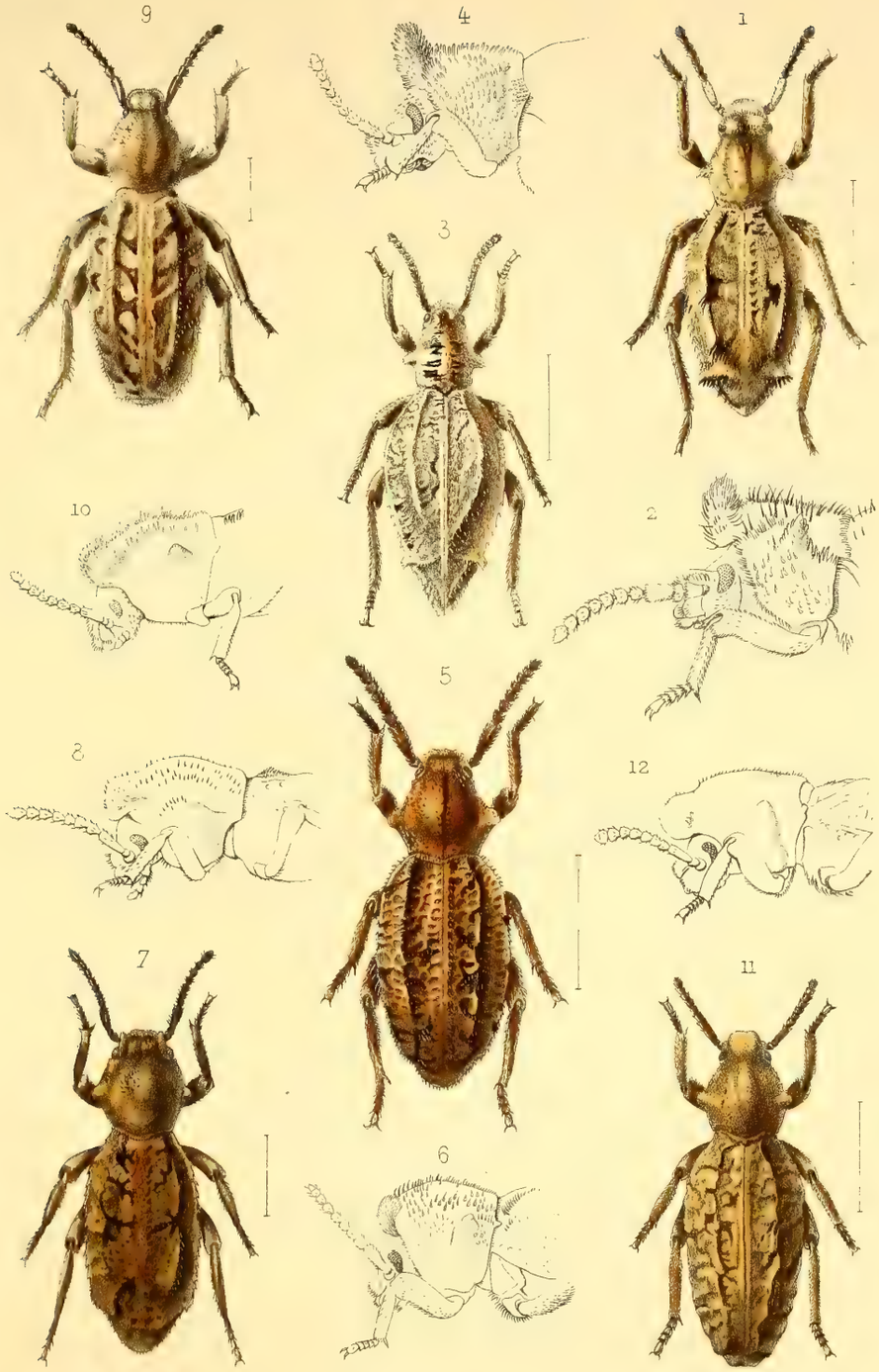

Vesque del. *E. Oberlin lith*

Sépidiines

Imp. E. Duchatel Paris.

PLANCHE Ic[37]

PLANCHE Ic[37].

Fig. 1. *Pimelia Hildebrandti* Fairmaire.

Fig. 2. *Selinus femineus* Lesne, ♀.

Fig. 3. *Selinus modestus* Lesne.

Fig. 4. *Anchophtalmus variabilis* Gebien.

Fig. 5. *Pachypterus abyssinicus* Lesne, ♂.

Bondr it et Vesqu

Tenebrionides

Imp E Duchatel Paris

PLANCHE Ic[38]

PLANCHE Ic[38].

Fig. 1. *Cydonia posticalis* Fairmaire.

Fig. 2. *Cydonia posticalis* Fairmaire, tête et pronotum, vus de face.

Fig. 3. *Epilachna retigera* Sicard.

Fig. 4. *Platynaspis sexguttata* Sicard.

Fig. 5. *Pseudocrania basalis* Jacoby, mâle.

Fig. 6. *Pseudocrania basalis* Jacoby, femelle.

Fig. 7. *Haltica abyssinica* Jacoby.

Fig. 8. *Haltica abyssinica* Jacoby, antenne.

Fig. 9. *Haltica abyssinica* Jacoby, patte antérieure.

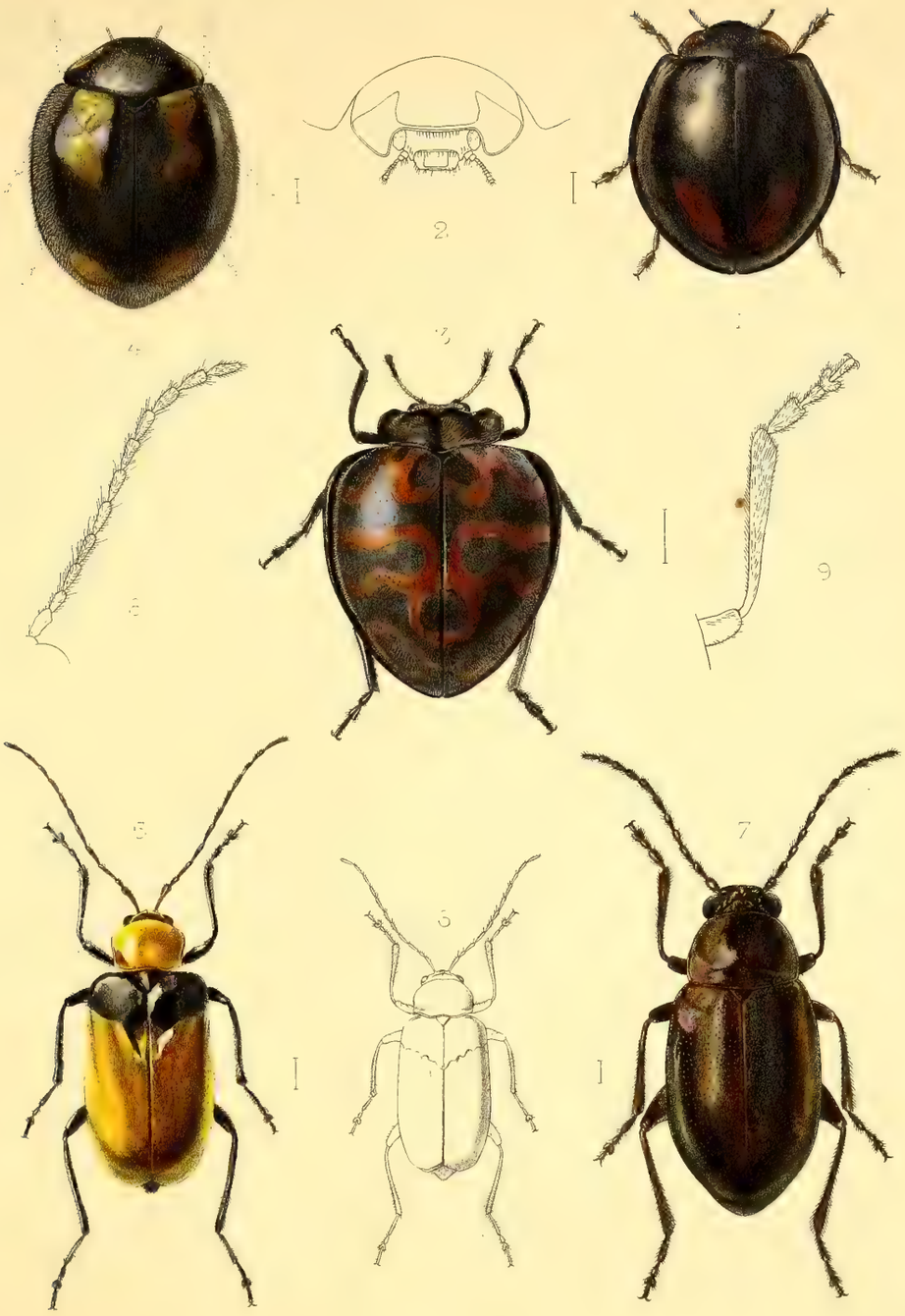

Coccinellides, Chrysomélides

Imp. E. Duchatel. Paris

PLANCHE Ic[39]

PLANCHE Ic[39].

Fig. 1. *Styphloderma asperata Schaumi* W. Horn.

Fig. 2. *Omophron Rothschildi* Alluaud.

Fig. 3. *Chlænius trichrous* Alluaud.

Fig. 4. *Chlænius xanthomerus* Alluaud.

Fig. 5. *Chlænius fulvosignatus digraphus* Alluaud.

Vesque del.

F. Thurpenos sc.

Cicindélides, Carabides

PLANCHE Ic[40]

PLANCHE Ic[40].

Fig. 1. *Scarites rhathymus* Alluaud.

Fig. 2. *Calathus æthiopicus* Alluaud.

Fig. 3. *Lebistina Neuvillei* Alluaud.

Fig. 4. *Graphopterus galla* Gestro.

Fig. 5. *Ophionea brachydera* Alluaud.

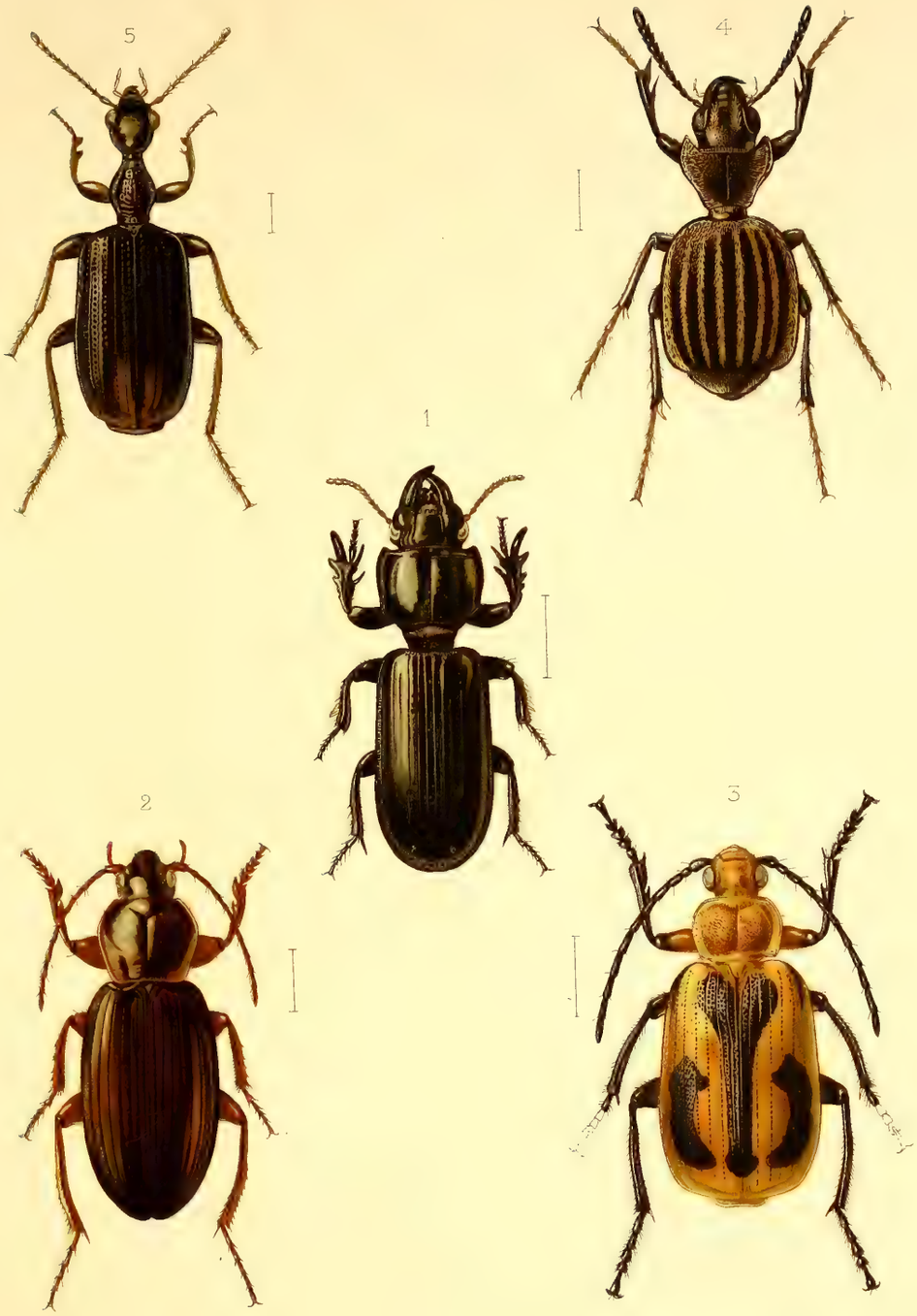

Vesque del.

F. Champeneis Lith.

Carabides

Planche Id[1]

PLANCHE Id[1].

Fig. 1. *Sciophila Andreini* Bezzi, aile × 7.

Fig. 2. *Dicranomyia* sp.?, aile × 13.

Fig. 3. *Limnobiinarum*, gen.?, aile × 13.

Fig. 4. *Neoitamus armatus* Becker, ♂, hypopyge × 10.

Fig. 5. *Neoitamus armatus* Becker, ♂, patte intermédiaire × 6.

Fig. 6. *Asarcina ericetorum* Fabr., ♂, tête.

Fig. 7. *Asarcina angustata* Becker, ♂, tête.

Fig. 8. *Syrphus trisectus* Lw., ♂.

Fig. 9. *Campylocera unicolor* Becker, aile × 7.

Fig. 10. *Megaglossa nervosa* Becker, aile × 7.

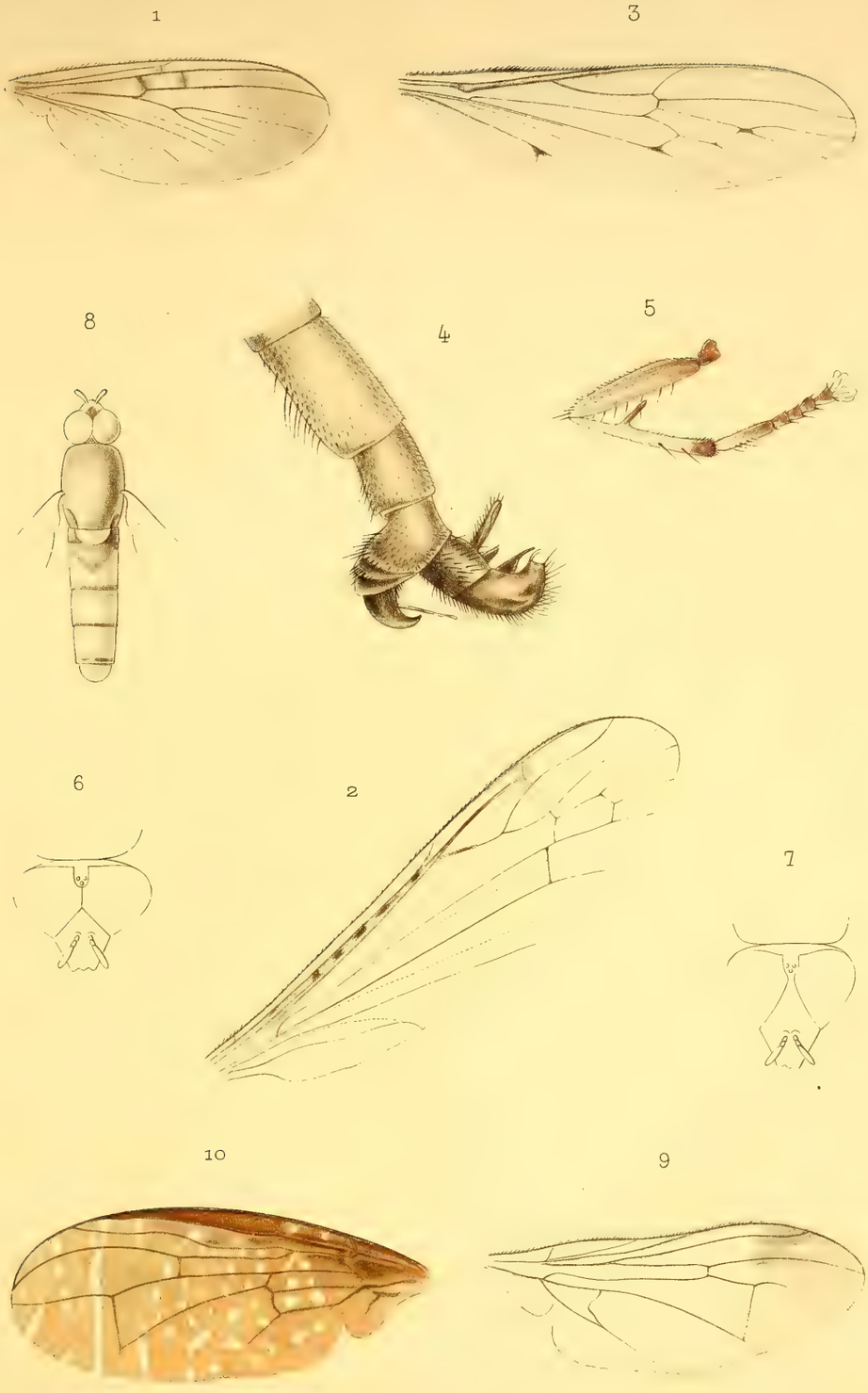

Th. Becker ad nat. del. F. Lorteau sc.

Diptères normaux

Planche Id²

PLANCHE Id².

Fig. 11. *Aciura Reinhardi* Wied., aile × 13.

Fig. 12. *Aciura sexfissata* Becker, aile × 13.

Fig. 13. *Acidia alata* Becker, aile × 7.

Fig. 14. *Trypeta gracilis* Lw., ♂, aile × 13.

Fig. 15. *Pachylophus proximus* Ad., × 13.

Fig. 16. *Pachylophus proximus* Ad., antenne grossie.

Fig. 17. *Elachiptereicus bistriatus* Becker, ♂.

Fig. 18. *Conoprosopa scutellata* Becker.

Fig. 19. *Conoprosopa scutellata* Becker, tête grossie, vue de profil.

Fig. 20. *Conoprosopa scutellata* Becker, tête grossie, vue de face.

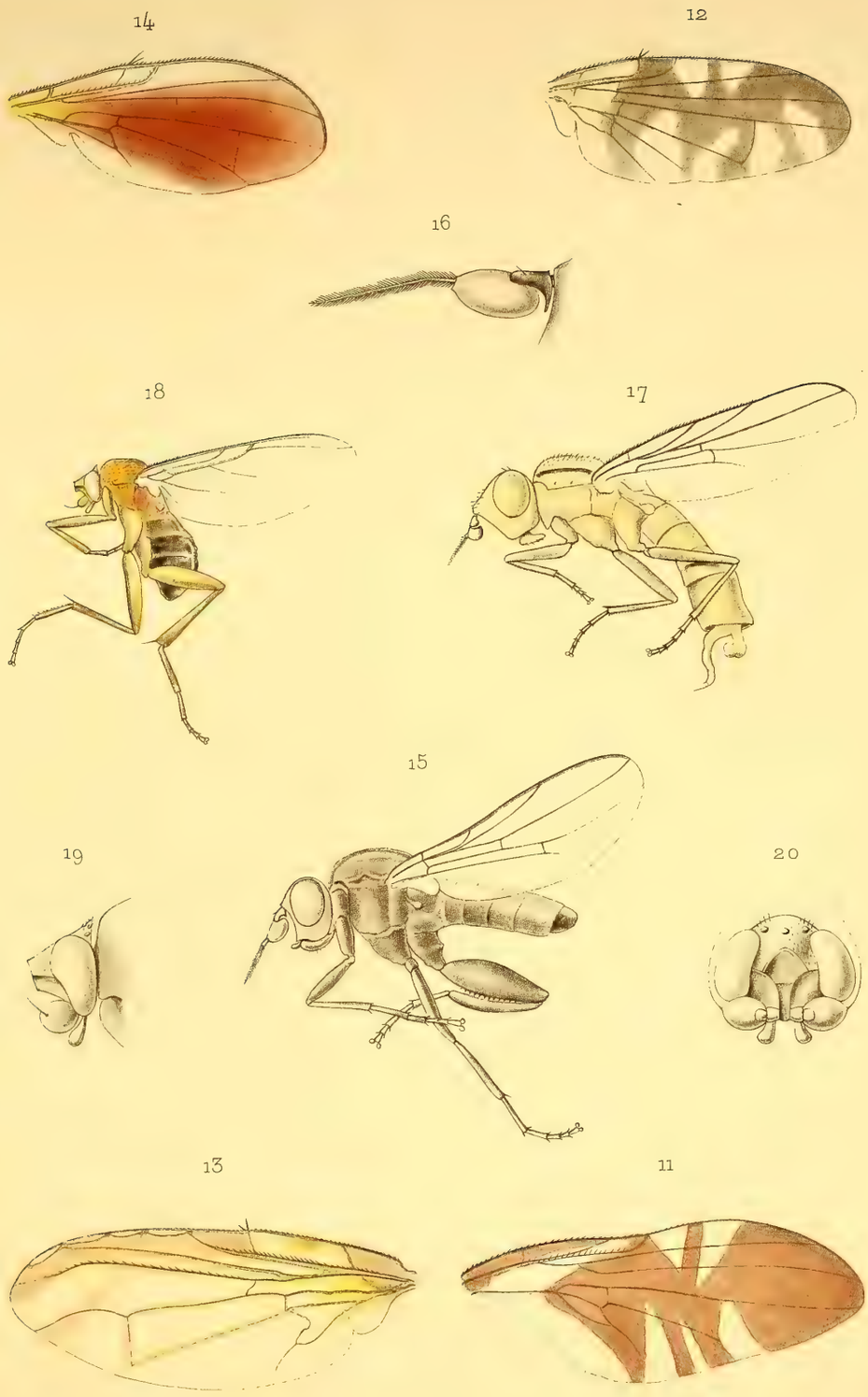

Th. Becker ad. nat. del. E. Lortaud sc.

Diptères normaux.

Planche Id³

PLANCHE Id³.

Fig. 1. *Tabanus velutinus* Surcouf, ♀.

Fig. 2. *Tabanus velutinus* Surcouf, ♀, tête.

Fig. 3. *Tabanus biguttatus* Wiedemann, ♀, tête.

Fig. 4. *Tabanus biguttatus* Wiedemann, ♀.

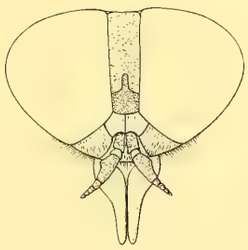

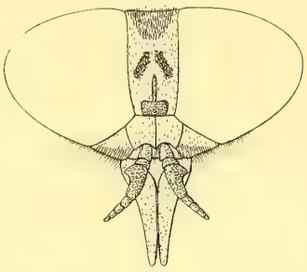

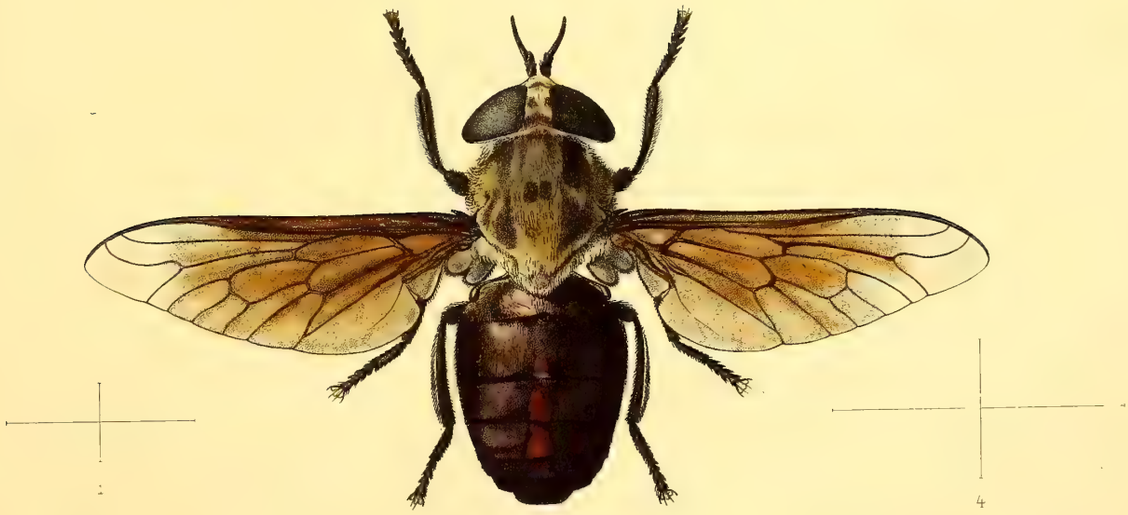

L. Guyon. 1. 2. 3. J. Trottet, 4. del.

E. Lartaud sc

Tabanidæ

Imp. J. Taneur

PLANCHE ID[4]

PLANCHE Id[4].

Fig. 5. *Tabanus fraternus* Macquart.

Fig. 6. *Tabanus fraternus* Macquart, tête, vue de face.

Fig. 7. *Tabanus pallidifacies* Surcouf.

Fig. 8. *Tabanus pallidifacies* Surcouf.

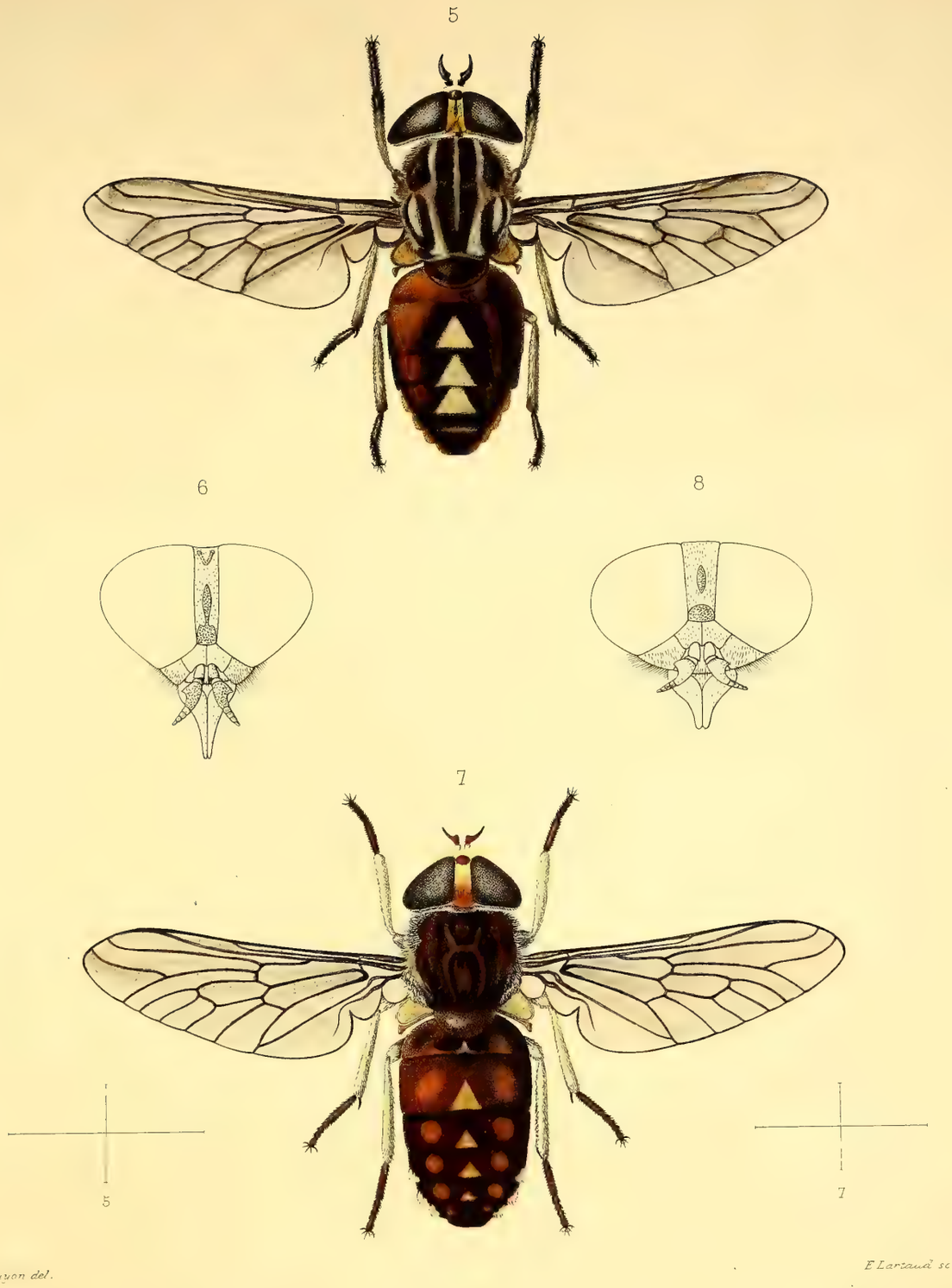

L. Guyon del. E. Larzaud sc.

Tabanidæ

PLANCHE ID[5]

PLANCHE Id[5].

Fig. 9. *Tabanus Rothschildi* Surcouf.

Fig. 10. *Tabanus Rothschildi* Surcouf.

Fig. 11. *Tabanus Brockmanni* Austen.

Fig. 12. *Tabanus Brockmanni* Austen.

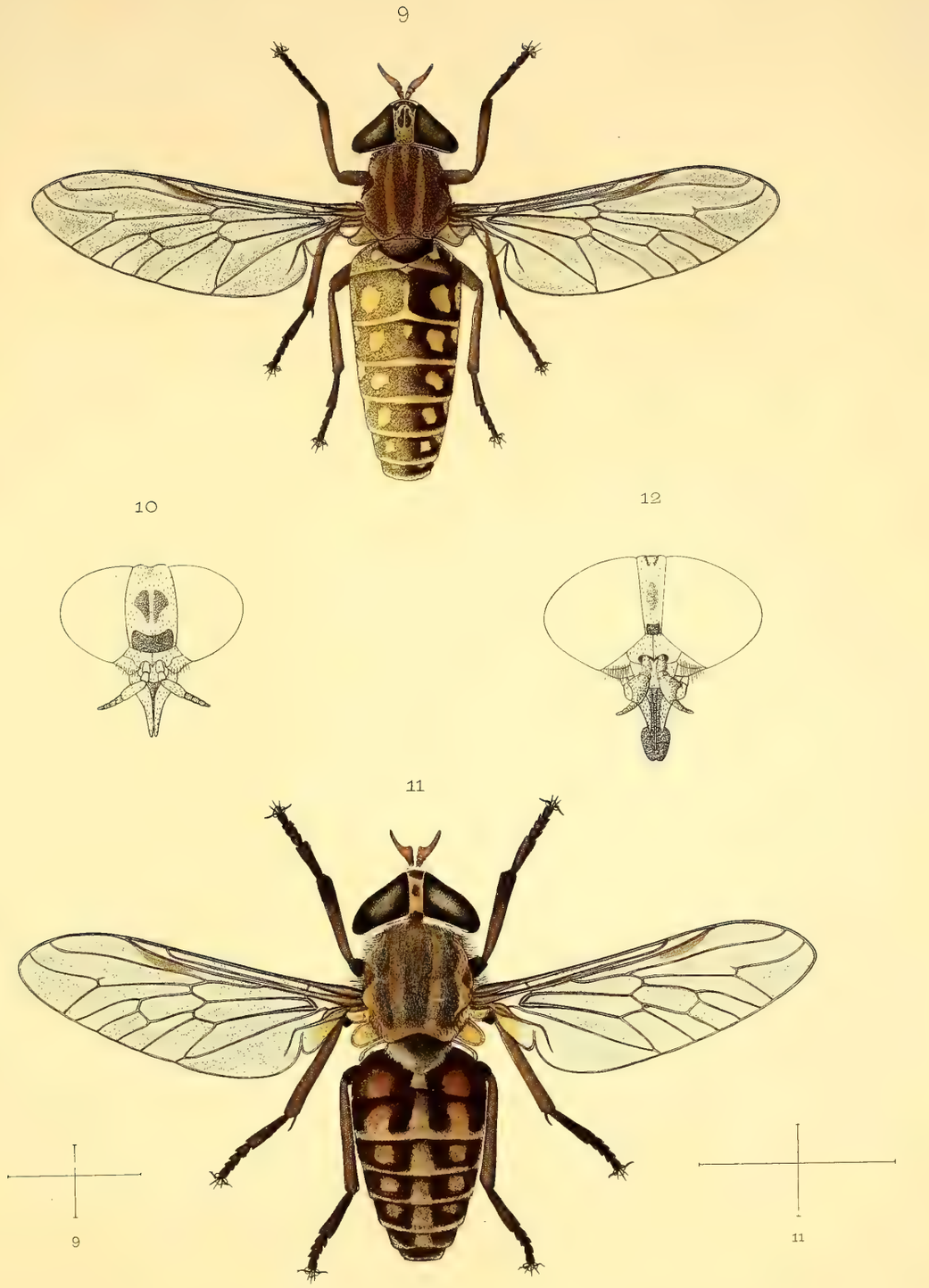

L. Guyon del. E. Lartaud sc

Tabanidæ

Imp. J. Taneur

Planche Id[6]

PLANCHE Id[6].

Fig. 13. *Chrysozona Lathami* Surcouf, ♀.

Fig. 14. *Chrysozona Lathami* Surcouf, ♀, antenne.

Fig. 15. *Chrysozona abyssinica* Surcouf.

Fig. 16. *Chrysozona abyssinica* Surcouf, ♀, antenne.

Fig. 17. *Chrysozona Alluaudi* Surcouf.

Fig. 18. *Chrysozona Alluaudi* Surcouf, antenne.

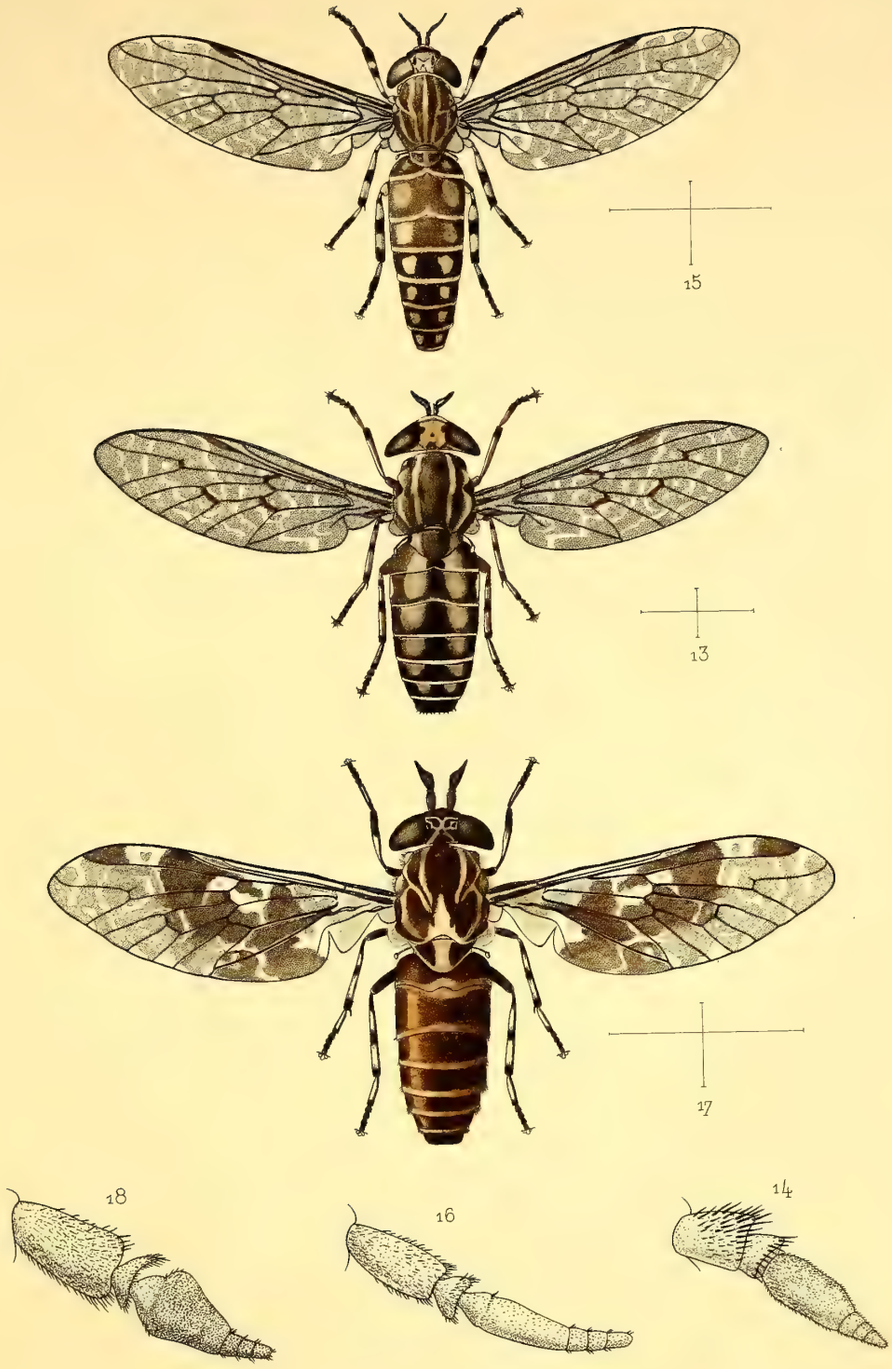

L. Guyon. del

S. Lartaud sc.

Tabanidæ

J. Vincent

Planche Id[7]

PLANCHE Id[7].

Fig. 19. *Orgyzomyia V-album* Surcouf.

Fig. 20. *Orgyzomyia V-album* Surcouf.

Fig. 21. *Pangonia Magrettii* Bezzi.

Fig. 22. *Pangonia Magrettii* Bezzi.

Fig. 23. *Pangonia Beckeri* Bezzi.

Fig. 24. *Pangonia Beckeri* Bezzi.

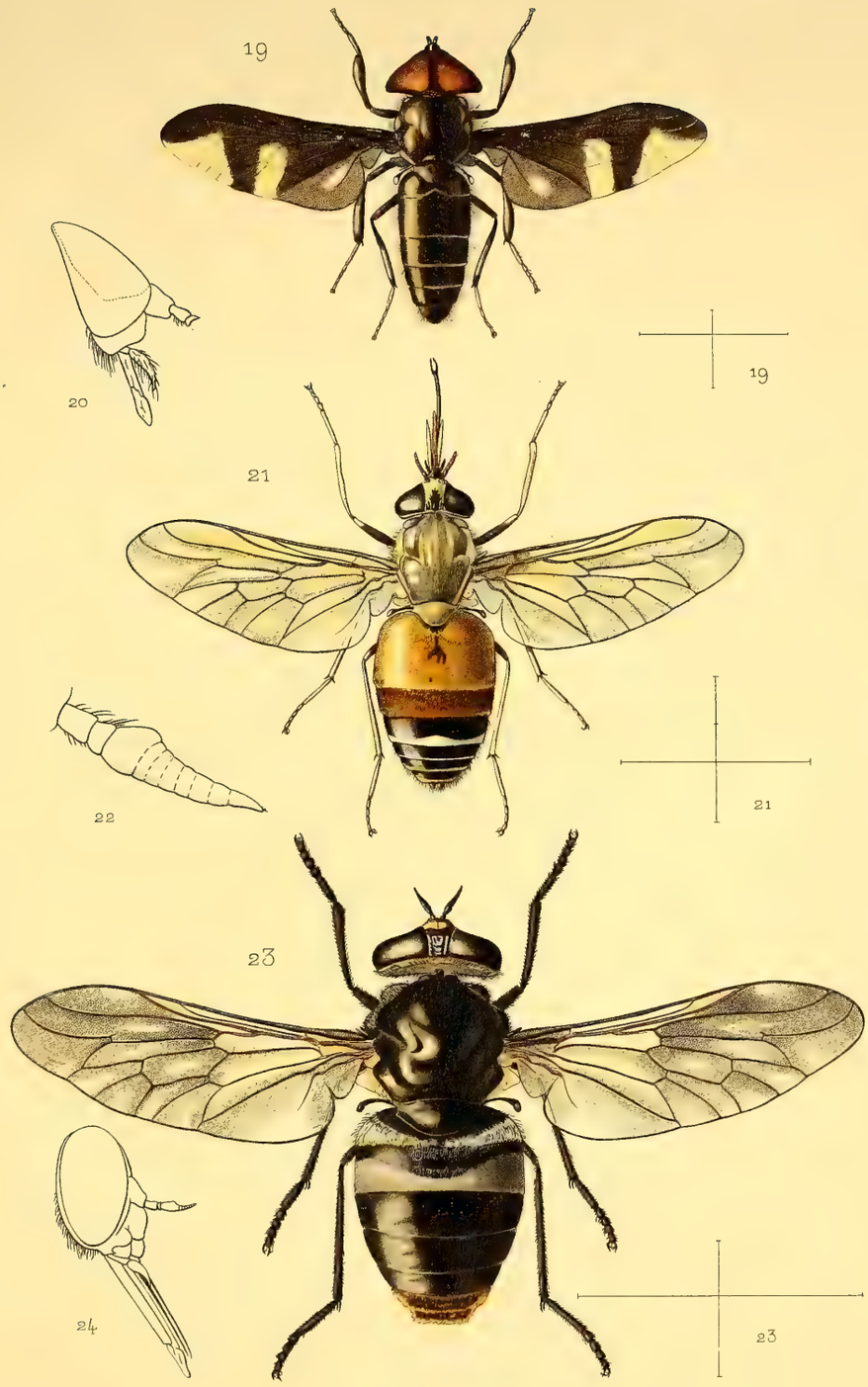

L. Guyon del. S. Lartaud sc.

Tabanidæ

Imp. J. Taneur

Planche Id[8]

PLANCHE Id[8].

Fig. 25. *Corizoneura sagittaria* Surcouf.

Fig. 26. *Pangonia elongata* Ricardo.

Fig. 27. *Pangonia elongata* Ricardo.

Fig. 28. *Pangonia elongata* Ricardo.

L. Guyon. 26. 27. 28. J. Trottet 25. del. E. Lartaud sc

Tabanidæ

Imp. J. Taneur

Planche Ih[1]

PLANCHE Ih[1].

Fig. 1. *Arge Rothschildi* Konow, ♀.

Fig. 2. *Dulophanes morio* Konow, ♂.

Fig. 3. *Dulophanes morio* Konow, ♂, aile.

Fig. 4. *Dulophanes morio* Konow, ♂, antenne.

Fig. 5. *Tricholabiodes ægyptiaca* Radoszkowsky, ♂.

Fig. 6. *Odontomutilla voiensis* E. André, ♀.

Fig. 7. *Barymutilla pythia* Smith, ♀.

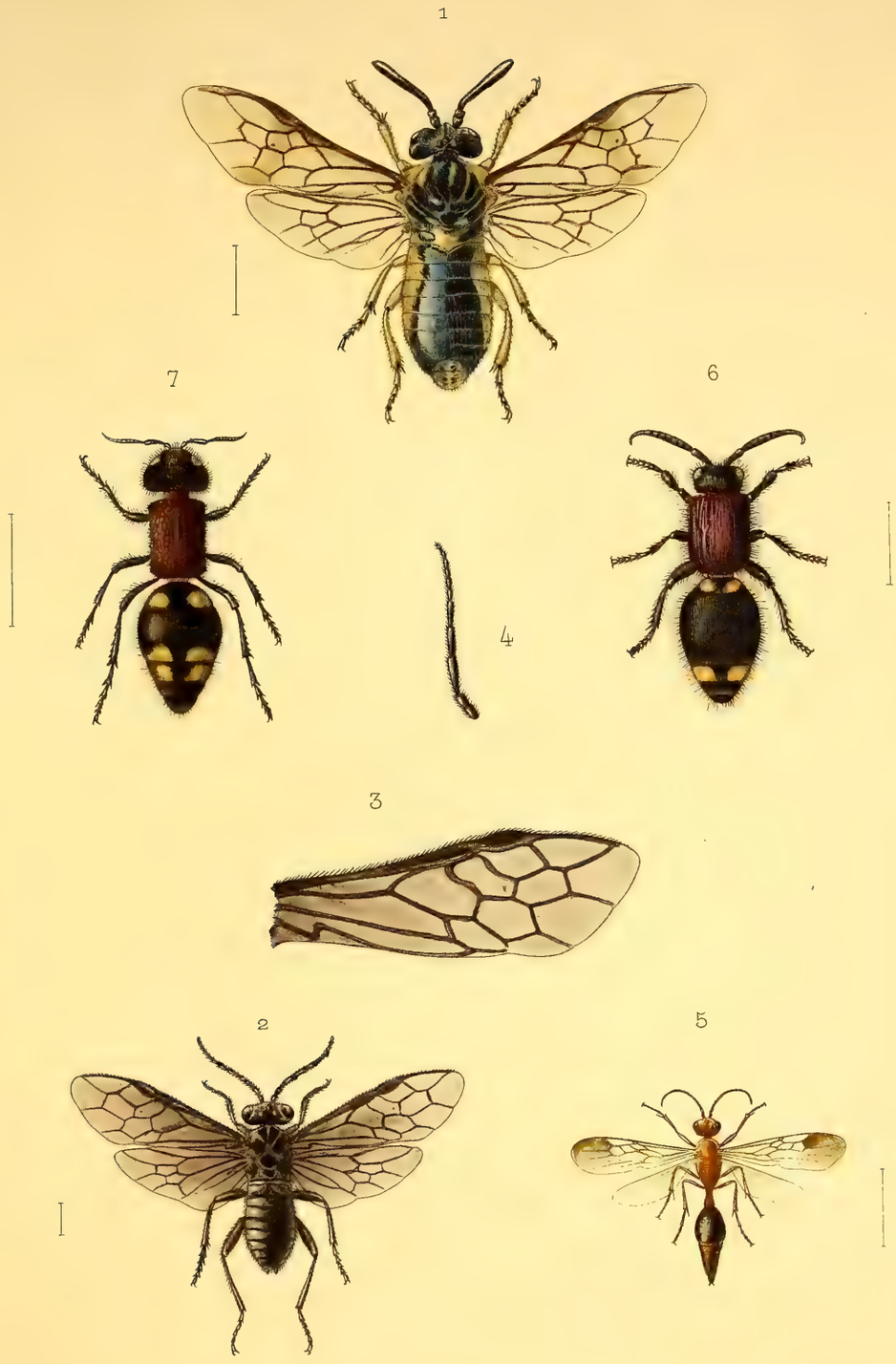

A. Reichert et M. Trottet ad. nat. del.

Tenthrédinides et Mutillides

PLANCHE Ih²

Planche Ih².

Fig. 1. *Amblyteles mandibularis* Szepligeti, ♀.

Fig. 2. *Ctenochares flavipennis* Szepligeti, ♀.

Fig. 3. *Mesostenoides trochanteratus* Szepligeti, ♀.

Fig. 4. *Cryptus africanus* Szepligeti, ♀.

Fig. 5. *Pimpla elegantissima* Szepligeti, ♀.

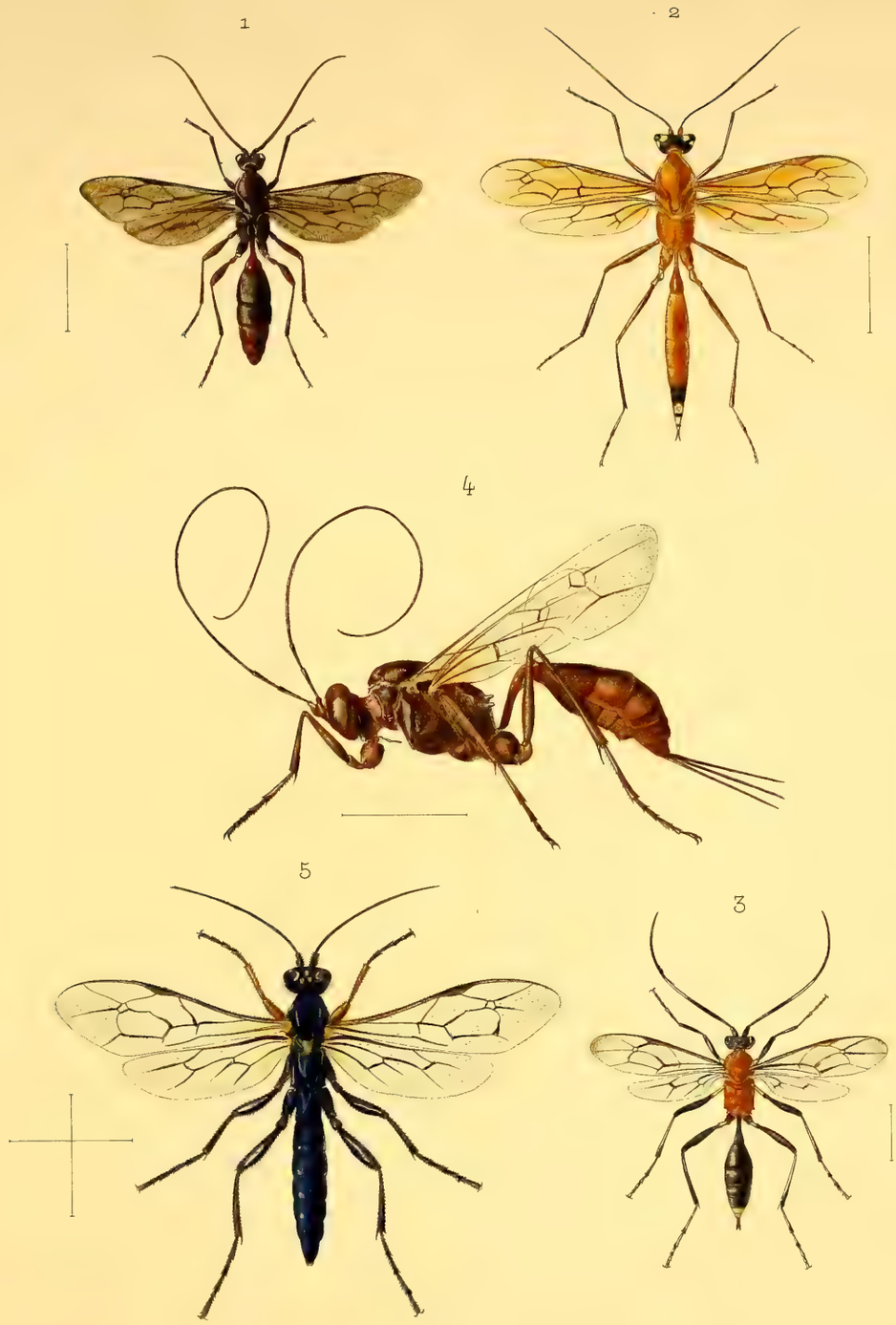

M. Trottet ad. nat. del.

Ichneumonides

PLANCHE Ih³

Planche Ih³.

Fig. 1. *Dicamptus abessynicus* Szepligeti.

Fig. 2. *Glyptomorpha apicalis* Szepligeti.

Fig. 3. *Mermotus apicalis* Szepligeti.

Fig. 4. *Odynerus Neuvillei* R. du Buysson.

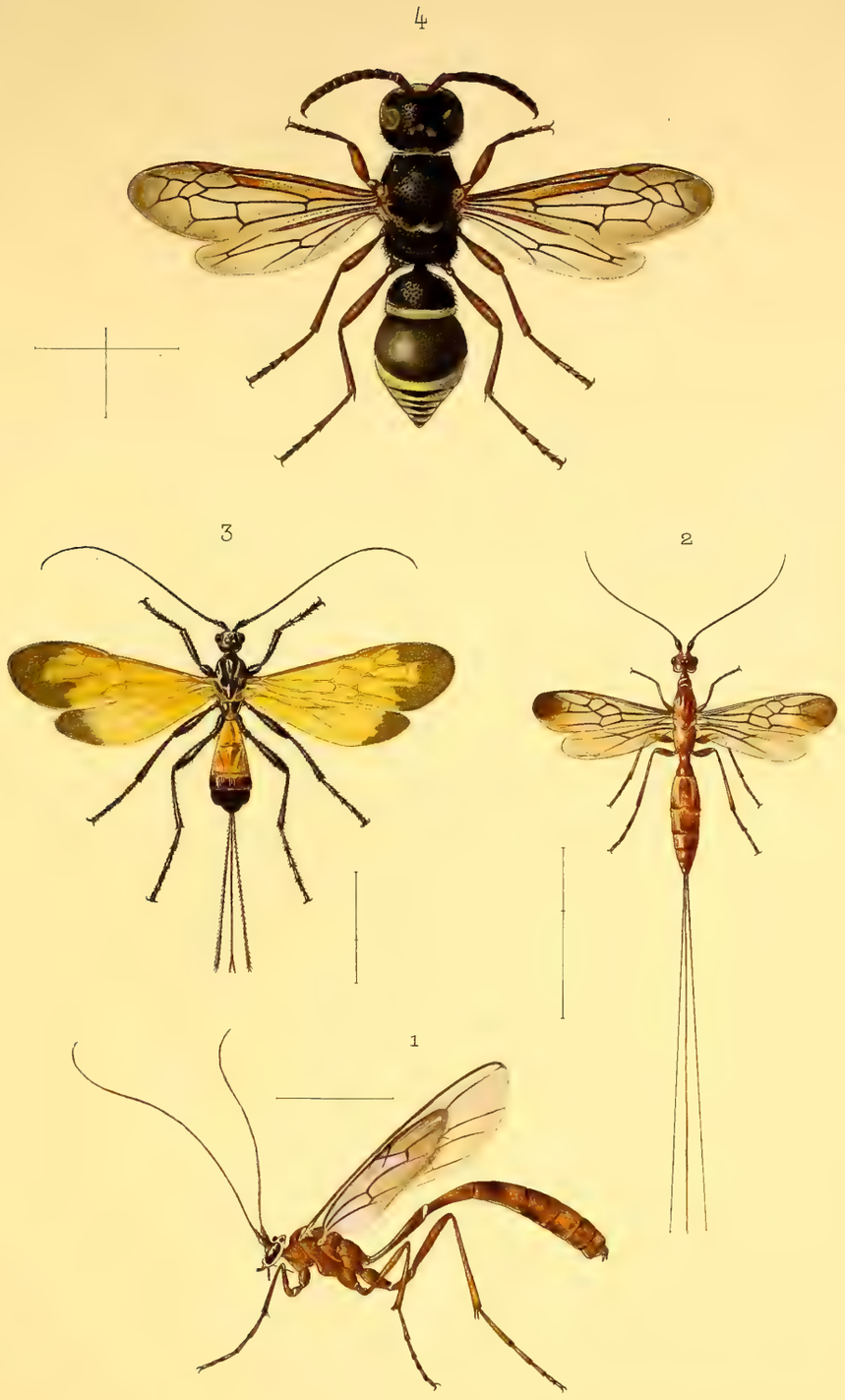

M. Trottet ad. nat. del. E. Lartaud sc.

Ichneumonides, Braconides et Euménides

Planche Ih[4]

PLANCHE Ih[4].

Fig. 1. *Oxybelus Neuvillei* Magretti.

Fig. 2. *Oxybelus Neuvillei* Magretti, écussson et postécusson.

Fig. 3. *Oxybelus Neuvillei* Magretti, schéma de l'abdomen.

Fig. 4. *Oxybelus Neuvillei* Magretti, face.

Fig. 5. *Palarus Rothschildi* Magretti.

Fig. 6. *Palarus Rothschildi* Magretti, mandibule gauche.

Fig. 7. *Palarus Rothschildi* Magretti, le deuxième segment abdominal.

Fig. 8. *Palarus Rothschildi* Magretti, valvule pygidiale, vue par-dessus.

Fig. 9. *Palarus Rothschildi* Magretti, valvule pygidiale, vue de profil.

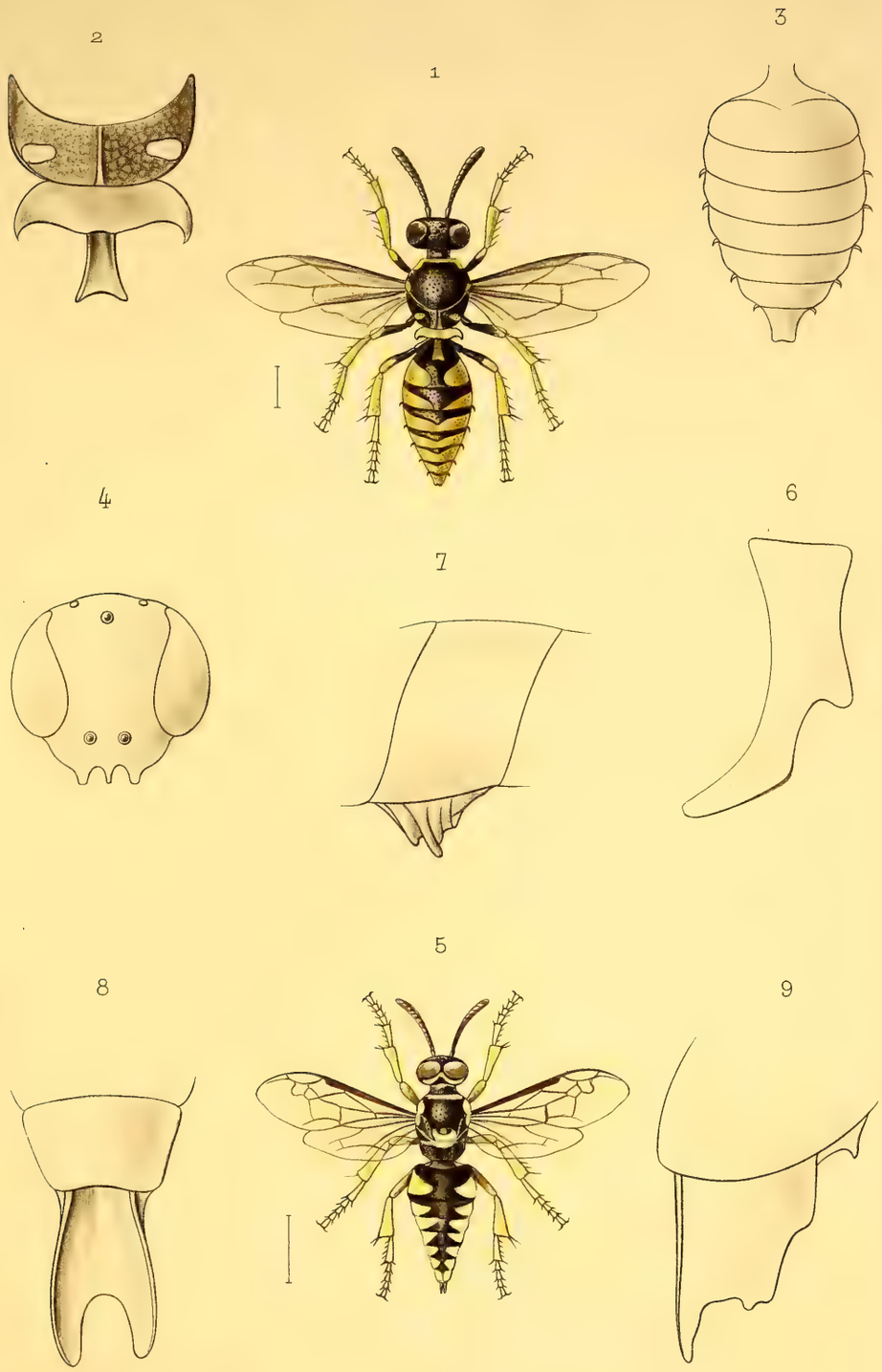

G. Confalonieri ad nat. del. E. Tartaud sc.

Sphégides

Imp. J. Taneur

PLANCHE Ih[5]

PLANCHE Ih[5].

Fig. 1. *Philanthus ugandicus* Magretti.

Fig. 2. *Philanthus triangulum* var. *bimaculatum* Magretti.

Fig. 3. *P. triangulum* var. *bimaculatum* Magretti; la même variété, avec un coloris un peu différent.

Fig. 4. *Brachygaster minutus* var. *æthiopicus* Magretti, abdomen et extrémité du segment médiaire.

Fig. 5. *Odynerus defractus* R. du Buysson.

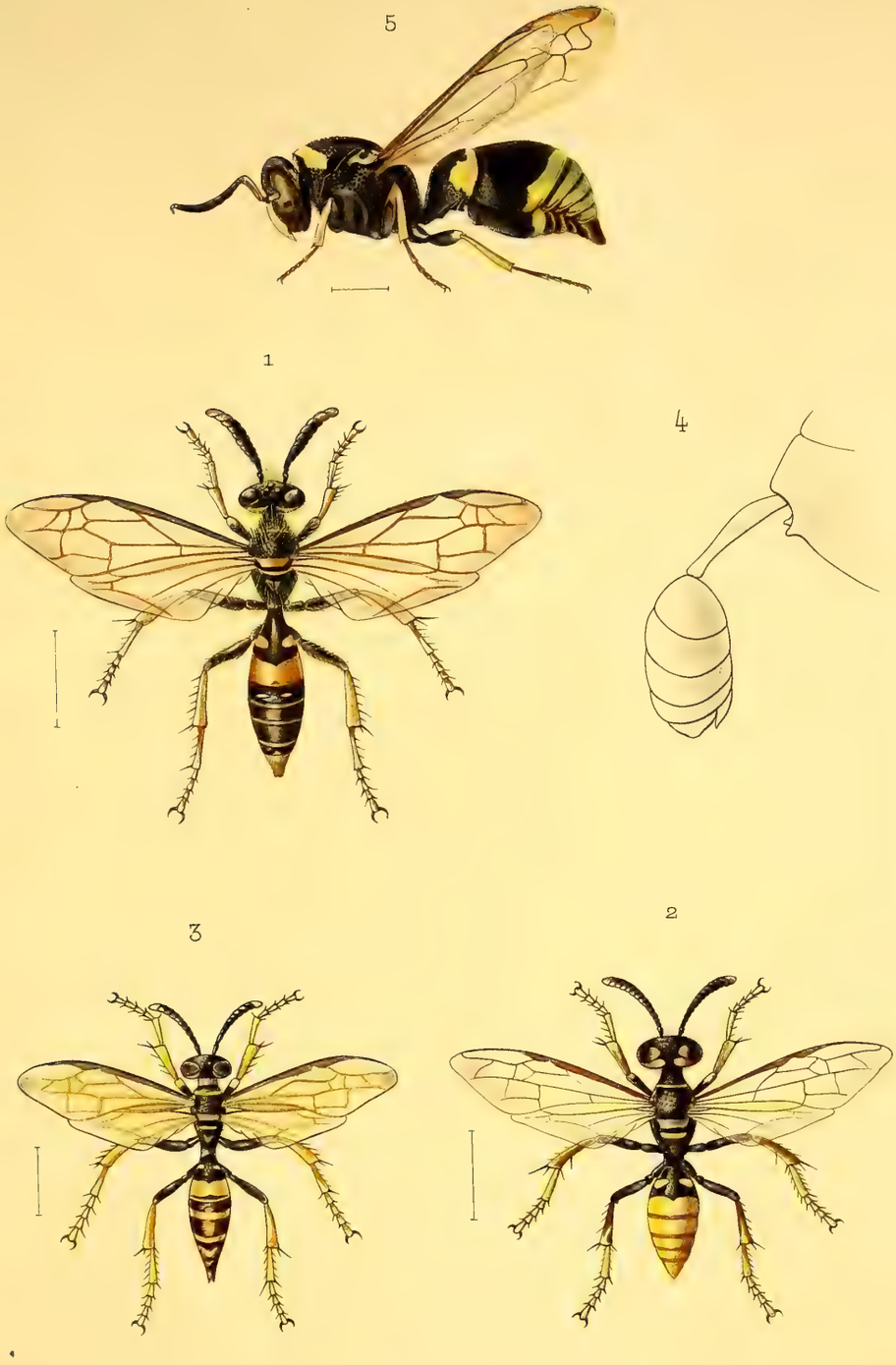

G. Confalonieri et M. Trotlet ad. nat. del.

E. Lartaud sc

Sphégides et Euménides

Imp. J. Taneur

Planche Ih^6

PLANCHE Ih[6].

Fig. 1. *Anochetus Rothschildi* Forel.

Fig. 2. *Melissotarsus Emeryi* Forel; 2[a] mandibule; 2[b] antenne; 2[c] patte postérieure.

Fig. 3. *Tetramorium Neuvillei* Forel.

Fig. 4. *Acantholepis gracilicornis* Forel, subsp. *abdominalis* Forel.

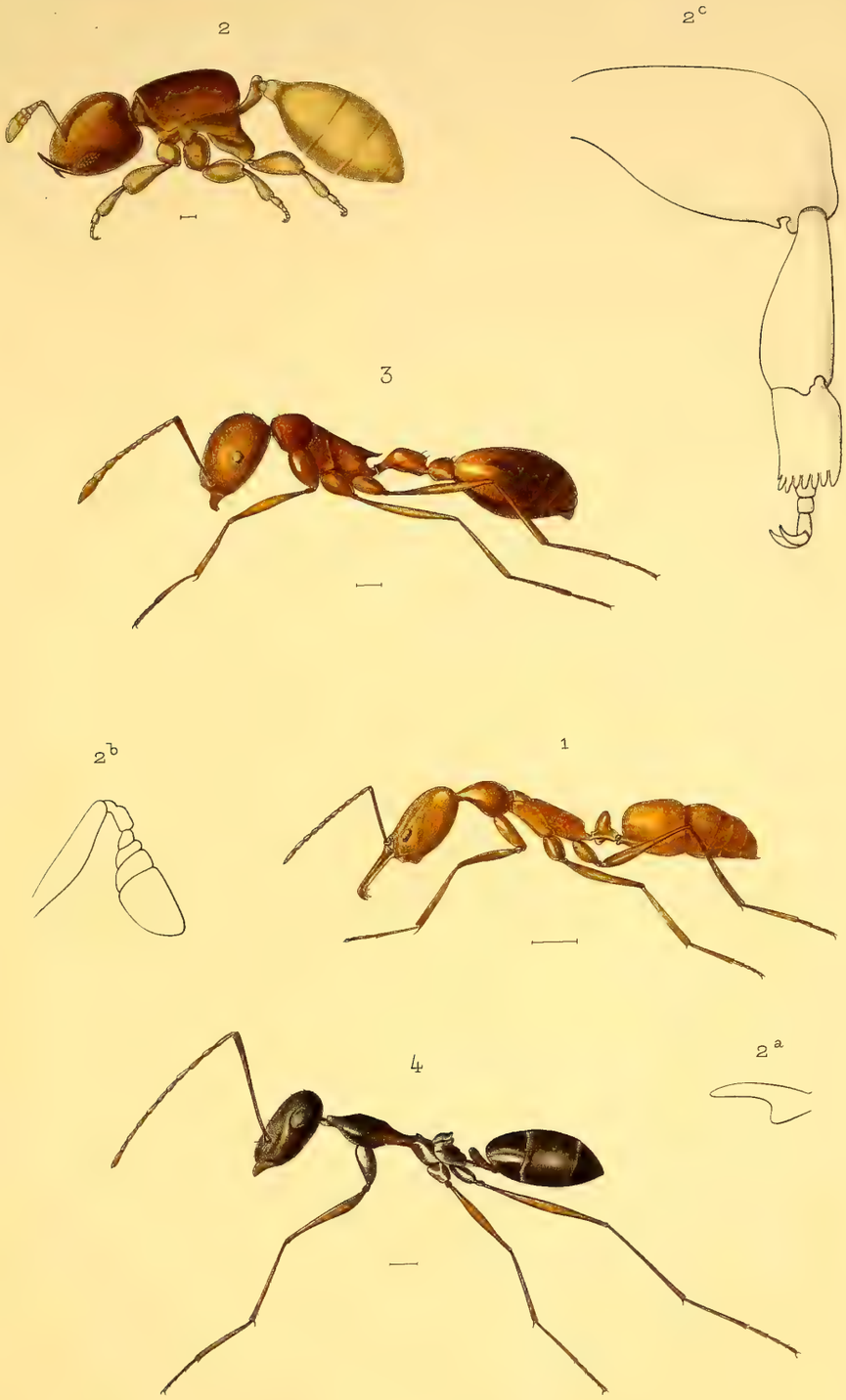

M. Trottet et A. Forel ad. nat. del. E. Lartaud sc

Formicides

Imp. J. Taneur

Planche Ih[7]

Planche Ih[7].

Fig. 1. *Leptogenys* (*Lobopelta*) *Buyssoni* Forel.

Fig. 2. *Triglyphothrix Rothschildi* Forel, ☿.

Fig. 3. *Cremastogaster Neuvillei* Forel.

Fig. 4. *Dorylus* (*Rhogmus*) *fimbriatus* Shuck., ♂.

Fig. 5. *Dorylus* (*Typhlopone*) *fulvus* Westw., ♂.

Fig. 6. *Dorylus Stadelmanni* Emery, ♂.

M. Trottet ad. nat. del. E. Lartaud sc

Formicides

PLANCHE Ih[8]

PLANCHE Ih[8].

Fig. 1. *Icaria æthiopica* R. du Buysson, ♀.

Fig. 2. *Icaria æthiopica* R. du Buysson, nidification, vue de face, pour montrer le nombre de rangées d'alvéoles.

Fig. 3. *Icaria æthiopica* R. du Buysson, la même nidification, vue de profil, de manière à voir les ébauches d'alvéoles.

Fig. 4. *Labus Rothschildianus* R. du Buysson, vu de profil.

Fig. 5. *Labus Rothschildianus* R. du Buysson, tête, vue de face.

Fig. 6. *Paramischocyttarus Buyssoni* Grib., vu de profil.

Fig. 7. *Paramischocyttarus Buyssoni* Grib., tête, vue de face.

Fig. 8. *Synagris Negusi* R. du Buysson, ♂, vu de profil. Exemplaire ayant les appendices mandibulaires et les épines du deuxième sternite abdominal très développés.

Fig. 9. *Synagris Negusi* R. du Buysson, ♂, tête, vue de face, et montrant la forme des appendices mandibulaires.

Fig. 10. *Synagris Negusi* R. du Buysson, ♂, exemplaire ayant les appendices mandibulaires et les épines du deuxième sternite abdominal à peine développés.

Fig. 11. *Synagris Negusi* R. du Buysson, ♂, la tête de ce même exemplaire, vue de face.

Fig. 12. *Celonites Rothschildi* R. du Buysson, vu de profil.

Fig. 13. *Celonites Rothschildi* R. du Buysson, extrémité abdominale laissant voir la forme du septième tergite.

Fig. 14. *Chrysis voiensis* R. du Buysson.

A. Millot ad. nat. del.

A. Millot sc.

Vespides, Euménides, Masarides, Chrysidides.

Imp. E. Duchatel Paris

PLANCHE I_H^9

PLANCHE Ih[9].

Fig. 1. *Xylocopa media* Vachal.

Fig. 2. *Xylocopa producta* Sm., aile gauche.

Fig. 3. *Xylocopa rejecta* Vachal, aile gauche.

Fig. 4. *Anthophora hastula* Vachal.

Fig. 5. *Megachile brachiata* Vachal.

Fig. 6. *Anthidium Rothschildi* Vachal.

Fig. 7. *Cœlioxys rhombifrons* Vachal.

Fig. 8. *Cœlioxys rhombifrons* Vachal, extrémité abdominale, vue de profil.

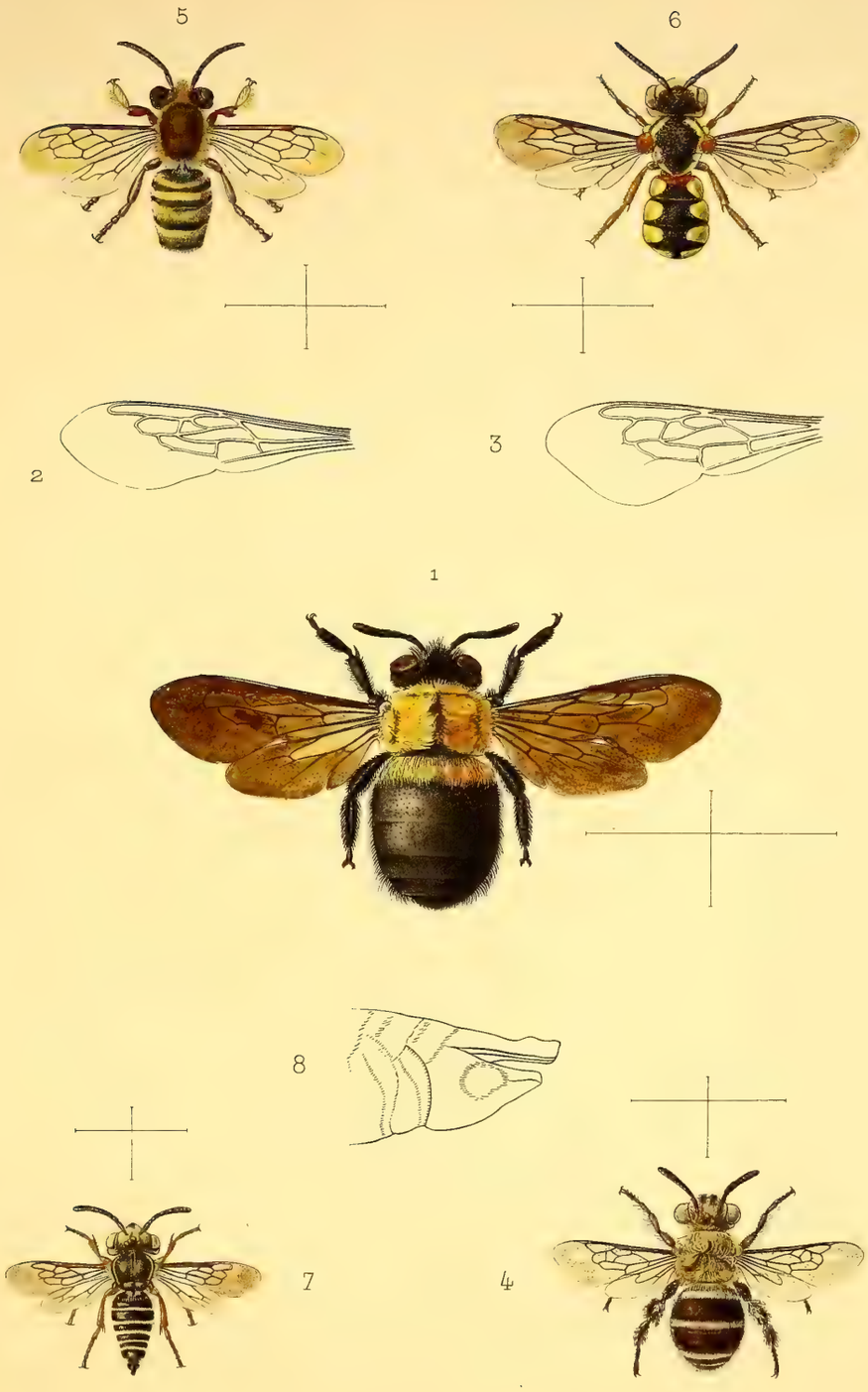

M. Trottet ad nat del. E. Lartaud sc

Apides

Imp. J. Tanent

SMITHSONIAN INSTITUTION LIBRARIES
3 9088 00584 3644